



ÉCOLE POLYTECHNIQUE FÉDÉRALE DE LAUSANNE

# ANALYSE III

MICROTECHNIQUE

SEMESTRE 3

PAR  
MUNIER LOUIS

COURS DE M. CIBILS



# Table des matières

|          |  |           |
|----------|--|-----------|
| <b>I</b> | <b>Analyse Vectorielle</b>                             | <b>7</b>  |
| <b>1</b> | <b>Opérateurs différentiels :</b>                      | <b>9</b>  |
| 1.1      | Préliminaires :  | 9         |
| 1.1.1    | Motivations et Méthodes :                              | 9         |
| 1.1.2    | Rappels, Notations et Terminologie :                   | 9         |
| 1.2      | Définition :   | 10        |
| 1.2.1    | Le Gradient :  | 10        |
| 1.2.2    | La Divergence :  | 10        |
| 1.2.3    | Le Rotationnel :                                       | 11        |
| 1.2.4    | Le Laplacien :   | 11        |
| 1.3      | Exemples :   | 12        |
| 1.4      | Formules de Différentiation :                          | 13        |
| 1.4.1    | Résultats importants :                                 | 13        |
| 1.4.2    | Autres Formules :                                      | 13        |
| <b>2</b> | <b>Intégrales curvilignes et champs conservatifs :</b> | <b>15</b> |
| 2.1      | Courbes dans $\mathbb{R}^n$ :                          | 15        |
| 2.1.1    | Définitions :  | 15        |
| 2.1.2    | Exemples :   | 16        |
| 2.2      | Intégrales curvilignes :                               | 17        |
| 2.2.1    | Définitions :  | 17        |
| 2.2.2    | Exemples :   | 18        |
| 2.3      | Champs qui dérivent d'un potentiel :                   | 20        |
| 2.3.1    | Notions de Topologie :                                 | 20        |
| 2.3.2    | Caractérisation des champs conservatifs :              | 21        |
| 2.3.3    | Résultats Importants :                                 | 22        |
| 2.3.4    | Exemples :   | 23        |
| 2.3.5    | Démonstration du Théorème 1 :                          | 25        |
| 2.4      | Théorème de Green :                                    | 26        |
| 2.4.1    | Rappels, notations et définitions :                    | 26        |
| 2.4.2    | Énoncé du Théorème de Green :                          | 27        |
| 2.4.3    | Exemple :  | 28        |
| 2.4.4    | Corollaire du Théorème de Green :                      | 30        |
| <b>3</b> | <b>Intégrales de surface :</b>                         | <b>31</b> |
| 3.1      | Surface dans $\mathbb{R}^3$ :                          | 31        |
| 3.2      | Exemples :   | 32        |
| 3.3      | Intégrale de Surface :                                 | 34        |
| 3.3.1    | Intégrale de champs scalaires :                        | 34        |
| 3.3.2    | Exemples :   | 35        |
| 3.3.3    | Intégrales de champs vectorielles :                    | 36        |
| 3.3.4    | Exemples :   | 37        |
| 3.4      | Théorème de la Divergence :                            | 38        |
| 3.4.1    | Motivation :   | 38        |

|           |   |           |
|-----------|---|-----------|
| 3.4.2     | Définitions : . . . . .   | 39        |
| 3.4.3     | Énoncé du théorème de la divergence : . . . . .                               | 39        |
| 3.4.4     | Exemples : . . . . .  | 40        |
| 3.5       | Théorème de Stokes : . . . . .  | 44        |
| 3.5.1     | Motivations : . . . . .   | 44        |
| 3.5.2     | Détermination du bord d'une surface et de son sens de parcours . . . . .      | 44        |
| 3.5.3     | Énoncé du Théorème de Stokes : . . . . .                                      | 47        |
| <b>II</b> | <b>Analyse Complexe</b>   | <b>51</b> |
| <b>4</b>  | <b>Fonctions holomorphe et équations de Cauchy-Riemann :</b>                  | <b>53</b> |
| 4.1       | Introduction : . . . . .  | 53        |
| 4.1.1     | Motivation : . . . . .  | 53        |
| 4.1.2     | Rappels sur les nombres complexes : . . . . .                                 | 53        |
| 4.2       | Fonctions complexes : . . . . .   | 54        |
| 4.2.1     | Définition : . . . . .  | 54        |
| 4.2.2     | Exemples : . . . . .  | 54        |
| 4.3       | Limites, continuité et dérivabilité : . . . . .                               | 55        |
| 4.3.1     | Définitions : . . . . .   | 55        |
| 4.3.2     | Équations de Cauchy-Riemann : . . . . .                                       | 55        |
| 4.3.3     | Exemples : . . . . .  | 56        |
| <b>5</b>  | <b>Théorème et formule intégrale de Cauchy</b>                                | <b>59</b> |
| 5.1       | Intégration complexe : . . . . .  | 59        |
| 5.1.1     | Notations et définitions : . . . . .  | 59        |
| 5.1.2     | Exemples . . . . .  | 60        |
| 5.2       | Théorème de Cauchy . . . . .  | 61        |
| 5.2.1     | Énoncé du théorème de Cauchy : . . . . .                                      | 61        |
| 5.2.2     | Exemples : . . . . .  | 61        |
| 5.3       | Formule intégrale de Cauchy . . . . .   | 62        |
| 5.3.1     | Énoncé . . . . .  | 62        |
| 5.3.2     | Exemples d'utilisations : . . . . .   | 63        |
| 5.3.3     | Corollaire de la formule intégrale de Cauchy : . . . . .                      | 64        |
| 5.3.4     | Exemple d'utilisation : . . . . .   | 65        |
| <b>6</b>  | <b>Série de Laurent, pôles et résidus</b>                                     | <b>67</b> |
| 6.1       | Polynôme et série de Taylor d'une fonction holomorphe : . . . . .             | 67        |
| 6.1.1     | Définitions et résultats : . . . . .  | 67        |
| 6.1.2     | Exemples : . . . . .  | 68        |
| 6.2       | Développement et série de Laurent d'une fonction holomorphe . . . . .         | 69        |
| 6.2.1     | Motivations, définitions et résultats : . . . . .                             | 69        |
| 6.2.2     | Définition issues de la série de Laurent : . . . . .                          | 70        |
| 6.2.3     | Exemples : . . . . .  | 71        |
| 6.2.4     | Détection des pôles, détermination de l'ordre et formules de calcul du résidu | 73        |
| <b>7</b>  | <b>Théorème des résidus et applications au calcul d'intégrales réelles</b>    | <b>75</b> |
| 7.1       | Théorème des résidus : . . . . .  | 75        |
| 7.1.1     | Énoncé du Théorème des résidus : . . . . .                                    | 75        |
| 7.1.2     | Exemples : . . . . .  | 76        |
| 7.2       | Applications du Théorème des résidus : . . . . .                              | 77        |
| 7.2.1     | Calcul d'intégrales de fonctions périodiques : . . . . .                      | 77        |
| 7.2.2     | Calcul d'intégrales généralisées . . . . .                                    | 80        |
| 7.2.3     | Exemples . . . . .  | 82        |

|  |           |
|--|-----------|
| <b>A Formules utiles :</b>                 | <b>85</b> |
| A.1 Séries de Taylor : . . . . .           | 85        |
| A.2 Identités Trigonométriques : . . . . . | 86        |



Première partie

Analyse Vectorielle





# Chapitre 1

## Opérateurs différentiels :

### 1.1 Préliminaires :

#### 1.1.1 Motivations et Méthodes :

**But :**

Appliquer les règles de l'analyse au calcul vectoriel pour dériver des vecteurs.

**Méthodes :**

Mises en place au 19<sup>e</sup> siècle.

#### 1.1.2 Rappels, Notations et Terminologie :

- Pour  $n \in \mathbb{N}$  tel que  $n > 1$  on note  $x = (x_1, x_2, x_3, \dots, x_n) \in \mathbb{R}^n$  un n-uplet de nombres réels.

Pour  $n = 2$  on écrit  $(x_1, x_2) = (x, y)$ .

Pour  $n = 3$  on écrit  $(x_1, x_2, x_3) = (x, y, z)$ .

**Remarque :**  $x$  ne désigne plus le couple de  $\mathbb{R}^2$  ou le triplet de  $\mathbb{R}^3$  mais sa première composante.

- Une fonction à valeurs réelles définie sur un sous-ensemble  $\Omega \subset \mathbb{R}^n$ .

$$\begin{aligned} f : \quad \Omega &\longrightarrow \mathbb{R} \\ x &\mapsto f(x) = f(x_1, x_2, \dots, x_n) \end{aligned}$$

qui dépend de plusieurs variables  $x_1, x_2, \dots, x_n$  est appelée un champ scalaire.

Pour  $k \in \mathbb{N}$  on écrit  $f \in C^k(\Omega)$  si toutes les dérivées partielles d'ordre  $\leq k$  existent et sont continues sur le domaine où est décrit la fonction :  $\Omega$ .

- Une fonction à valeur dans  $\mathbb{R}^n$  définie sur  $\Omega \subset \mathbb{R}^n$

$$\begin{aligned} F : \quad \Omega &\longrightarrow \mathbb{R}^n & \text{avec} \quad F_i : \quad \Omega &\longrightarrow \mathbb{R} \\ x &\mapsto F(x) = (F_1(x), F_2(x), \dots, F_n(x)) & x &\mapsto F_i(x) \text{ pour } i = 1, 2, \dots, n \end{aligned}$$

est appelé un champ vectoriel.

Pour  $k \in \mathbb{N}$  on écrit  $F \in C^k(\Omega, \mathbb{R}^n)$  si  $F_i \in C^k(\Omega)$  pour  $i = 1, \dots, n$

**Remarque :** un champ vectoriel  $F$  est défini par la donnée de  $n$  champs scalaires.

$$\{F_i\}_{i=1}^n$$

- L'opérateur différentiel vectoriel "nabla", noté  $\nabla$ , est défini par

$$\nabla = \left( \frac{\partial}{\partial x_1}, \frac{\partial}{\partial x_2}, \dots, \frac{\partial}{\partial x_n} \right)$$

Il a vocation à agir sur des champs scalaires ou vectoriels.

## 1.2 Définition :

### 1.2.1 Le Gradient :

Soit  $\Omega \subset \mathbb{R}^n$ , un ouvert, et  $f : \Omega \longrightarrow \mathbb{R}$

$$x \mapsto f(x) = f(x_1, x_2, \dots, x_n)$$

Un champ scalaire tel que  $f \in C^1(\Omega)$ . Le gradient de  $f$ , noté  $\text{grad} f$ , est défini par :

$$\text{grad} f(x) = (\nabla f)(x) = \left( \frac{\partial}{\partial x_1}(x), \frac{\partial}{\partial x_2}(x), \dots, \frac{\partial}{\partial x_n}(x) \right)$$

On dit que c'est le produit de l'opérateur  $\nabla$  et du champ scalaire  $f$ .

**Remarque 1 :** comme  $\text{grad} f(x) \in \mathbb{R}^n$  alors  $\text{grad} f : \Omega \longrightarrow \mathbb{R}^n$  définit un champ vectoriel.

**Remarque 2 :**

Pour  $n = 2$  on a  $f = f(x, y)$  et  $\text{grad} f = \left( \frac{\partial f}{\partial x}, \frac{\partial f}{\partial y} \right)$

Pour  $n = 3$  on a  $f = f(x, y, z)$  et  $\text{grad} f = \left( \frac{\partial f}{\partial x}, \frac{\partial f}{\partial y}, \frac{\partial f}{\partial z} \right)$

### 1.2.2 La Divergence :

Soit  $\Omega \subset \mathbb{R}^n$ , un ouvert, et  $F : \Omega \longrightarrow \mathbb{R}^n$

$$x \mapsto F(x) = (F_1(x), F_2(x), \dots, F_n(x))$$

un champ vectoriel tel que  $F \in C^1(\Omega, \mathbb{R}^n)$ . La divergence de  $F$ , notée  $\text{div} F$ , est définie par :

$$\text{div} F(x) = (\nabla \cdot F)(x) = \frac{\partial F_1}{\partial x_1}(x) + \frac{\partial F_2}{\partial x_2}(x) + \dots + \frac{\partial F_n}{\partial x_n}(x)$$

On dit que c'est le produit scalaire de l'opérateur  $\nabla$  et du champ vectoriel  $F$ .

**Remarque :** comme  $\text{div} F(x) \in \mathbb{R}$  alors  $\text{div} F : \Omega \longrightarrow \mathbb{R}$  définit un champ scalaire.

Pour  $n = 2$  on a  $F = F(x, y) = (F_1(x, y), F_2(x, y))$  et  $\text{div} F = \frac{\partial F_1}{\partial x} + \frac{\partial F_2}{\partial y}$

Pour  $n = 3$  on a  $F = F(x, y, z) = (F_1(x, y, z), F_2(x, y, z), F_3(x, y, z))$  et  $\text{div} F = \frac{\partial F_1}{\partial x} + \frac{\partial F_2}{\partial y} + \frac{\partial F_3}{\partial z}$

### 1.2.3 Le Rotationnel :

Soit  $\Omega \subset \mathbb{R}^n$ , un ouvert, et

$$F : \Omega \longrightarrow \mathbb{R}^n$$

$$x \mapsto F(x) = (F_1(x), F_2(x), \dots, F_n(x))$$

un champ vectoriel tel que  $F \in C^1(\Omega, \mathbb{R}^n)$ . Le rotationnel de  $F$ , noté  $\text{rot}F$ , est défini par

**Lorsque  $n = 2$**

$$\text{rot}F(x, y) = \frac{\partial F_2}{\partial x}(x, y) - \frac{\partial F_1}{\partial y}(x, y)$$

où  $F(x, y) = (F_1(x, y), F_2(x, y))$

**Lorsque  $n = 3$**

$$\begin{aligned} \text{rot}F(x, y, z) &= (\nabla \wedge F)(x, y, z) \\ &= \begin{pmatrix} \frac{\partial F_3}{\partial y}(x, y, z) - \frac{\partial F_2}{\partial z}(x, y, z) \\ \frac{\partial F_1}{\partial z}(x, y, z) - \frac{\partial F_3}{\partial x}(x, y, z) \\ \frac{\partial F_2}{\partial x}(x, y, z) - \frac{\partial F_1}{\partial y}(x, y, z) \end{pmatrix} \end{aligned}$$

où  $F(x, y, z) = (F_1(x, y, z), F_2(x, y, z), F_3(x, y, z))$

On dit que c'est le produit vectoriel de l'opérateur  $\nabla$  et du champ vectoriel  $F$ .

#### Remarque 1 :

Procédé mnémotechnique de calcul (notion de déterminant) :

$$\text{rot}F = \begin{vmatrix} e_1 & e_2 & e_3 \\ \frac{\partial}{\partial x} & \frac{\partial}{\partial y} & \frac{\partial}{\partial z} \\ F_1 & F_2 & F_3 \end{vmatrix} = \begin{pmatrix} \frac{\partial F_3}{\partial y} - \frac{\partial F_2}{\partial z} \\ \frac{\partial F_1}{\partial z} - \frac{\partial F_3}{\partial x} \\ \frac{\partial F_2}{\partial x} - \frac{\partial F_1}{\partial y} \end{pmatrix}$$

#### Remarque 2 :

pour  $n = 2$   $\text{rot}F(x, y) \in \mathbb{R}$  et  $\text{rot}F : \Omega \longrightarrow \mathbb{R}$  définit un champ scalaire.

pour  $n = 3$   $\text{rot}F(x, y, z) \in \mathbb{R}^3$  et  $\text{rot}F : \Omega \longrightarrow \mathbb{R}^3$  définit un champ vectoriel.

### 1.2.4 Le Laplacien :

Soit  $\Omega \subset \mathbb{R}^n$ , un ouvert, et

$$f : \Omega \longrightarrow \mathbb{R}$$

$$x \mapsto f(x) = f(x_1, x_2, \dots, x_n)$$

un champ scalaire tel que  $f \in C^2(\Omega)$ . Le Laplacien de  $f$ , noté  $\Delta f$ , est défini par :

$$(\Delta f)(x) = \frac{\partial^2 f}{\partial x_1^2}(x) + \frac{\partial^2 f}{\partial x_2^2}(x) + \dots + \frac{\partial^2 f}{\partial x_n^2}(x)$$

**Remarque :** comme  $(\Delta f)(x) \in \mathbb{R}$  alors  $\Delta f : \Omega \longrightarrow \mathbb{R}$  définit un champ scalaire.

Pour  $n = 2$  on a  $f = f(x, y)$  et  $\Delta f = \frac{\partial^2 f}{\partial x^2} + \frac{\partial^2 f}{\partial y^2}$

Pour  $n = 3$  on a  $f = f(x, y, z)$  et  $\Delta f = \frac{\partial^2 f}{\partial x^2} + \frac{\partial^2 f}{\partial y^2} + \frac{\partial^2 f}{\partial z^2}$

### 1.3 Exemples :

**Exemple 1:** Calcul de gradient

Soit

$$\begin{aligned} f : \quad \mathbb{R}^3 &\longrightarrow \mathbb{R} \\ (x, y, z) &\mapsto f(x, y, z) = x^2 y^3 \sin(z^2) \end{aligned}$$

$$\begin{aligned} \operatorname{grad} f(x, y, z) &= \left( \frac{\partial f}{\partial x}(x, y, z), \frac{\partial f}{\partial y}(x, y, z), \frac{\partial f}{\partial z}(x, y, z) \right) \\ &= (2xy^3 \sin(z^2), 3x^2 y^2 \sin(z^2), 2zx^2 y^3 \cos(z^2)) \in \mathbb{R}^3 \end{aligned}$$

**Exemple 2:** Calcul de divergence

Soit

$$\begin{aligned} f : \quad \mathbb{R}^3 &\longrightarrow \mathbb{R} \\ (x, y, z) &\mapsto F(x, y, z) = (x^2 - e^y, \sin(xz), y^2 e^{2xz}) \end{aligned}$$

$$\begin{aligned} \operatorname{div} F(x, y, z) &= \frac{\partial F_1}{\partial x}(x, y, z) + \frac{\partial F_2}{\partial y}(x, y, z) + \frac{\partial F_3}{\partial z}(x, y, z) \\ &= 2x + 0 + 2xy^2 e^{2xz} \\ &= 2x(1 + 2y^2 e^{2xz}) \in \mathbb{R} \end{aligned}$$

**Exemple 3:** calcul de rotationnel

Soit

$$\begin{aligned} F : \quad \mathbb{R}^3 &\longrightarrow \mathbb{R}^3 \\ (x, y, z) &\mapsto F(x, y, z) = (\sin y, e^{xyz}, z^2) \end{aligned}$$

$$\begin{aligned} \operatorname{rot} F(x, y, z) &= \begin{vmatrix} e_1 & e_2 & e_3 \\ \frac{\partial}{\partial x} & \frac{\partial}{\partial y} & \frac{\partial}{\partial z} \\ \sin y & e^{xyz} & z^2 \end{vmatrix} = \begin{pmatrix} \frac{\partial}{\partial y}(z^2) - \frac{\partial}{\partial z}(e^{xyz}) \\ \frac{\partial}{\partial z}(\sin y) - \frac{\partial}{\partial x}(z^2) \\ \frac{\partial}{\partial x}(e^{xyz}) - \frac{\partial}{\partial y}(\sin y) \end{pmatrix} \\ &= \begin{pmatrix} 0 - xye^{xyz} \\ 0 - 0 \\ yze^{xyz} - \cos y \end{pmatrix} = \begin{pmatrix} -xye^{xyz} \\ 0 \\ yze^{xyz} - \cos y \end{pmatrix} \in \mathbb{R}^3 \end{aligned}$$

**Exemple 4:** Calcul de Laplacien

Soit

$$\begin{aligned} f : \quad \mathbb{R}^3 &\longrightarrow \mathbb{R} \\ (x, y, z) &\mapsto f(x, y, z) = x^2 y z^2 - z^3 + \sin(3x) \end{aligned}$$

On a

$$\begin{aligned}\frac{\partial^2 f}{\partial x^2}(x, y, z) &= \frac{\partial^2 f}{\partial x^2}(x^2 y z^3 + \sin(3x)) = \frac{\partial}{\partial x}(2x y z^2 + 3 \cos(3x)) \\ &= 2y z^2 - 9 \sin(3x) \\ \frac{\partial^2 f}{\partial y^2}(x, y, z) &= \frac{\partial^2 f}{\partial y^2}(x^2 y z^3 + \sin(3x)) = \frac{\partial}{\partial y}(x^2 z^3) \\ &= 0 \\ \frac{\partial^2 f}{\partial z^2}(x, y, z) &= \frac{\partial^2 f}{\partial z^2}(x^2 y z^3 + \sin(3x)) = \frac{\partial}{\partial z}(3x^2 y z^2) \\ &= 6x^2 y z\end{aligned}$$

$$\Delta f(x, y, z) = 2y z^2 - 9 \sin(3x) + 6x^2 y z \in \mathbb{R}$$

## 1.4 Formules de Différentiation :

### 1.4.1 Résultats importants :

#### **Théorème :**

Soit  $\Omega \subset \mathbb{R}^n$  un ouvert et soient un champ scalaire  $f : \Omega \longrightarrow \mathbb{R}$  tel que  $f \in C^2(\Omega)$  et un champ vectoriel  $F : \Omega \longrightarrow \mathbb{R}^n$  tel que  $F \in C^2(\Omega, \mathbb{R}^n)$  alors

1.  $\operatorname{div} \operatorname{grad} f = \Delta f$  pour tout entier  $n > 1$ .
2. pour  $n = 2$  on a  $\operatorname{rot} \operatorname{grad} f = 0 (\in \mathbb{R})$ .
3. pour  $n = 3$  on a  $\operatorname{rot} \operatorname{grad} f = \begin{pmatrix} 0 \\ 0 \\ 0 \end{pmatrix} (\in \mathbb{R}^3)$  et  $\operatorname{div} \operatorname{rot} F = 0 (\in \mathbb{R}^n)$ .

**Démonstration:** *exercice 4 série 1*

### 1.4.2 Autres Formules :

*exercice 5 série 1*



## Chapitre 2

# Intégrales curvilignes et champs conservatifs :

### 2.1 Courbes dans $\mathbb{R}^n$ :

#### 2.1.1 Définitions :

Soit  $n \in \mathbb{R}^n$ ,  $n > 1$

##### Définition 1:

$\Gamma \subset \mathbb{R}^n$  est une courbe simple et régulière, s'il existe un intervalle  $[a, b] \subset \mathbb{R}$  et une fonction

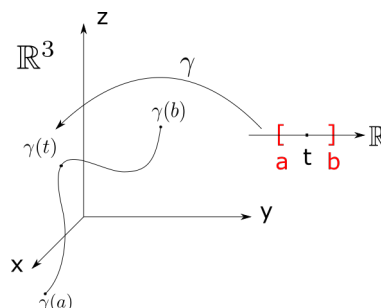
$$\begin{aligned}\gamma : [a, b] &\longrightarrow \mathbb{R}^n \\ t &\mapsto \gamma(t) = (\gamma_1(t), \gamma_2(t), \dots, \gamma_n(t))\end{aligned}$$

telle que :

- $\Gamma = \gamma([a, b]) = \{x \in \mathbb{R}^n : \exists t \in [a, b] \text{ avec } x = \gamma(t)\}$  **Au plus une pré-image**  
**→ implique simple**
- $\gamma$  est injective sur  $[a, b[ : \forall t_1, t_2 \in [a, b[ \text{ avec } t_1 \neq t_2 \implies \gamma(t_1) \neq \gamma(t_2)$
- $\gamma \in C^1([a, b], \mathbb{R}^n)$
- $\|\gamma'(t)\| \stackrel{\text{déf}}{=} [\gamma'_1(t)^2 + \gamma'_2(t)^2 + \dots + \gamma'_n(t)^2]^{\frac{1}{2}} \neq 0 \quad \forall t \in [a, b]$   
**→ implique régulière.**

##### Remarques :

1.  $\gamma$  s'appelle une paramétrisation de  $\Gamma$  par  $t \in \mathbb{R}$
2.  $\gamma(t) = (\gamma_1(t), \gamma_2(t), \dots, \gamma_n(t))$  est le vecteur "position" sur  $\Gamma$  à "l'instant"  $t$ .
3.  $\gamma'(t) = (\gamma'_1(t), \gamma'_2(t), \dots, \gamma'_n(t))$  est le vecteur tangent (vecteur "vitesse") à  $\Gamma$  au point  $\gamma(t)$
4. Illustration dans  $\mathbb{R}^3$



**Définition 2:**

$\Gamma \subset \mathbb{R}^n$  est une courbe simple régulière fermée si en plus  $\gamma(a) = \gamma(b)$  (possible car injective sur  $[a, b]$ )

**Définition 3:**

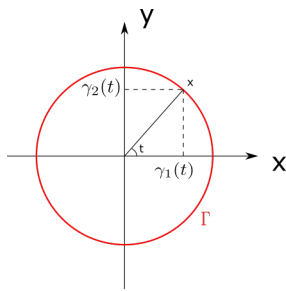
$\Gamma \subset \mathbb{R}^n$  est une courbe simple régulière par morceau s'il existe  $\Gamma_1, \Gamma_2, \dots, \Gamma_k$  des courbes simples régulières telles que :

$$\Gamma = \bigcup_{i=1}^k \Gamma_i$$

**2.1.2 Exemples :****Exemple 1:**

$$\begin{aligned} \gamma : \quad [0, 2\pi] &\longrightarrow \mathbb{R}^2 \\ t &\mapsto \gamma(t) = (\cos t, \sin t) \end{aligned}$$

Illustration dans  $\mathbb{R}^3$



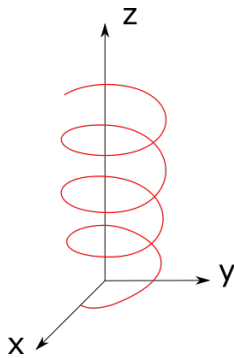
$\Gamma$  : cercle de rayon  $R = 1$   
 $\gamma'(t) = (-\sin t, \cos t)$

$$\|\gamma'(t)\| = [(-\sin t)^2 + (\cos t)^2]^{\frac{1}{2}} = 1 \neq 0 \quad \forall t \in [0, 2\pi]$$

→ régulière et simple

**Exemple 2:**

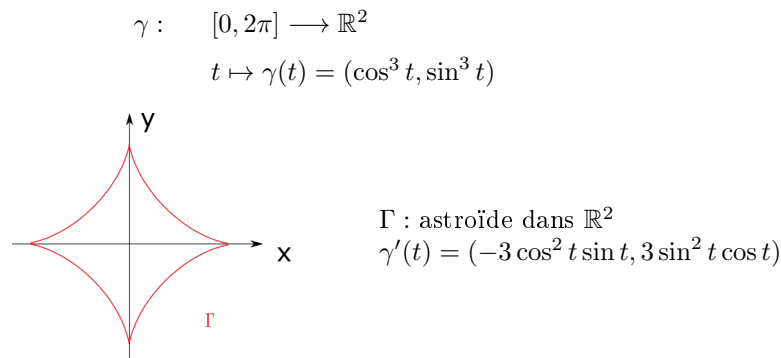
$$\begin{aligned} \gamma : \quad [0, 6\pi] &\longrightarrow \mathbb{R}^3 \\ t &\mapsto \gamma(t) = (3 \cos t, 3 \sin t, 4t) \end{aligned}$$



$\Gamma$  : hélice circulaire dans  $\mathbb{R}^3$   
 $\gamma'(t) = (-3 \sin t, 3 \cos t, 4)$

$$\|\gamma'(t)\| = (9 \sin^2 t + 9 \cos^2 t + 16)^{\frac{1}{2}} = 5 \neq 0 \quad \forall t \in [0, 6\pi]$$



**Exemple 3:**

$$\begin{aligned}\|\gamma'(t)\| &= [9 \cos^4 t \sin^2 t + 9 \sin^4 t \cos^2 t]^{\frac{1}{2}} = [9 \cos^2 t \sin^2 t \underbrace{(\cos^2 t + \sin^2 t)}_{=1}]^{\frac{1}{2}} \\ &= 3\|\cos t, \sin t\|\end{aligned}$$

Courbe non régulière car  $\|\gamma'(t)\|^2 = 0$  si  $t = \{0, \frac{\pi}{2}, \pi, \frac{3\pi}{2}, 2\pi\}$

**2.2 Intégrales curvilignes :**

**But :** Définir la notion d'intégrale le long d'une courbe  $\Gamma$ .

**2.2.1 Définitions :**

Soit  $\Gamma \subset \mathbb{R}^n$  une courbe simple régulière de paramétrisation :

$$\begin{aligned}\gamma : \quad [a, b] &\longrightarrow \mathbb{R}^n \\ t &\mapsto \gamma(t)\end{aligned}$$

**Définition 1:** Soit  $f$  un champ scalaire continu défini sur la courbe.

$$\begin{aligned}f : \quad \Gamma &\longrightarrow \mathbb{R} \\ x &\mapsto f(x)\end{aligned}$$

L'intégrale de  $f$  le long de  $\Gamma$  est définie par

$$\int_{\Gamma} f \, dl \stackrel{\text{def}}{=} \int_a^b f(\gamma(t)) \|\gamma'(t)\| \, dt$$

**Remarque :** On calcule la longueur de la courbe  $\Gamma$  en choisissant  $f = 1$  (champ scalaire constant égal à 1  $\forall x \in \mathbb{R}^n$ ). On a

$$\text{longueur}(\Gamma) = \int_{\Gamma} dl = \int_a^b \|\gamma'(t)\| \, dt \quad \text{exercice 1 série 2}$$

**Définition 2:** Soit

$$\begin{aligned} F : \quad \Gamma &\longrightarrow \mathbb{R}^n \\ x &\mapsto F(x) = (F_1(x), F_2(x), \dots, F_n(x)) \end{aligned}$$

Un champ vectoriel continu.

L'intégrale de  $F$  le long de  $\Gamma$  est définie par :

$$\int_{\Gamma} F \cdot dl \stackrel{\text{d\'ef}}{=} \int_a^b F(\gamma(t)) \cdot \gamma'(t) dt = \int_a^b \left[ \sum_{i=1}^n F_i(\gamma(t)) \gamma'_i(t) \right] dt$$

**Remarque :** Cette intégrale donne le travail du champ  $F$  le long de la courbe  $\Gamma$   
exercice 5 série 2.

**Définition 3:** Si  $\Gamma$  est une courbe simple régulière par morceaux alors

$$\Gamma = \bigcup_{i=1}^k \Gamma_i \quad \text{et} \quad \int_{\Gamma} f dl = \sum_{i=1}^k \int_{\Gamma_i} f dl \quad \text{et} \quad \int_{\Gamma} F \cdot dl = \sum_{i=1}^k \int_{\Gamma_i} F \cdot dl$$

### 2.2.2 Exemples :

**Exemple 1:**

Calculer  $\int_{\Gamma} f dl$  pour

a) La fonction suivante :

$$\begin{aligned} f : \quad \mathbb{R}^2 &\longrightarrow \mathbb{R} \\ (x, y) &\mapsto f(x, y) = \sqrt{x^2 + 4y^2} \end{aligned}$$

et la courbe  $\Gamma \subset \mathbb{R}^2$  paramétrée par

$$\begin{aligned} \gamma : \quad [0, 1] &\longrightarrow \mathbb{R}^2 \\ t &\mapsto \gamma(t) = \left( t, \frac{t^2}{2} \right) \end{aligned}$$

On a  $\gamma'(t) = (1, t)$  et  $\|\gamma'(t)\| = \sqrt{1+t^2}$ . Donc

$$\begin{aligned} \int_{\Gamma} f dl &= \int_0^1 f(\gamma(t)) \|\gamma'(t)\| dt = \int_0^1 \sqrt{t^2 + 4 \left( \frac{t^2}{2} \right)^2} \sqrt{1+t^2} dt \\ &= \int_0^1 \sqrt{t^2(1+t^2)} \sqrt{1+t^2} dt = \int_0^1 t(1+t^2) dt \\ &= \left. \frac{t^2}{2} + \frac{t^4}{4} \right|_0^1 = \frac{1}{2} + \frac{1}{4} \\ &= \frac{3}{4} \end{aligned}$$

b) La fonction suivante :

$$\begin{aligned} f : \quad \mathbb{R}^2 &\longrightarrow \mathbb{R} \\ (x, y) &\mapsto f(x, y) = x \end{aligned}$$

et la courbe  $\Gamma = \{(x, y) \in \mathbb{R}^2 : y = \cosh x \text{ pour } x \in [0, 1]\}$

Paramétrisation :

$$\begin{aligned} \gamma : \quad [0, 1] &\longrightarrow \mathbb{R} \\ t &\mapsto \gamma(t) = (t, \cosh t) \end{aligned}$$

On a  $\gamma'(t) = (1, \sinh t)$  et  $\|\gamma'(t)\| = \sqrt{1 + \sinh^2 t} = \cosh t$ . Donc

$$\int_{\Gamma} f \, dl = \int_0^1 f(\gamma(t)) \|\gamma'(t)\| \, dt = \int_0^1 t \cdot \cosh t \, dt$$

On pose :

$$\begin{aligned} u(t) &= t & v'(t) &= \cosh t \\ u'(t) &= 1 & v(t) &= \sinh t \end{aligned}$$

$$\begin{aligned} &\stackrel{\text{pp}}{=} t \sinh t \Big|_0^1 - \int_0^1 \sinh t \, dt = \sinh 1 - \cosh t \Big|_0^1 \\ &= \sinh 1 - \cosh 1 + 1 = \frac{e - e^{-1}}{2} - \frac{e + e^{-1}}{2} + 1 \\ &= -\frac{1}{e} + 1 \end{aligned}$$

**Exemple 2:** Calculer  $\int_{\Gamma} F \cdot dl$  pour

a) La fonction suivante :

$$\begin{aligned} F : \quad \mathbb{R}^3 &\longrightarrow \mathbb{R}^3 \\ (x, y, z) &\mapsto F(x, y, z) = (x, z, y) \end{aligned}$$

et la courbe  $\Gamma$  paramétrée par

$$\begin{aligned} \gamma : \quad [0, 2\pi] &\longrightarrow \mathbb{R}^3 \\ t &\mapsto (\cos t, \sin t, 0) \end{aligned}$$

On a  $\gamma'(t) = (-\sin t, \cos t, 0)$  et

$$\begin{aligned} \int_{\Gamma} F \cdot dl &= \int_0^{2\pi} F(\gamma(t)) \cdot \gamma'(t) \, dt = \int_0^{2\pi} (\cos t, 0, \sin t) \cdot (-\sin t, \cos t, 0) \, dt \\ &= - \int_0^{2\pi} \cos t \sin t \, dt = -\frac{1}{2} \int_0^{2\pi} \sin(2t) \, dt = \frac{1}{4} \cos(2t) \Big|_0^{2\pi} = 0 \end{aligned}$$

b) La fonction suivante :

$$\begin{aligned} F : \quad \mathbb{R}^3 &\longrightarrow \mathbb{R}^3 \\ (x, y, z) &\mapsto F(x, y, z) = (x^2, y^3, z^2) \end{aligned}$$

et la courbe  $\Gamma = \{(x, y, z) \in \mathbb{R}^3 : y = e^x \text{ et } z = x \text{ pour } x \in [0, 1]\}$

Paramétrisation de  $\Gamma$  :

$$\begin{aligned} \gamma : \quad [0, 1] &\longrightarrow \mathbb{R}^3 \\ t &\mapsto \gamma(t) = (t, e^t, t) \end{aligned}$$

On a  $\gamma'(t) = (1, e^t, 1)$  et donc

$$\begin{aligned} \int_{\Gamma} F \cdot dl &= \int_0^1 F(\gamma(t)) \cdot \gamma'(t) dt = \int_0^1 (t^2, e^{3t}, t^2) \cdot (1, e^t, 1) dt \\ &= \int_0^1 (t^2 + e^{4t} + t^2) dt = \int_0^1 (2t^2 + e^{4t}) dt \\ &= \frac{2t^3}{3} + \frac{e^{4t}}{4} \Big|_0^1 \\ &= \frac{2}{3} + \frac{e^4}{4} - \frac{1}{4} = \frac{5 + 3e^4}{12} \end{aligned}$$

**Exemple 3:** Calculer la longueur du cercle  $\Gamma$  de rayon  $R$  centré à l'origine

$$\Gamma = \{(x, y) \in \mathbb{R}^2 : x^2 + y^2 = R^2\}$$

Paramétrisation de  $\Gamma$  :

$$\begin{aligned} \gamma : \quad [0, 2\pi] &\longrightarrow \Gamma \\ t &\mapsto (R \cos t, R \sin t) \end{aligned}$$

On a  $\gamma'(t) = (-R \sin t, R \cos t)$  et  $\|\gamma'(t)\| = R$

Donc la longueur vaut

$$\Gamma = \int_{\Gamma} dl = \int_0^{2\pi} \|\gamma'(t)\| dt = R \int_0^{2\pi} dt = 2\pi R$$

Autres exercices : *exercices 2, 3 et 4 série 2*

## 2.3 Champs qui dérivent d'un potentiel :

### 2.3.1 Notions de Topologie :

#### Définition 1:

Un ensemble  $\Omega \subset \mathbb{R}^n$  est **convexe** si pour tout  $A \in \Omega$  et tout  $B \in \Omega$  le **segment de droite** joignant  $A$  à  $B$  est entièrement contenu dans  $\Omega$ .

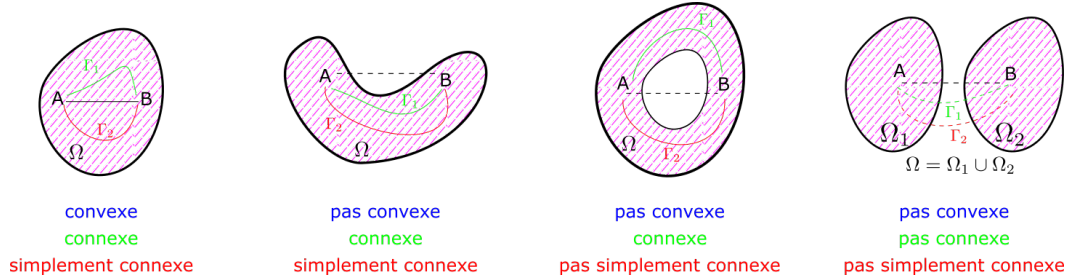
**Définition 2:**

Un ensemble  $\Omega \subset \mathbb{R}^n$  est **connexe** si pour tout  $A \in \Omega$  et tout  $B \in \Omega$  il existe une **courbe**  $\Gamma$  continue joignant  $A$  et  $B$  qui est entièrement contenue dans  $\Omega$ .

**Définition 3:**

$\Omega \subset \mathbb{R}^n$  est **simplement connexe** s'il est connexe et si deux courbes simples  $\Gamma_1$  et  $\Gamma_2$  quelconques contenues dans  $\Omega$  joignant  $A$  et  $B$  peuvent être déformée continûment l'une en l'autre sans quitter  $\Omega$ .

Illustrations dans  $\mathbb{R}^2$  :

**Interprétation intuitive :**

Un ensemble simplement connexe de  $\mathbb{R}^2$  est un ensemble sans trous.

**Remarque :** On a toujours :

$$\begin{array}{ccccc} \Omega \text{ convexe} & \implies & \Omega \text{ simplement connexe} & \implies & \Omega \text{ connexe} \\ & \not\Leftarrow & & \not\Leftarrow & \end{array}$$

**2.3.2 Caractérisation des champs conservatifs :**

**Définition :** Soit  $\Omega \subset \mathbb{R}^n$  un ouvert et

$$\begin{aligned} F : \quad \Omega &\longrightarrow \mathbb{R}^n \\ x &\mapsto F(x) \end{aligned}$$

un **champ vectoriel**. On dit que  $F$  **dérive d'un potentiel sur  $\Omega$**  s'il existe un champ **scalaire**

$$\begin{aligned} f : \quad \Omega &\longrightarrow \mathbb{R} \\ x &\mapsto f(x) \end{aligned}$$

appartenant à  $C^1(\Omega)$  tel que

$$F(x) = \text{grad} f(x) = \left( \frac{\partial f}{\partial x_1}(x), \frac{\partial f}{\partial x_2}(x), \dots, \frac{\partial f}{\partial x_n}(x) \right) \quad \forall x \in \Omega$$

Dans ce cas  $F$  est appelé un **champ conservatif** et  $f$  est appelé un **potentiel de  $F$** .

**Remarque :** Si un potentiel de  $F$  existe alors il est défini à une constante  $\alpha \in \mathbb{R}$  près car  $\text{grad}(f + \alpha) = \text{grad} f = F$  et donc  $f + \alpha$  est aussi un potentiel de  $F$ .

### 2.3.3 Résultats Importants :

**Théorème 1 :**      **fondamental**

Soit  $\Omega \subset \mathbb{R}^n$  un ouvert et un champ vectoriel

$$\begin{aligned} F : \quad \Omega &\longrightarrow \mathbb{R}^n \\ x &\mapsto F(x) = (F_1(x), F_2(x), \dots, F_n(x)) \end{aligned}$$

tel que  $F \in C^1(\Omega, \mathbb{R}^n)$

a) Condition nécessaire : **si**  $F$  dérive d'un potentiel sur  $\Omega$  **alors** :

$$\frac{\partial F_i}{\partial x_j}(x) = \frac{\partial F_j}{\partial x_i}(x) \quad \forall i, j = 1, \dots, n \text{ et } \forall x \in \Omega \quad (2.1)$$

b) Condition suffisante : **si** 2.1 a lieu et **si**  $\Omega$  est **simplement connexe** alors  $F$  dérive d'un potentiel sur  $\Omega$

**Remarque 1 :**

La condition 2.1 du théorème 1 est une condition **nécessaire**, mais elle **n'est pas suffisante** pour garantir l'existence d'un potentiel.

Pour la rendre **suffisante** il faut imposer que  $\Omega$  soit **simplement connexe** (en particulier si  $\Omega$  est convexe, la condition 2.1 est suffisante).

**Remarque 2 :**

La condition 2.1 est équivalente à dire que  $\text{rot} F$  est nul.

En effet :

- pour  $n = 2$      $F = (F_1, F_2)$      $x = (x_1, x_2)$  et 2.1 signifie :

$$i = 1, j = 2 \quad \frac{\partial F_1}{\partial x_2} = \frac{\partial F_2}{\partial x_1} \iff \text{rot} F \stackrel{\text{def}}{=} \frac{\partial F_2}{\partial x_1} - \frac{\partial F_1}{\partial x_2} = 0$$

- pour  $n = 3$      $F = (F_1, F_2, F_3)$      $x = (x_1, x_2, x_3)$  et 2.1 signifie :

$$\begin{aligned} i = 1, j = 2 & \quad \frac{\partial F_1}{\partial x_2} = \frac{\partial F_2}{\partial x_1} \\ i = 1, j = 3 & \quad \frac{\partial F_1}{\partial x_3} = \frac{\partial F_3}{\partial x_1} \\ i = 2, j = 3 & \quad \frac{\partial F_2}{\partial x_3} = \frac{\partial F_3}{\partial x_2} \end{aligned} \iff \text{rot} F = \begin{pmatrix} \frac{\partial F_3}{\partial x_2} - \frac{\partial F_2}{\partial x_3} \\ \frac{\partial F_1}{\partial x_3} - \frac{\partial F_3}{\partial x_1} \\ \frac{\partial F_2}{\partial x_1} - \frac{\partial F_1}{\partial x_2} \end{pmatrix} = \begin{pmatrix} 0 \\ 0 \\ 0 \end{pmatrix}$$

**Théorème 2 :**

Soit  $\Omega \subset \mathbb{R}^n$  un ouvert simplement connexe et soit  $F : \Omega \longrightarrow \mathbb{R}^n$  un champ vectoriel. Alors les affirmations suivantes sont **équivalentes**

1.  $F$  dérive d'un potentiel.
2.  $\int_{\Gamma_1} F \cdot dl = \int_{\Gamma_2} F \cdot dl$  pour **toutes** les courbes simples régulières (par morceaux)  $\Gamma_1$  et  $\Gamma_2 \subset \Omega$  joignant deux points  $A$  et  $B$  **quelconques** de  $\Omega$ .
3.  $\int_{\Gamma} F \cdot dl = 0$  pour **toute** courbe simple **fermée** régulière (par morceaux)  $\Gamma \subset \Omega$ .

**Autrement dit :** Le champ vectoriel  $F$  dérive d'un potentiel  $\iff$  Le travail de  $F$  est indépendant de la courbe choisie pour aller de  $A$  à  $B$   $\iff$  Le travail de  $F$  le long de n'importe quelle courbe **fermée** est nul.

#### Résumé de l'utilisation des théorèmes 1 et 2 :

Soit  $\Omega \subset \mathbb{R}^n$  un ouvert connexe et un champ vectoriel  $F : \Omega \longrightarrow \mathbb{R}^n$  tel que  $F \in C^1(\Omega, \mathbb{R}^n)$  avec  $n = 2$  ou  $n = 3$ .

- a) Si  $\text{rot} F \neq 0$  sur  $\Omega$ , alors  $F$  ne dérive pas d'un potentiel.
- b) Si  $\text{rot} F = 0$  sur  $\Omega$  simplement connexe alors  $F$  dérive d'un potentiel.
- c) Si  $\text{rot} F = 0$  sur  $\Omega$  qui **n'est pas** simplement connexe alors le théorème 1 ne donne **aucune** informations. (voir exercice 3 série 3)
- d) Si on trouve une courbe fermée  $\Gamma \subset \Omega$  telle que  $\int_{\Gamma} F \cdot dl \neq 0$  alors  $F$  ne dérive pas d'un potentiel.

**Remarque :** Attention,  $\int_{\Gamma} F \cdot dl = 0$  pour une courbe fermée  $\nRightarrow F$  dérive d'un potentiel.

#### 2.3.4 Exemples :

Étudier si le champ  $F$  dérive d'un potentiel sur son domaine de définition, si c'est le cas, trouver ce potentiel.

##### Exemple 1:

$$F : \mathbb{R}^2 \longrightarrow \mathbb{R}^2$$

$$(x, y) \mapsto F(x, y) = (F_1(x, y), F_2(x, y)) = (4x^3y^2, 2x^4y + y)$$

Domaine de définition :  $\Omega = \mathbb{R}^2$  simplement connexe.

$$\begin{aligned} \text{rot} F &= \frac{\partial F_2}{\partial x_1} - \frac{\partial F_1}{\partial x_2} \\ &= \frac{\partial}{\partial x}(2x^4y + y) - \frac{\partial}{\partial y}(4x^3y^2) \\ &= 8x^3y - 8x^3y = 0 \quad \forall (x, y) \in \Omega \end{aligned}$$

$\implies$  un potentiel  $f : \mathbb{R}^2 \longrightarrow \mathbb{R}$  existe tel que  $F = \text{grad} f$

Pour trouver  $x, y$  on pose :

$$\frac{\partial f}{\partial x}(x, y) = F_1(x, y) = 4x^3y^2 \quad (2.2)$$

$$\frac{\partial f}{\partial y}(x, y) = F_2(x, y) = 2x^4y + y \quad (2.3)$$

Équation 2.2  $\implies f(x, y) = x^4y^2 + \alpha(y)$  où  $\alpha(y)$  ne dépend que de  $y$ , constante pour  $x$ .

$$\frac{\partial f}{\partial y}(x, y) = 2x^4y + \alpha'(y)$$

Équation 2.3  $\implies 2x^4y + \alpha'(y) = 2x^4y + y \implies \alpha'(y) = y$

$$\alpha(y) = \frac{1}{2}y^2 + \beta \quad \text{où la constante } \beta \in \mathbb{R}$$

Le potentiel est donc :

$$f(x, y) = x^4 y^2 + \frac{1}{2} y^2 + \beta \quad \text{où } \beta \text{ est une constante arbitraire.}$$

### Exemple 2:

$$F : \mathbb{R}^2 \longrightarrow \mathbb{R}^2$$

$$(x, y) \mapsto F(x, y) = (F_1(x, y), F_2(x, y)) = \left(-\frac{y}{x^2+y^2}, \frac{x}{x^2+y^2}\right)$$

Domaine de définition :  $\mathbb{R}^2 \setminus (0, 0)$  pas simplement connexe.

$$\begin{aligned} \operatorname{rot} F &= \frac{\partial F_2}{\partial x} - \frac{\partial F_1}{\partial y} = \frac{\partial}{\partial x} \left( \frac{x}{x^2+y^2} \right) - \frac{\partial}{\partial y} \left( -\frac{y}{x^2+y^2} \right) \\ &= \frac{x^2+y^2-2x^2}{(x^2+y^2)^2} + \frac{x^2+y^2-2y^2}{(x^2+y^2)^2} = 0 \quad \forall (x, y) \in \Omega \end{aligned}$$

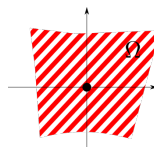
**Attention :**  $\Omega$  n'est pas simplement connexe alors le théorème 1 ne donne aucune information.

Avec le théorème 2 on peut montrer que  $F \neq \operatorname{grad} f$  sur  $\Omega$  en trouvant **une** courbe fermée  $\Gamma \subset \Omega$  telle que  $\int_{\Gamma} F \cdot dl \neq 0$ .

Par exemple, on peut choisir :

Le cercle unité, centré à l'origine.

$$\Gamma = \{(x, y) \in \mathbb{R}^2 : x^2 + y^2 = 1\} \subset \Omega$$



Paramétrisation :

$$\gamma(t) = (\cos t, \sin t) \quad t \in [0, 2\pi]$$

On a donc

$$\begin{aligned} \gamma'(t) &= (-\sin t, \cos t) \\ F(\gamma(t)) &= (-\sin t, \cos t) \end{aligned}$$

Alors

$$\begin{aligned} \int_{\Gamma} F \cdot dl &= \int_0^{2\pi} F(\gamma(t)) \cdot \gamma'(t) dt \\ &= \int_0^{2\pi} (\sin^2 t + \cos^2(t)) dt = \int_0^{2\pi} dt = 2\pi \neq 0 \end{aligned}$$

**Conclusion :**  $F$  ne dérive pas d'un potentiel.

### Exemple 3:

$$f : \mathbb{R}^3 \longrightarrow \mathbb{R}^3$$

$$(x, y, z) \mapsto F(x, y, z) = (ye^x \sin z, 1 + e^x \sin z, ye^x \cos z + z)$$

Domaine de définition :  $\Omega = \mathbb{R}^3$  simplement connexe.



$$\operatorname{rot} F = \begin{vmatrix} e_x & e_y & e_z \\ \frac{\partial}{\partial x} & \frac{\partial}{\partial y} & \frac{\partial}{\partial z} \\ ye^x \sin z & 1 + e^x \sin z & ye^x \cos z + z \end{vmatrix} = \begin{pmatrix} 0 \\ 0 \\ 0 \end{pmatrix} \quad \forall (x, y, z) \in \Omega$$

$\implies F$  dérive d'un potentiel  $f$  sur  $\Omega$  tel que  $F = \operatorname{grad} f$ .

On pose

$$\frac{\partial f}{\partial x}(x, y, z) = F_1(x, y, z) = ye^x \sin z \quad (2.4)$$

$$\frac{\partial f}{\partial y}(x, y, z) = F_2(x, y, z) = 1 + e^x \sin z \quad (2.5)$$

$$\frac{\partial f}{\partial z}(x, y, z) = F_3(x, y, z) = ye^x \cos z + z \quad (2.6)$$

Équation 2.4 :  $f(x, y, z) = ye^x \sin z + \alpha(y, z)$

Alors

$$\frac{\partial f}{\partial y}(x, y, z) = e^x \sin z + \frac{\partial \alpha}{\partial y}(y, z) = 1 + e^x \sin z$$

$$\frac{\partial f}{\partial z}(x, y, z) = ye^x \cos z + \frac{\partial \alpha}{\partial z}(y, z) = ye^x \cos z + z$$

$$\implies \frac{\partial \alpha}{\partial y} = 1 \quad (2.7)$$

$$\frac{\partial \alpha}{\partial z} = z \quad (2.8)$$

Équation 2.7 :

$$\alpha(y, z) = y + \beta(z) \implies \frac{\partial \alpha}{\partial z}(y, z) = 0 + \beta'(z)$$

$$\beta'(z) = z \implies \beta(z) = \frac{1}{2}z^2 + C$$

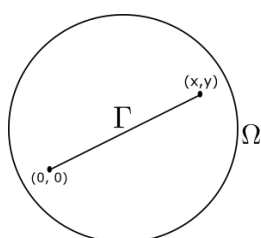
On trouve donc, au final :

$$f(x, y, z) = ye^x \sin z + y + \frac{1}{2}z^2 + C$$

### 2.3.5 Démonstration du Théorème 1 :

a) Si  $F = \operatorname{grad} f \implies \operatorname{rot} F = \operatorname{rot} \operatorname{grad} f = 0$  voir série 1 exercice 4.1

b) Esquisse de la preuve dans  $\mathbb{R}^2$  lorsque  $(0, 0) \in \Omega$  et  $\Omega$  connexe.



Le segment de droite  $\Gamma$  reliant  $(0, 0)$  à  $(x, y)$  paramétré par  $\gamma(t) = (tx, ty)$  avec  $t \in [0, 1]$  et entièrement contenu dans  $\Omega$ .

On a

$$\gamma'(t) = (x, y) \quad \text{et on définit}$$

$$\begin{aligned}
\phi(x, y) &= \int_{\Gamma} F \cdot dl = \int_0^1 F(\gamma(t)) \cdot \gamma'(t) dt \\
&= \int_0^1 (F_1(tx, ty), F_2(tx, ty)) \cdot (x, y) dt \\
&= \int_0^1 [xF_1(tx, ty) + yF_2(tx, ty)] dt
\end{aligned}$$

Avec l'hypothèse  $\text{rot} F = 0$  *exercice 4 série 3* on montre que  $\frac{\partial \phi}{\partial x} = F_1$  et  $\frac{\partial \phi}{\partial y} = F_2$  c'est-à-dire que  $F = \text{grad} \phi$  et donc  $F$  dérive du potentiel  $\phi$ .

## 2.4 Théorème de Green :

**Remarque :** Tous les résultats de cette section sont formulés dans  $\mathbb{R}^2$ .

### 2.4.1 Rappels, notations et définitions :

Soit  $\Omega \subset \mathbb{R}^2$  un ouvert borné de  $\mathbb{R}^2$ .

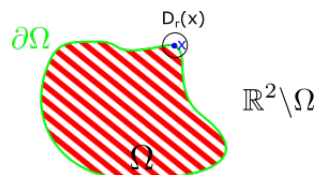
- On note  $\partial\Omega$  le bord de  $\Omega$

$$\partial\Omega = \{x \in \mathbb{R}^2 : \Omega \cap D_r(x) \neq \emptyset \text{ et } (\mathbb{R}^2 \setminus \Omega) \cap D_r(x) \neq \emptyset \quad \forall r > 0\}$$

où

$$D_r(x) = \{y \in \mathbb{R}^2 : \|y - x\| < r\}$$

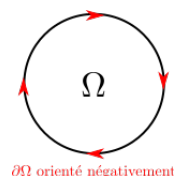
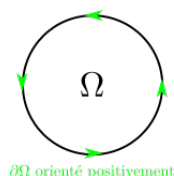
et le disque ouvert de  $\mathbb{R}^2$  centré en  $x$  et de rayon  $r$ .



- On note  $\overline{\Omega} = \Omega \cup \partial\Omega$  l'adhérence de  $\Omega$ .

#### Définition 1:

Soit  $\Omega \in \mathbb{R}^2$  un ouvert borné tel que  $\partial\Omega$  est une courbe simple fermée régulière (par morceaux). On dit que  $\partial\Omega$  est orienté **positivement** respectivement **négativement** si lorsqu'on parcourt  $\partial\Omega$  on laisse  $\Omega$  à gauche respectivement à droite.

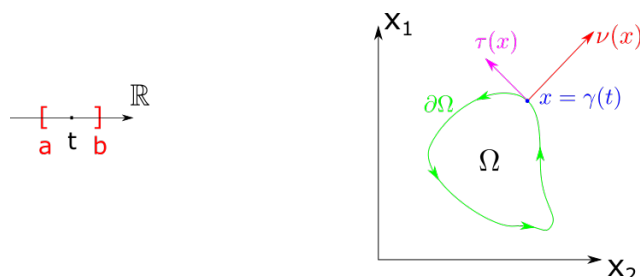


#### Signification de l'orientation positive :

Pour une paramétrisation

$$\begin{aligned}
\gamma : \quad [a, b] &\longrightarrow \partial\Omega \\
t &\mapsto x = \gamma(t) = (\gamma_1(t), \gamma_2(t))
\end{aligned}$$

de  $\partial\Omega$  le vecteur tangent à  $\partial\Omega$  en  $x$  est  $\tau(x) = (\gamma'_1(t), \gamma'_2(t))$  et le vecteur normal à  $\partial\Omega$  en  $x$  donné par  $\nu(x) = (\gamma'_2(t), -\gamma'_1(t))$  est une normale **extérieure** à  $\Omega$

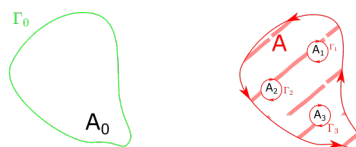


### Définition 2:

On dit qu'un ouvert borné  $A \subset \mathbb{R}^2$  est un **domaine régulier** s'il existe des ouverts bornés  $A_0, A_1, \dots, A_m \subset \mathbb{R}^2$  tels que

- $\partial A_j = \Gamma_j$  pour  $j = 0, 1, \dots, m$  sont des courbes simples fermées régulières (par morceaux).
- $\overline{A_j} \subset A_0$  pour  $j = 1, \dots, m$ .
- $\overline{A_i} \cap \overline{A_j} = \emptyset \quad \forall i, j = 1, \dots, m$ .
- $A = A_0 \setminus \bigcup_{j=1}^m \overline{A_j}$

Illustration typique :



On dit que  $\partial A = \Gamma_0 \cup \Gamma_1 \cup \Gamma_2 \cup \dots \cup \Gamma_m$  est orienté positivement si le sens de parcours sur chaque  $\Gamma_j$  pour  $j = 0, \dots, m$  laisse le domaine  $A$  à gauche. C'est-à-dire que le bord  $\Gamma_0$  est orienté **positivement** (le parcours laisse  $A_0$  à gauche) tandis que les bords  $\Gamma_1, \Gamma_2, \dots, \Gamma_m$  sont orientés **négativement** (le parcours laisse  $A_1, A_2, \dots, A_m$  à droite).

### 2.4.2 Énoncé du Théorème de Green :

#### Théorème de Green :

Soit  $A \subset \mathbb{R}^2$  un domaine **régulier** dont le bord est **orienté positivement**.  
Soit

$$F : \overline{A} \longrightarrow \mathbb{R}^2$$

$$(x, y) \mapsto F(x, y)$$

un champ vectoriel tel que  $F \in C^1(\overline{A}, \mathbb{R}^2)$ . Alors

$$\underbrace{\iint_A \operatorname{rot} F(x, y) \, dx dy}_{\text{intégrale double d'un champ scalaire}} = \underbrace{\int_{\partial A} F \cdot dl}_{\text{intégrale curviligne d'un champ vectoriel}}$$

### Remarque 1 :

Le théorème de Green permet de remplacer le calcul d'une intégrale double du  $\operatorname{rot} F$  sur un domaine  $A \subset \mathbb{R}^2$  par le calcul d'une intégrale curviligne de  $F$  le long du bord  $\partial A$  de  $A$ .

**Remarque 2 :** Si  $F$  dérive d'un potentiel sur  $A \xrightarrow[\text{Th1 §2.3.3}]{=} \text{rot} F = 0$  sur  $A \xrightarrow[\text{Th. Green}]{=} \int \partial A F \cdot dl$

**Remarque 3 :**

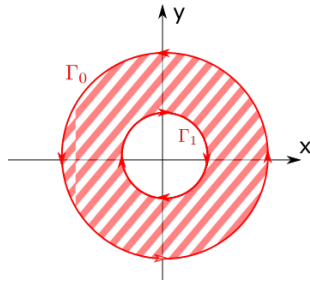
$$\iint_A \underbrace{\left[ \frac{\partial F_2}{\partial x}(x, y) - \frac{\partial F_1}{\partial y}(x, y) \right]}_{\text{définition de } \text{rot} F} dx dy = \int_{\partial A} F \cdot dl$$

### 2.4.3 Exemple :

**Exemple :** Vérification du théorème de Green.

$$A = \{(x, y) \in \mathbb{R}^2 : 1 < x^2 + y^2 < 4\} \quad \text{et} \quad F(x, y) = (x^2 y, 2xy)$$

Illustration du domaine :



Le domaine est bien régulier.

1. Calcul de  $\iint_A \text{rot} F(x, y) dx dy$

On a  $\text{rot} F(x, y) = \frac{\partial}{\partial x}(2xy) - \frac{\partial}{\partial y}(x^2 y) = 2y - x^2$ . Alors

$$\iint_A \text{rot} F(x, y) dx dy = \iint_A (2y - x^2) dx dy$$

On passe en coordonnées polaires, on pose donc,  $x = r \cos \theta$ ,  $y = r \sin \theta$  et  $dx dy = r dr d\theta$

$$\begin{aligned} &= \int_1^2 \int_0^{2\pi} (2r \sin \theta - r^2 \cos^2 \theta) r dr d\theta \\ &= 2 \int_1^2 \underbrace{\left[ \int_0^{2\pi} \sin \theta d\theta \right]}_{=0} r^2 dr - \int_1^2 \underbrace{\left[ \int_0^{2\pi} \cos^2 \theta d\theta \right]}_{=\pi} r^3 dr \\ &= -\pi \int_1^2 r^3 dr = -\frac{\pi}{4} r^4 \Big|_1^2 = -\frac{\pi}{4} (16 - 1) = -\frac{15\pi}{4} \end{aligned}$$

2. Calcul de  $\int_{\partial A} F \cdot dl$  avec  $\partial A$  orienté **positivement**.

Détermination de  $\partial A$  :

$$A = A_0 \setminus \overline{A_1} \text{ avec } A_0 = \{(x, y) \in \mathbb{R}^2 : x^2 + y^2 < 4\} \text{ et } A_1 = \{(x, y) \in \mathbb{R}^2 : x^2 + y^2 < 1\}$$

On a donc comme bord de  $A$ .

$$\partial A = \Gamma_0 \cup \Gamma_1 \text{ avec } \Gamma_0 = \{(x, y) \in \mathbb{R}^2 : x^2 + y^2 = 4\} \text{ et } \Gamma_1 = \{(x, y) \in \mathbb{R}^2 : x^2 + y^2 = 1\}$$

Paramétrisation de  $\partial A$  :

$$\Gamma_0 = \{\gamma_0(t) = (2 \cos t, 2 \sin t) \text{ avec } t \in [0, 2\pi]\}$$

$$\Gamma_1 = \{\gamma_1(t) = (\cos t, \sin t) \text{ avec } t \in [0, 2\pi]\}$$

On a

$$\int_{\partial A} F \cdot dl = \int_{\Gamma_0} F \cdot dl \overset{\text{\textcolor{red}{\(\gamma_1 \text{ orienté à l'envers}\)}}}{\downarrow} - \int_{\Gamma_1} F \cdot dl$$

**Remarque :**

Car  $\partial A$  doit être orienté positivement,  $\Gamma_0$  doit être parcouru dans le sens positif (laisser  $A_0$  à gauche) et  $\Gamma_1$  doit être parcouru dans le sens négatif (laisser  $A_1$  à droite).

D'une part  $\gamma'_0(t) = (-2 \sin t, 2 \cos t)$  on a :

$$\begin{aligned} \int_{\Gamma_0} F \cdot dl &= \int_0^{2\pi} F(\gamma_0(t)) \cdot \gamma'_0(t) dt \\ &= \int_0^{2\pi} (8 \cos^2 t \sin t, 8 \cos t \sin t) \cdot (-2 \sin t, 2 \cos t) dt \\ &= -16 \int_0^{2\pi} \cos^2 t \sin^2 t dt + 16 \int_0^{2\pi} \cos^2 t \sin^2 t dt \end{aligned}$$

Or

$$\begin{aligned} \int_0^{2\pi} \cos^2 t \sin^2 t dt &= \frac{1}{4} \int_0^{2\pi} \sin^2(2t) dt = \frac{1}{8} \int_0^{2\pi} (1 - \cos 4t) dt \\ &= \frac{1}{8} 2\pi - \underbrace{\frac{1}{8} \int_0^{2\pi} \cos 4t dt}_{=0} = \frac{\pi}{4} \end{aligned}$$

et

$$\begin{aligned} \int_0^{2\pi} \cos^2 t \sin t dt &= -\frac{1}{3} \cos^3 t \Big|_0^{2\pi} = 0 \\ \implies \int_{\Gamma_0} F \cdot dl &= -16 \frac{\pi}{4} = -4\pi \end{aligned}$$

D'autre part  $\gamma'_1(t) = (-\sin t, \cos t)$ , on a :

$$\begin{aligned} \int_{\Gamma_1} F \cdot dl &= \int_0^{2\pi} F(\gamma_1(t)) \cdot \gamma'_1(t) dt = \int_0^{2\pi} (\cos^2 t \sin t, 2 \cos t \sin t) \cdot (-\sin t, \cos t) dt \\ &= -\underbrace{\int_0^{2\pi} \cos^2 t \sin^2 t dt}_{=\pi/4} + 2 \underbrace{\int_0^{2\pi} \cos^2 t \sin t dt}_{=0} = -\frac{\pi}{4} \end{aligned}$$

Finalement :

$$\int_{\partial A} F \cdot dl = -4\pi - \left(-\frac{\pi}{4}\right) = -4\pi + \frac{\pi}{4} = -\frac{15\pi}{4}$$

**Remarque :** Théorème de Green vérifié autres exemples exercices 1 et 2 série 4.

#### 2.4.4 Corollaire du Théorème de Green :

##### Corollaire du Théorème de Green :

Soit  $A \subset \mathbb{R}^2$  un domaine régulier dont le bord  $\partial A$  est orienté positivement.

Soit  $\nu : \partial A \rightarrow \mathbb{R}^2$  un champ de normales unités extérieures à  $A$ .

Soient  $F : \bar{A} \rightarrow \mathbb{R}^2$  un champ vectoriel tel que  $F \in C^1(\bar{A}, \mathbb{R}^2)$  et  $f : \bar{A} \rightarrow \mathbb{R}$  un champ scalaire tel que  $f \in C^2(\bar{A})$ .

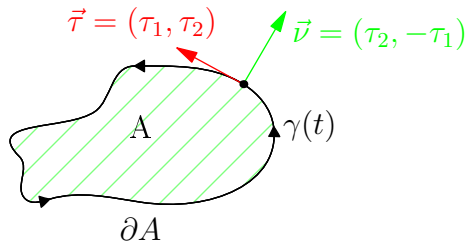
Alors :

1.

$$\iint_A \operatorname{div} F(x, y) \, dxdy = \int_{\partial A} (F \cdot \nu) \, dl$$

2.

$$\iint_A \Delta f(x, y) \, dxdy = \int_{\partial A} (\operatorname{grad} f \cdot \nu) \, dl$$



Si  $\gamma(t) = (\gamma_1(t), \gamma_2(t))$  pour  $t \in [a, b]$  est une paramétrisation de  $\partial A$  alors

$$\vec{\tau} = \frac{\gamma'(t)}{\|\gamma'(t)\|} = \frac{(\gamma'_1(t), \gamma'_2(t))}{\|\gamma'(t)\|} = (\tau_1, \tau_2)$$

est le **vecteur tangent unité** (qui suit l'orientation positive de  $\partial A$ )

$$\vec{\nu} = (\nu_2, -\nu_1)$$

est le **vecteur normal unité extérieur** à  $A$  en  $\gamma(t)$

$\vec{\nu}$  : champ de normal unité extérieures à  $A$

**Remarque 1 :** Avec  $F = (F_1, F_2)$  et  $\nu = (\nu_1, \nu_2)$  l'égalité 1 s'écrit :

$$\underbrace{\iint_A \left[ \frac{\partial F_1}{\partial x}(x, y) + \frac{\partial F_2}{\partial y}(x, y) \right] dxdy}_{\text{intégrale double d'un champ scalaire}} = \underbrace{\int_{\partial A} (F_1 \nu_1 + F_2 \nu_2) dl}_{\text{intégrale curviligne d'un champ scalaire}}$$

*Théorème de la divergence dans  $\mathbb{R}^2$ .*

Preuve du corollaire : *exercice 1 série 5.*

**Exemple :** *exercice 3 série 4.*

# Chapitre 3

## Intégrales de surface :

### 3.1 Surface dans $\mathbb{R}^3$

- **Nouvelles notations :**

- Pour une fonction  $f : \mathbb{R}^2 \rightarrow \mathbb{R}^3$  on note  $f(x, y) = (f^1(x, y), f^2(x, y), f^3(x, y))$  où  $f^i : \mathbb{R}^2 \rightarrow \mathbb{R}$  pour  $i = 1, 2, 3$  (indices en haut, repèrent les composantes).
- pour une fonction  $g(x, y)$  de deux variables on note  $\frac{\partial g}{\partial x} = g_x$  et  $\frac{\partial g}{\partial y} = g_y$  (indices en bas repèrent la variable de dérivation).

- **Définition 1:**

$\Sigma \subset \mathbb{R}^3$  est appelée une surface **régulière** si

- il existe  $A \subset \mathbb{R}^2$  un ouvert borné et tel que le bord  $\partial A$  soit une courbe simple fermée régulière (par morceaux)
- il existe une fonction :  $\sigma : \bar{A} \rightarrow \mathbb{R}^3$

$$(u, v) \mapsto \sigma(u, v) = (\sigma^1(u, v), \sigma^2(u, v), \sigma^3(u, v))$$

avec les propriétés suivantes :

- $\sigma \in C^1(\bar{A}, \mathbb{R}^3)$ ,  $\sigma(\bar{A}) = \Sigma$  et  $\sigma$  est injective sur  $A$ .
- le vecteur

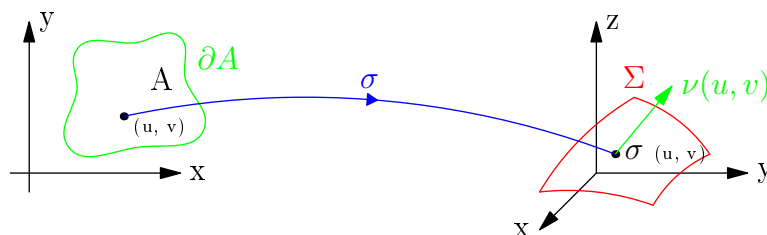
$$\sigma_u \times \sigma_v \stackrel{\text{déf}}{=} \begin{vmatrix} e_1 & e_2 & e_3 \\ \sigma_u^1 & \sigma_u^2 & \sigma_u^3 \\ \sigma_v^1 & \sigma_v^2 & \sigma_v^3 \end{vmatrix} = \begin{pmatrix} \sigma_u^2 \sigma_v^3 - \sigma_u^3 \sigma_v^2 \\ \sigma_u^3 \sigma_v^1 - \sigma_u^1 \sigma_v^3 \\ \sigma_u^1 \sigma_v^2 - \sigma_u^2 \sigma_v^1 \end{pmatrix}$$

est tel que  $\|\sigma_u \times \sigma_v\| \neq 0$  pour tout  $(u, v) \in A$

**Remarque 1 :**  $\sigma$  s'appelle une **paramétrisation régulière** sur  $A$  de la surface  $\Sigma$ .

**Remarque 2 :** le vecteur  $\nu(u, v) = \frac{\sigma_u \times \sigma_v}{\|\sigma_u \times \sigma_v\|}$  s'appelle la **normale unité** à la surface  $\Sigma$  au point  $\sigma(u, v)$ .

**Remarque 3 :** Illustration :



**Remarque 4 :** Analogie avec les courbes dans  $\mathbb{R}^3$  :

| courbe $\Gamma$ (§2.1.1)   | courbe $\Sigma$ (§3.1.1)   |
|--|--|
| $\gamma : [a, b] \subset \mathbb{R} \longrightarrow \Gamma \subset \mathbb{R}^3$ | $\sigma : \overline{A} \longrightarrow \mathbb{R}^2 \longrightarrow \Sigma \subset \mathbb{R}^3$ |
| $t \mapsto \gamma(t)$  | $(u, v) \mapsto \sigma(u, v)$  |
| $\gamma([a, b]) = \Gamma$ et $\gamma$ injective sur $[a, b[$                     | $\sigma(\overline{A}) = \Sigma$ et $\sigma$ injective sur $A$                                    |
| $\ \gamma'(t)\  \neq 0$  | $\ \sigma_u \times \sigma_v\  \neq 0$  |

**Définition 2:**

On dit que  $\Sigma \subset \mathbb{R}^3$  est une surface régulière **par morceaux** s'il existe  $\Sigma_1, \Sigma_2, \dots, \Sigma_k$  des surfaces régulières telles que  $\Sigma = \bigcup_{i=1}^k \Sigma_k$ .

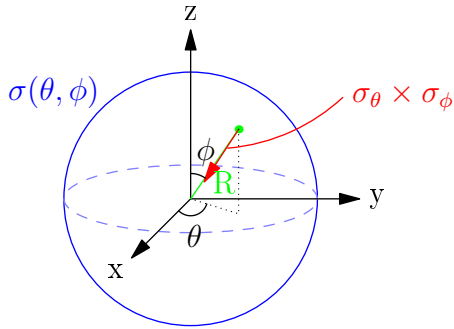
**Définition 3:**

Une surface régulière (par morceaux) est dite **orientable** s'il existe un champ de normales  $\nu : \Sigma \longrightarrow \mathbb{R}^2$  **continu**.

Un tel champ de normales s'appelle une **orientation** de  $\Sigma$ . Une surface orientée par un champ de normales  $\nu$  est notée  $(\Sigma, \nu)$ .

## 3.2 Exemples :

**Exemple 1:**



Sphère (rayon  $R$ )

$$\Sigma = \{(x, y, z) \in \mathbb{R}^3 : x^2 + y^2 + z^2 = R^2\}$$

Paramétrisation : On définit :  $A = ]0, 2\pi[ \times ]0, \pi[$

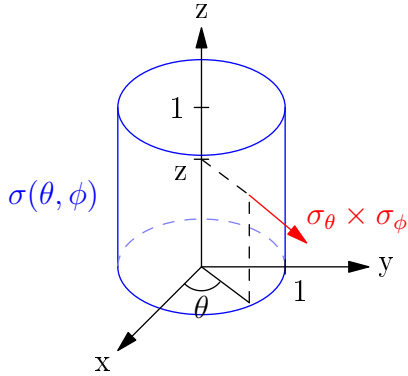
$$\begin{aligned} \sigma : \overline{A} &\longrightarrow \Sigma \\ (\theta, \phi) &\mapsto (\sigma^1(\theta, \phi), \sigma^2(\theta, \phi), \sigma^3(\theta, \phi)) = (R \sin \phi \cos \theta, R \sin \phi \sin \theta, R \cos \phi) \end{aligned}$$

Vecteur normal :

$$\sigma_\theta \times \sigma_\phi \stackrel{\text{déf}}{=} \begin{vmatrix} e_1 & e_2 & e_3 \\ \sigma_\theta^1 & \sigma_\theta^2 & \sigma_\theta^3 \\ \sigma_\phi^1 & \sigma_\phi^2 & \sigma_\phi^3 \end{vmatrix} = \begin{vmatrix} e_1 & e_2 & e_3 \\ -R \sin \phi \sin \theta & R \sin \phi \cos \theta & 0 \\ R \cos \phi \cos \theta & R \cos \phi \sin \theta & -R \sin \phi \end{vmatrix} = \begin{pmatrix} -R^2 \sin^2 \phi \cos \theta \\ -R^2 \sin^2 \phi \sin \theta \\ -R^2 \sin \phi \cos \phi \end{pmatrix}$$

$\sigma_\theta \times \sigma_\phi$  est une normale **intérieure** à la sphère.



**Exemple 2:**Cylindre (rayon base  $R = 1$  et une hauteur  $h = 1$ )

$$\Sigma = \{(x, y, z) \in \mathbb{R}^3 : x^2 + y^2 = 1 \text{ et } 0 \leq z \leq 1\}$$

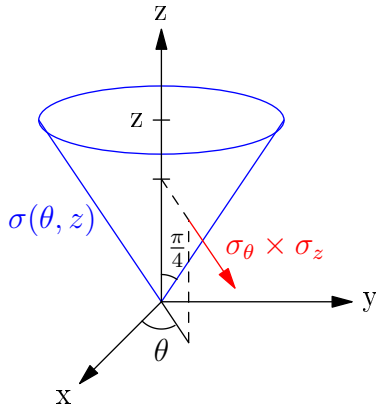
Paramétrisation : On définit :  $A = ]0, 2\pi[ \times ]0, 1[$ 

$$\sigma : \bar{A} \longrightarrow \Sigma$$

$$(\theta, z) \mapsto \sigma(\theta, z) = (\sigma^1(\theta, z), \sigma^2(\theta, z), \sigma^3(\theta, z)) = (\cos \theta, \sin \theta, z)$$

Vecteur normal :

$$\sigma_\theta \times \sigma_z \stackrel{\text{déf}}{=} \begin{vmatrix} e_1 & e_2 & e_3 \\ \sigma_\theta^1 & \sigma_\theta^2 & \sigma_\theta^3 \\ \sigma_z^1 & \sigma_z^2 & \sigma_z^3 \end{vmatrix} = \begin{vmatrix} e_1 & e_2 & e_3 \\ -\sin \theta & \cos \theta & 0 \\ 0 & 0 & 1 \end{vmatrix} = \begin{pmatrix} \cos \theta \\ \sin \theta \\ 0 \end{pmatrix}$$

 $\sigma_\theta \times \sigma_z$  est une normale **extérieure** au cylindre.**Exemple 3:**Cône (angle  $\frac{\pi}{2}$  et la hauteur  $h = 1$ )

$$\Sigma = \{(x, y, z) \in \mathbb{R}^3 : z^2 = x^2 + y^2 \text{ et } 0 \leq z \leq 1\}$$

Paramétrisation : On définit :  $A = ]0, 2\pi[ \times ]0, 1[$ 

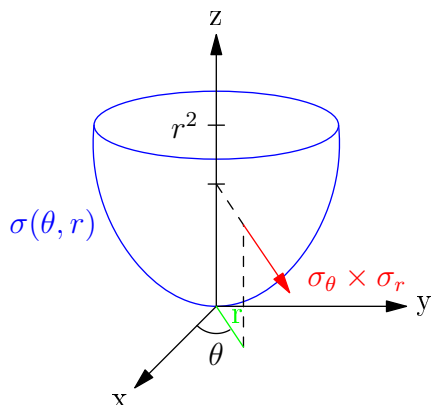
$$\sigma : \bar{A} \longrightarrow \Sigma$$

$$(\theta, z) \mapsto \sigma(\theta, z) = (\sigma^1(\theta, z), \sigma^2(\theta, z), \sigma^3(\theta, z)) = (z \cos \theta, z \sin \theta, z)$$

Vecteur normal :

$$\sigma_\theta \times \sigma_z \stackrel{\text{déf}}{=} \begin{vmatrix} e_1 & e_2 & e_3 \\ \sigma_\theta^1 & \sigma_\theta^2 & \sigma_\theta^3 \\ \sigma_z^1 & \sigma_z^2 & \sigma_z^3 \end{vmatrix} = \begin{vmatrix} e_1 & e_2 & e_3 \\ -z \sin \theta & z \cos \theta & 0 \\ \cos \theta & \sin \theta & 1 \end{vmatrix} = \begin{pmatrix} z \cos \theta \\ z \sin \theta \\ -z \end{pmatrix}$$

 $\sigma_\theta \times \sigma_z$  est une normale **extérieure** au cône.

**Exemple 4:**

Paraboloïde symétrique (hauteur  $h = 1$ )

$$\Sigma = \{(x, y, z) \in \mathbb{R}^3 : z = x^2 + y^2 \text{ et } 0 \leq z \leq 1\}$$

Paramétrisation : On définit :  $A = ]0, 2\pi[ \times ]0, 1[$

$$\sigma : \bar{A} \longrightarrow \Sigma$$

$$(\theta, r) \mapsto (\sigma^1(\theta, r), \sigma^2(\theta, r), \sigma^3(\theta, r)) = (r \cos \theta, r \sin \theta, r^2)$$

Vecteur normal :

$$\sigma_\theta \times \sigma_r \stackrel{\text{d\'ef}}{=} \begin{vmatrix} e_1 & e_2 & e_3 \\ \sigma_\theta^1 & \sigma_\theta^2 & \sigma_\theta^3 \\ \sigma_r^1 & \sigma_r^2 & \sigma_r^3 \end{vmatrix} = \begin{vmatrix} e_1 & e_2 & e_3 \\ -r \sin \theta & r \cos \theta & 0 \\ \cos \theta & \sin \theta & 2r \end{vmatrix} = \begin{pmatrix} 2r^2 \cos \theta \\ 2r^2 \sin \theta \\ -r \end{pmatrix}$$

$\sigma_\theta \times \sigma_r$  est une normale **extérieure** au paraboloïde.

Autre exemple : Tore exercice 2 série 5.

### 3.3 Intégrale de Surface :

**But :**

Définir une intégrale sur une surface  $\Sigma$ .

#### 3.3.1 Intégrale de champs scalaires :

Soit  $\Sigma \subset \mathbb{R}^3$  une surface régulière paramétrée par

$$\sigma : \bar{A} \longrightarrow \Sigma$$

$$(u, v) \mapsto \sigma(u, v)$$

$$\text{et soit } f : \Sigma \longrightarrow \mathbb{R}$$

$$x \mapsto f(x)$$

un champ scalaire **continu**.

**L'intégrale de Surface :**

$$\iint_{\Sigma} f \, ds \stackrel{\text{d\'ef}}{=} \iint_A f(\sigma(u, v)) \|\sigma_u \times \sigma_v\| \, du \, dv$$

**Remarque 1 :** On calcule l'aire de la surface  $\Sigma$  en posant  $f = 1$  (champ scalaire constant égal à 1) :

$$\text{Aire}(\Sigma) = \iint_{\Sigma} ds = \iint_A \underbrace{\|\sigma_u \times \sigma_v\|}_{\text{"élément d'aire"}} \, du \, dv$$

**Remarque 2 :** Par exemple si  $f(x)$  est la densité de masse au point  $x$  alors :

$$\text{masse}(\Sigma) = \iint_{\Sigma} f \, ds$$

**Remarque 3 :** Pour une surface régulière par morceaux  $\Sigma = \bigcup_{i=1}^k \Sigma_i$  on définit :

$$\iint_{\Sigma} f \, ds = \sum_{i=1}^k \iint_{\Sigma_i} f \, ds$$

**Remarque 4 :** Analogie avec l'intégrale curviligne d'un champ scalaire  $g$  le long de  $\Gamma$  (§2.2.1 chapitre 2)

$$\begin{array}{ll} \gamma : [a, b] \longrightarrow \Gamma & \text{et soit} \quad g : \Gamma \longrightarrow \mathbb{R} \\ t \mapsto \gamma(t) & x \mapsto g(x) \end{array}$$

$$\int_{\Gamma} g \, dl \stackrel{\text{déf}}{=} \int_a^b g(\gamma(t)) \|\gamma'(t)\| \, dt$$

### 3.3.2 Exemples :

**Exemple 1:**

Soit

$$\Sigma = \{(x, y, z) \in \mathbb{R}^3 : x^2 + y^2 + z^2 = R^2\}$$

Calculer l'aire de  $\Sigma$

Paramétrisation sphère de rayon  $R$  voir exemple 1 §3.2.1

$$A = ]0, 2\pi[ \times ]0, \pi[ \quad \sigma(\theta, \phi) = (R \sin \phi \cos \theta, R \sin \phi \sin \theta, R \cos \phi)$$

$$\sigma_{\theta} \times \sigma_{\phi} = \begin{pmatrix} -R^2 \sin^2 \phi \cos \theta \\ -R^2 \sin^2 \phi \sin \theta \\ -R^2 \sin \phi \cos \phi \end{pmatrix}$$

$$\begin{aligned} \|\sigma_{\theta} \times \sigma_{\phi}\| &= \sqrt{R^2 \sin^2 \phi \sqrt{R^2 \sin^2 \phi \cos^2 \theta + R^2 \sin^2 \phi \sin^2 \theta + R^2 \cos^2 \phi}} \\ &= R^2 |\sin \phi| = R^2 \sin \phi \quad \text{car } \phi \in [0, \pi] \end{aligned}$$

On a donc :

$$\begin{aligned} \text{Aire}(\Sigma) &= \iint_{\Sigma} ds = \iint_A \|\sigma_{\theta} \times \sigma_{\phi}\| \, d\theta d\phi = R^2 \int_0^{2\pi} d\theta \int_0^{\pi} \sin \phi \, d\phi \\ &= 2\pi R^2 [-\cos \phi]_0^{\pi} = 4\pi R^2 \end{aligned}$$

**Exemple 2:**

Soit

$$\Sigma = \{(x, y, z) \in \mathbb{R}^3 : x^2 + y^2 = 1 \text{ et } 0 \leq z \leq 1\}$$

et le champ scalaire  $f : \Sigma \rightarrow \mathbb{R}$  définit par  $f(x, y, z) = x^2 + y^2 + 2z$

Calculer l'aire de  $\Sigma$

Paramétrisation cylindre voir exemple 2 §3.2.1

$$A = ]0, 2\pi[ \times ]0, 1[ \quad \sigma(\theta, z) = (\cos \theta, \sin \theta, z)$$

$$\sigma_\theta \times \sigma_z = \begin{pmatrix} \cos \theta \\ \sin \theta \\ 0 \end{pmatrix}$$

$$\|\sigma_\theta \times \sigma_z\| = \sqrt{\cos^2 \theta + \sin^2 \theta} = 1$$

On a donc :

$$\begin{aligned} \text{Aire}(\Sigma) &= \iint_{\Sigma} f \, ds = \iint_A f(\sigma(\theta, z)) \|\sigma_\theta \times \sigma_z\| \, d\theta dz = \int_0^{2\pi} d\theta \int_0^1 (\cos^2 \theta + \sin^2 \theta + 2z) \, dz \\ &= 2\pi \int_0^1 (1 + 2z) \, dz = 2\pi [z + z^2]_0^1 = 4\pi \end{aligned}$$

Autres exemples : exercices 1, 2 et 3 série 6.

**3.3.3 Intégrales de champs vectorielles :**

**Définition :** Soit  $\Sigma \subset \mathbb{R}^3$  une surface régulière orientable paramétrée par :

$$\begin{array}{ll} \sigma : \bar{A} \longrightarrow \Sigma & \text{et soit} \quad F : \Sigma \longrightarrow \mathbb{R}^3 \\ (u, v) \mapsto \sigma(u, v) & x \mapsto F(x) \end{array}$$

un champ vectoriel **continu**.

L'intégrale de  $F$  sur  $\Sigma$  dans la direction de  $\sigma_u \times \sigma_v$  est définie par :

**L'intégrale de  $F$  sur  $\Sigma$  :**

$$\iint_{\Sigma} F \cdot ds \stackrel{\text{déf}}{=} \iint_A [F(\sigma(u, v)) \cdot (\sigma_u \times \sigma_v)] \, dudv$$

Avec la **normale unité**  $\nu(u, v) = \frac{\sigma_u \times \sigma_v}{\|\sigma_u \times \sigma_v\|}$  on peut aussi écrire :

**L'intégrale de  $F$  sur  $\Sigma$  :** en passant par la normale

$$\iint_{\Sigma} F \cdot ds \stackrel{\text{déf}}{=} \iint_A [F(\sigma(u, v)) \cdot \nu(u, v)] \|\sigma_u \times \sigma_v\| \, dudv$$

**Attention :** Il faut toujours préciser la direction !

**Remarque 1 :** L'intégrale  $\iint_{\Sigma} F \cdot ds$  s'appelle le **flux** de  $F$  à travers la surface  $\Sigma$  dans la direction de  $\nu$

**Remarque 2 :** Pour une surface régulière orientable par morceaux  $\Sigma = \bigcup_{i=1}^k \Sigma_i$  on définit :

**Surface régulière orientable**

$$\iint_{\Sigma} F \cdot ds \stackrel{\text{déf}}{=} \sum_{i=1}^k \iint_{\Sigma_i} F \cdot ds$$

**Remarque 3 :** Analogie avec l'intégrale curviligne d'un champ vectoriel  $G$  le long de  $\Gamma$  (§2.2.1)

$$\begin{array}{ll} \gamma : & [a, b] \longrightarrow \Gamma \\ & t \mapsto \gamma(t) \end{array} \quad \text{et soit} \quad \begin{array}{ll} G : & \Gamma \longrightarrow \mathbb{R}^3 \\ & x \mapsto G(x) \end{array}$$

**Analogie avec l'Intégrale Curviligne :**

$$\int_{\Gamma} G \cdot dl = \int_a^b [G(\gamma(t)) \cdot \gamma'(t)] dt$$

### 3.3.4 Exemples :

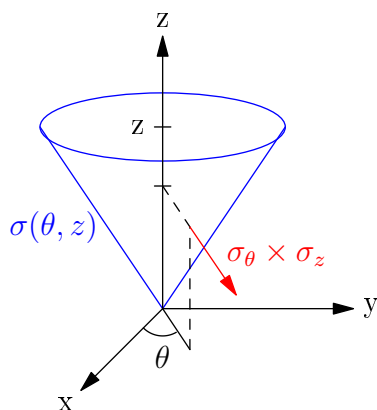
**Exemple 1:**

Soit

$$\Sigma = \{(x, y, z) \in \mathbb{R}^3 : z^2 = x^2 + y^2 \text{ et } 0 \leq z \leq 1\}$$

et le champ vectoriel  $F : \Sigma \longrightarrow \mathbb{R}^3$  défini par  $F(x, y, z) = (y, -x, z^2)$

Calculer le flux de  $F$  à travers  $\Sigma$  dans la direction ascendante.



Paramétrisation cône (exemple 3 §3.1.2)

$$A = ]0, 2\pi[ \times ]0, 1[$$

$$\sigma(\theta, z) = (z \cos \theta, z \sin \theta, z) \text{ et } \sigma_{\theta} \times \sigma_z = \begin{pmatrix} z \cos \theta \\ z \sin \theta \\ -z \end{pmatrix}$$

Comme  $z \in [0, 1]$  et  $-z < 0$ , la normal pointant vers le haut est  $-\sigma_{\theta} \times \sigma_z$ .

On a donc :

$$\begin{aligned}
 \iint_{\Sigma} F \cdot ds &= - \iint_A [F(\sigma(\theta, z)) \cdot (\sigma_{\theta} \times \sigma_z)] d\theta dz \\
 &= - \int_0^{2\pi} \int_0^1 (z^2 \cos \theta \sin \theta - z^2 \cos \theta \sin \theta - z^3) d\theta dz \\
 &= - \int_0^{2\pi} \int_0^1 (z^3) d\theta dz = \frac{\pi}{2}
 \end{aligned}$$

**Citation de M. Cibils:**

*"C'est formidable et non pas fort minable, comme dirait un certain Stromae"*

*Autres exemples : exercices 4 et 5 série 6.*

## 3.4 Théorème de la Divergence :

### 3.4.1 Motivation :

**But**

Généralisation du théorème de la divergence de  $\mathbb{R}^2$  à des domaines de  $\mathbb{R}^3$

**Rappel**

Théorème de la divergence dans  $\mathbb{R}^2$  *exercice 1 série 5 et corollaire du Théorème de Green §2.4.4*

**Théorème de la Divergence :**

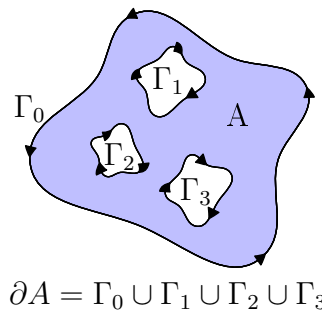
$$\iint_A \operatorname{div} F(x, y) dx dy = \int_{\partial A} (F \cdot \nu) dl$$

Avec :

$A \subset \mathbb{R}^2$  domaine régulier de bord  $\partial A$  orienté positivement.  
 $\nu : \partial A \rightarrow \mathbb{R}^2$  un champ de normales unités extérieures à  $A$ .  
 $F : \overline{A} \rightarrow \mathbb{R}^2$  un champ vectoriel  $\in C^1(\overline{A}, \mathbb{R}^2)$

### Motivation

Obtenir un théorème analogue en remplaçant  $A$  par un domaine de  $\mathbb{R}^3$  et l'intégrale curviligne  $\int_{\partial A}$  par une intégrale de surface.

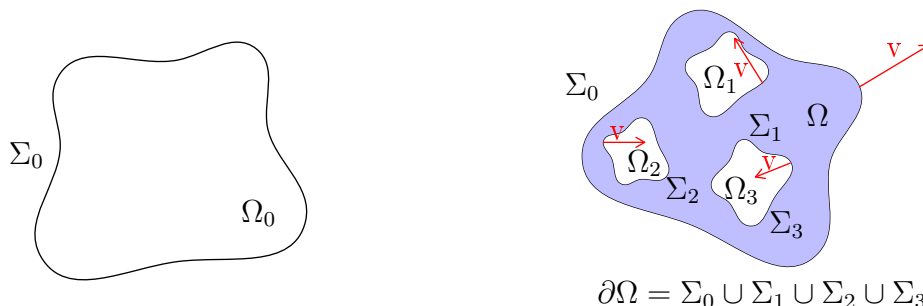


### 3.4.2 Définitions :

**Définition :** On a dit qu'un ouvert borné  $\Omega \subset \mathbb{R}^3$  est un **domaine régulier** s'il existe des ouverts bornés  $\Omega_0, \Omega_1, \dots, \Omega_m \subset \mathbb{R}^3$  tels que :

- $\partial\Omega_j = \Sigma_j$  pour  $j = 0, 1, \dots, m$  sont des surfaces régulières (par morceaux) orientables avec un champ de normales unités.
- $\overline{\Omega}_j \subset \Omega_0 \quad \forall j = 1, 2, \dots, m$
- $\overline{\Omega}_i \cap \overline{\Omega}_j = \emptyset \quad \forall i, j = 1, 2, \dots, m \text{ avec } i \neq j$
- $\Omega = \Omega_0 \setminus \bigcup_{i=1}^m \overline{\Omega}_i$  possède un champ de normales **extérieures**.

Illustration typique :



Champ de normales **extérieures** à  $\Omega$  lorsqu'on considère les surfaces  $\Sigma_1, \Sigma_2, \dots, \Sigma_m$ . Elles sont **intérieures** par rapport aux ouverts  $\Omega_1, \Omega_2, \dots, \Omega_m$ .

### 3.4.3 Énoncé du théorème de la divergence :

#### Théorème de la Divergence :

Soit  $\Omega \subset \mathbb{R}^3$  un domaine régulier et  $\nu : \partial\Omega \rightarrow \mathbb{R}^3$  un champ de normales **unités extérieures** à  $\Omega$  défini par  $\nu = (\nu_1, \nu_2, \nu_3)$ .

Soit  $F : \overline{\Omega} \rightarrow \mathbb{R}^3$  un champ vectoriel tel que  $F \in C^1(\overline{\Omega}, \mathbb{R}^3)$  défini par  $F = (F_1, F_2, F_3)$ . Alors

$$\iiint_{\Omega} \operatorname{div} F(x, y, z) \, dx dy dz = \iint_{\partial\Omega} (F \cdot \nu) \, ds$$

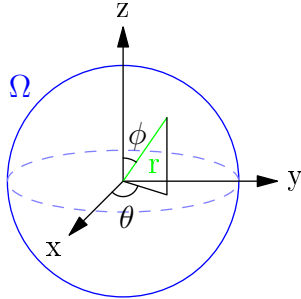
Le théorème de la divergence est la généralisation pour  $\mathbb{R}^3$  du théorème de la divergence dans  $\mathbb{R}^2$  (corollaire du théorème de Green §2.4.4)

#### Explicitement on a :

$$\underbrace{\iiint_{\Omega} \left( \frac{\partial F_1}{\partial x} + \frac{\partial F_2}{\partial y} + \frac{\partial F_3}{\partial z} \right) dx dy dz}_{\text{intégrale triple d'un champ scalaire}} = \underbrace{\iint_{\partial\Omega} (F_1 \nu_1 + F_2 \nu_2 + F_3 \nu_3) ds}_{\text{intégrale de surface d'un champ scalaire}}$$

### 3.4.4 Exemples :

**Exemple 1 :** Vérifier le théorème de la Divergence pour la boule unité.



$$\Omega = \{(x, y, z) \in \mathbb{R}^3 : x^2 + y^2 + z^2 < 1\}$$

et

$$F(x, y, z) = (xy, y, z)$$

- Calcul de  $\iiint_{\Omega} \operatorname{div} F(x, y, z) \, dx dy dz$

On a :

$$\operatorname{div} F(x, y, z) = \frac{\partial}{\partial x}(xy) + \frac{\partial}{\partial y}(y) + \frac{\partial}{\partial z}(z) = y + 1 + 1 = y + 2$$

On calcul en coordonnées sphériques :

$$\begin{aligned} \iiint_{\Omega} \operatorname{div} F(x, y, z) \, dx dy dz &= \int_0^1 \int_0^{2\pi} \int_0^{\pi} (r \sin \phi \sin \theta + 2) \underbrace{r^2 \sin \phi}_{|\text{jacobien}|} \, dr d\theta d\phi \\ &= \int_0^1 r^3 \, dr \underbrace{\int_0^{2\pi} \sin \theta \, d\theta}_{=0} \int_0^{\pi} \sin^2 \phi \, d\phi + 2 \int_0^1 r^2 \, dr \int_0^{2\pi} d\theta \int_0^{\pi} \sin \phi \, d\phi \\ &= 4\pi \frac{1}{3} r^3 \Big|_0^1 - \cos \phi \Big|_0^{\pi} = \frac{4\pi}{3} \cdot 2 = \frac{8\pi}{3} \end{aligned}$$

- Calcul de  $\iint_{\partial\Omega} (F \cdot \nu) \, ds$

$$\partial\Omega = \Sigma = \{(x, y, z) \in \mathbb{R}^3 : x^2 + y^2 + z^2 = 1\} = \text{sphère unité}$$

Paramétrisation :  $\sigma(\theta, \phi) = (\sin \phi \cos \theta, \sin \phi \sin \theta, \cos \phi) \quad A = ]0, 2\pi[ \times ]0, \pi[$

voir exemple §3.1.2

$$\sigma_{\theta} \times \sigma_{\phi} = \begin{pmatrix} -\sin^2 \phi \cos \theta \\ -\sin^2 \phi \sin \theta \\ -\sin \phi \cos \phi \end{pmatrix} \text{ est une normale } \mathbf{intérieure} \text{ à } \Omega$$

Normale **unité extérieure**  $\nu(\theta, \phi) = -\frac{\sigma_{\theta} \times \sigma_{\phi}}{\|\sigma_{\theta} \times \sigma_{\phi}\|}$

$$\Rightarrow \nu(\theta, \phi) \|\sigma_{\theta} \times \sigma_{\phi}\| = -\sigma_{\theta} \times \sigma_{\phi} = \begin{pmatrix} \sin^2 \phi \cos \theta \\ \sin^2 \phi \sin \theta \\ \sin \phi \cos \phi \end{pmatrix}$$



On obtient donc :

$$\begin{aligned}
 \iint_{\partial\Omega} (F \cdot \nu) \, ds &\stackrel{\text{d\'ef}}{=} \iint_A F(\sigma(\theta, \phi)) \cdot \nu(\theta, \phi) \|\sigma_\theta \times \sigma_\phi\| \, d\theta d\phi \\
 &= \int_0^{2\pi} \int_0^\pi (\sin^2 \phi \cos \theta \sin \theta, \sin \phi \sin \theta, \cos \phi) \cdot \begin{pmatrix} \sin^2 \phi \cos \theta \\ \sin^2 \phi \sin \theta \\ \sin \phi \cos \phi \end{pmatrix} d\theta d\phi \\
 &= \int_0^{2\pi} \int_0^\pi [\sin^4 \phi \cos^2 \theta \sin \theta + \sin^3 \phi \sin^2 \theta + \cos^2 \phi \sin \phi] \, d\theta d\phi \\
 &\Rightarrow \int_0^{2\pi} \cos^2 \theta \sin \theta \, d\theta \int_0^\pi \sin^4 \phi \, d\phi + \int_0^{2\pi} \sin^2 \theta \, d\theta \int_0^\pi \sin^3 \phi \, d\phi + \int_0^{2\pi} d\theta \int_0^\pi \cos^2 \phi \sin \phi \, d\phi
 \end{aligned}$$

En calculant séparément, on obtient :

$$\begin{aligned}
 \int_0^{2\pi} \cos^2 \theta \sin \theta \, d\theta &= -\frac{1}{3} \cos^3 \theta \Big|_0^{2\pi} = 0 \\
 \int_0^{2\pi} \sin^2 \theta \, d\theta &= \frac{1}{2} \int_0^{2\pi} (1 - \cos 2\theta) \, d\theta = \pi - \underbrace{\frac{1}{2} \int_0^{2\pi} \cos 2\theta \, d\theta}_{=0} = \pi
 \end{aligned}$$

$$\int_0^{2\pi} d\theta = 2\pi$$

$$\int_0^\pi \sin^3 \phi \, d\phi \stackrel{\text{pp}}{=} -\sin^2 \phi \cos \phi \Big|_0^\pi + 2 \int_0^\pi \sin \phi \cos^2 \phi \, d\phi = -\frac{2}{3} \cos^3 \phi \Big|_0^\pi = \frac{4}{3}$$

en ayant posé :  $f' = \sin \phi \longrightarrow f = -\cos \phi$        $g = \sin^2 \phi \longrightarrow g' = 2 \cos \phi \sin \phi$

$$\int_0^\pi \sin \phi \cos^2 \phi \, d\phi = -\frac{1}{3} \cos^3 \phi \Big|_0^\pi = \frac{2}{3}$$

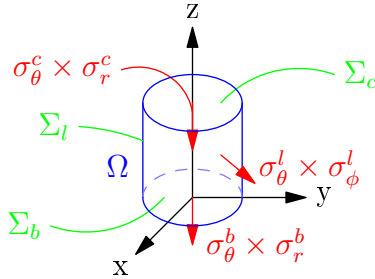
$$\Rightarrow \iint_{\partial\Omega} (F \cdot \nu) \, ds = 0 + \phi \cdot \frac{4}{3} + 2\phi \cdot \frac{2}{3} = \frac{4\pi}{3} + \frac{4\pi}{3} = \frac{8\pi}{3}$$

**Citation de M. Cibils:**

*"Tous les chemins mènent à Rome, à condition de prendre la bonne direction".*

**Exemple 2:** Vérifier le théorème de la Divergence pour

$$\Omega = \{(x, y, z) \in \mathbb{R}^3 : x^2 + y^2 < 1, 0 < z < 1\} \quad \text{et} \quad F(x, y, z) = (x^2, 0, z^2)$$



$$\begin{aligned} \Sigma_b &= \{(x, y, z) \in \mathbb{R}^3 : x^2 + y^2 < 1 \quad \text{et} \quad z = 0\} \\ \Sigma_c &= \{(x, y, z) \in \mathbb{R}^3 : x^2 + y^2 < 1 \quad \text{et} \quad z = 1\} \\ \Sigma_l &= \{(x, y, z) \in \mathbb{R}^3 : x^2 + y^2 = 1 \quad \text{et} \quad 0 \leq z \leq 1\} \end{aligned}$$

$$\partial\Omega = \Sigma_b \cup \Sigma_c \cup \Sigma_l$$

- Calcul de  $\iiint_{\Omega} \operatorname{div} F(x, y, z) \, dx dy dz$

$$\text{On a } \operatorname{div} F(x, y, z) = \frac{\partial}{\partial x}(x^2) + \frac{\partial}{\partial y}(0) + \frac{\partial}{\partial z}(z^2) = 2x + 2z$$

On calcul en coordonnées cylindriques :

$$\begin{aligned} \iiint_{\Omega} (2x + 2z) \, dx dy dz &= \int_0^1 \int_0^{2\pi} \int_0^1 (2r \cos \theta + 2z) \underbrace{r}_{|\text{jacobien}|} \, dr d\theta dz \\ &= 2 \underbrace{\int_0^{2\pi} \cos \theta \, d\theta}_{=0} \int_0^1 r^2 \, dr \int_0^1 dz + 2 \int_0^{2\pi} d\theta \int_0^1 r \, dr \int_0^1 z \, dz \\ &= 2 \cdot 2\pi \cdot \frac{1}{2} r^2 \Big|_0^1 \cdot \frac{1}{2} z^2 \Big|_0^1 = 4\pi \cdot \frac{1}{2} \cdot \frac{1}{2} = \pi \end{aligned}$$

- Calcul de  $\iint_{\partial\Omega} (F \cdot \nu) \, ds = \iint_{\Sigma_b} (F \cdot \nu) \, ds + \iint_{\Sigma_c} (F \cdot \nu) \, ds + \iint_{\Sigma_l} (F \cdot \nu) \, ds$

1. Paramétrisation de  $\Sigma_b$  :  $\sigma^b(\theta, r) = (r \cos \theta, r \sin \theta, 0) \quad A_b = ]0, 2\pi[ \times ]0, 1[$

$$\sigma_{\theta}^b \times \sigma_r^b = \begin{vmatrix} e_1 & e_2 & e_3 \\ -r \sin \theta & r \cos \theta & 0 \\ \cos \theta & \sin \theta & 0 \end{vmatrix} = \begin{pmatrix} 0 \\ 0 \\ -r \end{pmatrix} \text{ est une normale } \mathbf{extérieure} \text{ à } \Omega$$

Normale **unité extérieure** à  $\Omega$  :  $\nu^b(\theta, r) = \frac{\sigma_{\theta}^b \times \sigma_r^b}{\|\sigma_{\theta}^b \times \sigma_r^b\|}$

$$\Rightarrow \nu^b(\theta, r) \|\sigma_{\theta}^b \times \sigma_r^b\| = \sigma_{\theta}^b \times \sigma_r^b = \begin{pmatrix} 0 \\ 0 \\ -r \end{pmatrix}$$

On a donc

$$\begin{aligned} \iint_{\Sigma_b} (F \cdot \nu) \, ds &\stackrel{\text{déf}}{=} \iint_{A_b} F(\sigma^b(\theta, r)) \cdot \nu^b(\theta, r) \|\sigma_{\theta}^b \times \sigma_r^b\| \, d\theta dr \\ &= \int_0^{2\pi} \int_0^1 (r^2 \cos^2 \theta, 0, 0) \cdot (0, 0, -r) \, d\theta dr \\ &= \int_0^{2\pi} \int_0^1 0 \, d\theta dr = 0 \end{aligned}$$

2. Paramétrisation de  $\Sigma_c$  :  $\sigma^c(\theta, r) = (r \cos \theta, r \sin \theta, 1)$   $A_c = ]0, 2\pi[ \times ]0, 1[$

$$\sigma_\theta^c \times \sigma_r^c = \begin{vmatrix} e_1 & e_2 & e_3 \\ -r \sin \theta & r \cos \theta & 0 \\ \cos \theta & \sin \theta & 0 \end{vmatrix} = \begin{pmatrix} 0 \\ 0 \\ -r \end{pmatrix} \text{ est une normale } \mathbf{intérieure} \text{ à } \Omega$$

Normale **unité extérieure** à  $\Omega$  :  $\nu^c(\theta, r) = -\frac{\sigma_\theta^c \times \sigma_r^c}{\|\sigma_\theta^c \times \sigma_r^c\|}$

$$\Rightarrow \nu^c(\theta, r) \|\sigma_\theta^c \times \sigma_r^c\| = -\sigma_\theta^c \times \sigma_r^c = \begin{pmatrix} 0 \\ 0 \\ r \end{pmatrix}$$

On a donc

$$\begin{aligned} \iint_{\Sigma_c} (F \cdot \nu) \, ds &\stackrel{\text{d\'ef}}{=} \iint_{A_c} F(\sigma^c(\theta, r)) \cdot \nu^c(\theta, r) \|\sigma_\theta^c \times \sigma_r^c\| \, d\theta dr \\ &= - \iint_{A_c} F(\sigma^c(\theta, r)) \cdot \sigma_\theta^c \times \sigma_r^c \, d\theta dr = \int_0^{2\pi} \int_0^1 (r^2 \cos^2 \theta, 0, 1) \cdot (0, 0, r) \, d\theta dr \\ &= \int_0^{2\pi} d\theta \int_0^1 r \, dr = 2\pi \left[ \frac{1}{2} r^2 \right]_0^1 = 2\pi \cdot \frac{1}{2} = \pi \end{aligned}$$

3. Paramétrisation de  $\Sigma_l$  :  $\sigma^l(\theta, z) = (\cos \theta, \sin \theta, z)$   $A_l = ]0, 2\pi[ \times ]0, 1[$   
exemple 2 §3.1.2

$$\sigma_\theta^l \times \sigma_z^l = \begin{vmatrix} e_1 & e_2 & e_3 \\ -\sin \theta & \cos \theta & 1 \\ \cos \theta & \sin \theta & 1 \end{vmatrix} = \begin{pmatrix} \cos \theta \\ \sin \theta \\ 0 \end{pmatrix} \text{ est une normale } \mathbf{extérieure} \text{ à } \Omega$$

$$\text{Normale } \mathbf{unité extérieure} \text{ à } \Omega : \nu^l(\theta, z) = \frac{\sigma_\theta^l \times \sigma_z^l}{\|\sigma_\theta^l \times \sigma_z^l\|} = \begin{pmatrix} \cos \theta \\ \sin \theta \\ 0 \end{pmatrix}$$

$$\Rightarrow \|\sigma_\theta^l \times \sigma_z^l\| = 1$$

On a donc

$$\begin{aligned} \iint_{\Sigma_l} (F \cdot \nu) \, ds &\stackrel{\text{d\'ef}}{=} \iint_{A_l} F(\sigma^l(\theta, z)) \cdot \nu^l(\theta, z) \|\sigma_\theta^l \times \sigma_z^l\| \, d\theta dz \\ &= \int_0^{2\pi} \int_0^1 (\cos^2 \theta, 0, z^2) \cdot (\cos \theta, \sin \theta, 0) \, d\theta dz \\ &= \int_0^{2\pi} \cos^3 \theta \, d\theta \int_0^1 dz \\ &\stackrel{\text{pp}}{=} \underbrace{\sin \theta \cos^2 \theta \Big|_0^{2\pi}}_{=0} + 2 \int_0^{2\pi} \cos \theta \sin^2 \theta \, d\theta = \frac{2}{3} \sin^3 \theta \Big|_0^{2\pi} = 0 \end{aligned}$$

$$\text{en posant } f' = \cos \theta \longrightarrow f = \sin \theta \quad g = \cos^2 \theta \longrightarrow g' = -2 \cos \theta \sin \theta$$

Finalement, on obtient :

$$\iint_{\partial\Omega} (F \cdot \nu) ds = 0 + \pi + 0 = \pi$$

- *Autres exemples : exercices 1, 2, 3 et 4 série 7*

### 3.5 Théorème de Stokes :

#### 3.5.1 Motivations :

But :

Généralisation du Théorème de Green pour des champs vectoriels à valeurs dans  $\mathbb{R}^3$ .

Rappel : (*chapitre 2 § 2.4.2*)

**Théorème de Green :**

Soit  $B \subset \mathbb{R}^2$  un domaine **régulier** dont le bord est **orienté positivement**.  
Soit

$$G : \bar{B} \longrightarrow \mathbb{R}^2 \\ (x, y) \mapsto G(x, y)$$

un champ vectoriel tel que  $G \in C^1(\bar{B}, \mathbb{R}^2)$ .

Alors

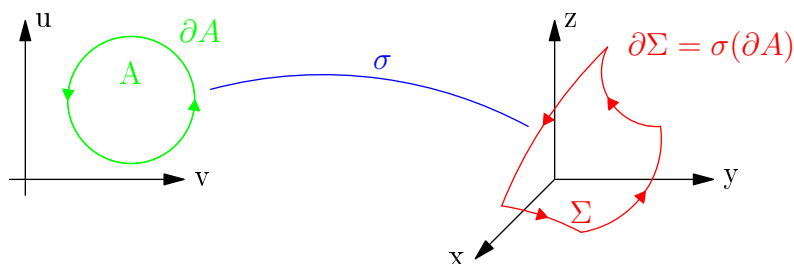
$$\underbrace{\iint_B \operatorname{rot} G(x, y) \, dxdy}_{\text{intégrale double d'un champ scalaire}} = \underbrace{\int_{\partial B} G \cdot dl}_{\text{intégrale curviligne d'un champ vectoriel}}$$

**Motivation :**

Obtenir un théorème analogue en remplaçant  $B$  par une surface  $\Sigma$  dans  $\mathbb{R}^3$  et  $G$  par un champ  $F : \Sigma \longrightarrow \mathbb{R}^3$ .

#### 3.5.2 Détermination du bord d'une surface et de son sens de parcours

1. Si  $\Sigma \subset \mathbb{R}^3$  est une surface régulière et  $\sigma : \bar{A} \longrightarrow \Sigma$  est une paramétrisation de  $\Sigma$  alors le bord de  $\Sigma$  (noté  $\partial\Sigma$ ) est donné par  $\partial\Sigma = \sigma(\partial A)$  et il est indépendant du choix de la paramétrisation.
2. Le sens du parcours de  $\partial\Sigma$  induit par la paramétrisation  $\Sigma$  est celui obtenu en parcourant  $\partial A$  dans le sens positif.



3. Si  $\partial A$  est une courbe simple fermée régulière par morceaux alors  $\sigma(\partial A) = \Gamma_1 \cup \Gamma_2 \cup \dots \cup \Gamma_m$  et pour obtenir le bord de  $\Sigma$  on procède de la façon suivante :

On supprime de  $\sigma(\partial A)$  les courbes  $\Gamma_i$  qui se réduisent à un point et celles qui sont parcourues deux fois (une fois dans un sens et une fois dans l'autre).

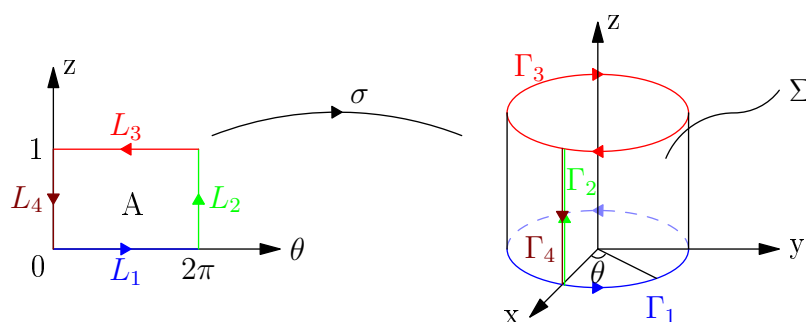
Ce qui reste après avoir appliqué ce procédé **est le bord de  $\Sigma$**  désigné par  $\partial\Sigma$ .

### Exemple 1:

$$\text{Cylindre : } \Sigma = \{(x, y, z) \in \mathbb{R}^3 : x^2 + y^2 = 1, 0 \leq z \leq 1\}$$

Paramétrisation :

$$\Sigma = \{(\theta, z) = (\cos \theta, \sin \theta, z), (\theta, z) \in \bar{A}\} \quad \text{avec} \quad A = ]0, 2\pi[ \times ]0, 1[$$



On a

$$\begin{aligned} \sigma(\partial A) &= \sigma(L_1 \cup L_2 \cup L_3 \cup L_4) \\ &= \sigma(L_1) \cup \sigma(L_2) \cup \sigma(L_3) \cup \sigma(L_4) \\ &= \Gamma_1 \cup \Gamma_2 \cup \Gamma_3 \cup \Gamma_4 \end{aligned}$$

Déterminons les différents bords du cylindre :

$$\Gamma_1 = \{\gamma_1(\theta) = \sigma(\theta, 0) = (\cos \theta, \sin \theta, 0) \text{ avec } \theta : 0 \longrightarrow 2\pi\}$$

cercle parcouru dans le sens **positif**

$$\Gamma_2 = \{\gamma_2(z) = \sigma(2\pi, z) = (1, 0, z) \text{ avec } z : 0 \longrightarrow 1\}$$

droite parcourue vers le **haut**

$$\Gamma_3 = \{\gamma_3(\theta) = \sigma(\theta, 1) = (\cos \theta, \sin \theta, 1) \text{ avec } \theta : 2\pi \longrightarrow 0\}$$

cercle parcouru dans le sens **négatif**

$$\Gamma_4 = \{\gamma_4(z) = \sigma(\theta, z) = (1, 0, z) \text{ avec } z : 1 \longrightarrow 0\}$$

droite  $\Gamma_2$  parcourue vers le **bas**

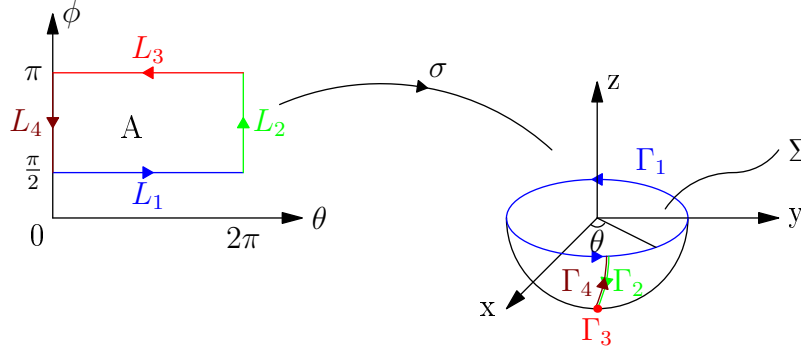
En appliquant le procédé on élimine  $\Gamma_2$  et  $\Gamma_4$  de  $\sigma(\partial A)$  et on obtient  $\partial\Sigma = \Gamma_1 \cup \Gamma_3$  avec  $\Gamma_1$  orienté positivement et  $\Gamma_3$  orienté négativement.

**Exemple 2:**

Demi-sphère inférieure :  $\Sigma = \{(x, y, z) \in \mathbb{R}^3 : x^2 + y^2 + z^2 = 1 \text{ et } z \leq 0\}$

Paramétrisation :

$$\Sigma = \{\sigma(\theta, \phi) = (\sin \phi \cos \theta, \sin \phi \sin \theta, \cos \phi) : (\theta, \phi) \in \overline{A}\} \quad \text{avec} \quad A = ]0, 2\pi[ \times ]\frac{\pi}{2}, \pi[$$



On a

$$\sigma(\partial A) = \Gamma_1 \cup \Gamma_2 \cup \Gamma_3 \cup \Gamma_4$$

où

$$\Gamma_i = \sigma(L_i) \text{ pour } i = 1, 2, 3, 4$$

On détermine tous les bords du domaine :

$$\Gamma_1 = \left\{ \gamma_1(\theta) = \sigma\left(\theta, \frac{\pi}{2}\right) = (\cos \theta, \sin \theta, 0) \text{ avec } \theta : 0 \longrightarrow 2\pi \right\}$$

qui est un cercle parcouru dans le sens **positif**

$$\Gamma_2 = \left\{ \gamma_2(\phi) = \sigma(2\pi, \phi) = (\sin \phi, 0, \cos \phi) \text{ avec } \phi : \frac{\pi}{2} \longrightarrow \pi \right\}$$

qui est un demi-arc passant par le pôle sud parcouru vers le **bas**

$$\Gamma_3 = \{\gamma_3(\theta) = \sigma(\theta, \pi) = (0, 0, -1) \text{ avec } \theta : 2\pi \longrightarrow 0\}$$

qui est un seul point : pôle sud

$$\Gamma_4 = \left\{ \gamma_4(\phi) = \sigma(0, \phi) = (\sin \phi, 0, \cos \phi) \text{ avec } \phi : \pi \longrightarrow \frac{\pi}{2} \right\}$$

qui est un demi-arc  $\Gamma_2$  parcouru vers le **haut**

**Citation de M. Cibils:**

*"Avec un plaisir non dissimulé, on enlève tout. C'est la description délicieuse d'un bord."*

Procédé  $\implies$  on élimine  $\Gamma_2, \Gamma_3$  et  $\Gamma_4$  de  $\sigma(\partial A)$  et on obtient :

$$\partial \Sigma = \Gamma_1 \quad \text{orienté positivement}$$

Citation de M. Cibils:

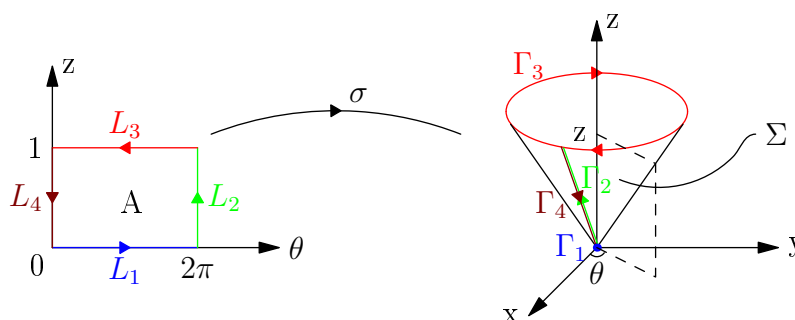
"Les nons scientifiques comprennent pas ça, mais la sphère n'a pas de bord."

Exemple 3:

$$\text{Cône : } \Sigma = \{(x, y, z) \in \mathbb{R}^3 : x^2 + y^2 = z^2 \text{ et } 0 \leq z \leq 1\}$$

Paramétrisation :

$$\Sigma = \{\sigma(\theta, z) = (z \cos \theta, z \sin \theta, z) : (\theta, z) \in \overline{A}\} \quad \text{avec} \quad A = ]0, 2\pi[ \times ]0, 1[$$



On a

$$\sigma(\partial A) = \Gamma_1 \cup \Gamma_2 \cup \Gamma_3 \cup \Gamma_4$$

où

$$\Gamma_i = \sigma(L_i) \text{ pour } i = 1, 2, 3, 4$$

Les différents bord du domaine sont :

- $\Gamma_1$  : un seul point : l'origine
- $\Gamma_2$  : droite sur le cône dans le plan  $(x, z)$  parcouru vers le haut
- $\Gamma_3$  : cercle parcouru dans le sens négatif
- $\Gamma_4$  : droite  $\Gamma_2$  parcourue vers le bas

Procédé  $\implies$  éliminer  $\Gamma_1, \Gamma_2$  et  $\Gamma_4$  et on obtient  $\partial \Sigma = \Gamma_3$  qui est orienté **négativement**.

Citation de M. Cibils:

"Et on passe au théorème de Stokes, deuxième moment solennel de ce cours."

### 3.5.3 Énoncé du Théorème de Stokes :

**Théorème de Stokes :**

Soit  $\Sigma \subset \mathbb{R}^3$  une surface régulière par morceaux et orientable.

Soit  $F : \Sigma \longrightarrow \mathbb{R}^3$  un champ vectoriel tel que  $F \in C^1(\Sigma, \mathbb{R}^3)$ .

Alors

$$\underbrace{\iint_{\Sigma} \text{rot} F \cdot ds}_{\text{intégrale de surface d'un champ vectoriel dans } \mathbb{R}^3} = \underbrace{\int_{\partial \Sigma} F \cdot dl}_{\text{intégrale curviligne d'un champ vectoriel dans } \mathbb{R}^3}$$

**Remarque 1 :** Une fois choisie, la paramétrisation :  $\sigma : \overline{A} \longrightarrow \Sigma$   
 $(u, v) \mapsto \sigma(u, v)$

On considère  $\sigma_u \times \sigma_v$  comme normale dans l'intégrale de surface. C'est-à-dire :

$$\iint_{\Sigma} \operatorname{rot} F \cdot ds \stackrel{\text{déf}}{=} \iint_A [\operatorname{rot} F(\sigma(u, v)) \cdot (\sigma_u \times \sigma_v)] \, dudv$$

**Remarque 2 :** Le sens de parcours de  $\partial\Sigma$  dans l'intégrale curviligne est celui induit par la paramétrisation  $\sigma$  (c'est-à-dire celui obtenu en parcourant  $\partial A$  positivement).

*Conseil :* Pour simplifier, tenir compte des notations canoniques pour l'ordre

*exemple :*  $drd\theta \, dz \implies \sigma_r \times \sigma_\theta$

**Citation de M. Cibils:**

*"Et je vous le recommande, dans la vie c'est toujours plus facile de prendre les choses positivement que négativement."*

**Exemple 1 :** Vérifier le Théorème de Stokes pour

$$\Sigma = \{(x, y, z) \in \mathbb{R}^3 : x^2 + y^2 = z^2 \text{ et } 0 \leq z \leq 1\} \quad \text{et} \quad F(x, y, z) = (z, x, y)$$

• Calcul de  $\iint_{\Sigma} \operatorname{rot} F \cdot ds$   $\operatorname{rot} F = \begin{pmatrix} 1 \\ 1 \\ 1 \end{pmatrix}$

Paramétrisation de  $\Sigma$  :  $\sigma(\theta, z) = (z \cos \theta, z \sin \theta, z)$  et  $A = ]0, 2\pi[ \times ]0, 1[$

Normale

$$\sigma_\theta \times \sigma_z = \begin{pmatrix} z \cos \theta \\ z \sin \theta \\ -z \end{pmatrix}$$

$$\begin{aligned} \implies \iint_{\Sigma} \operatorname{rot} F \cdot ds &= \iint_A [\operatorname{rot} F(\sigma(\theta, z)) \cdot \sigma_\theta \times \sigma_z] \, d\theta dz \\ &= \int_0^{2\pi} \int_0^1 (z \cos \theta + z \sin \theta - z) \, d\theta dz \\ &= \int_0^1 z \, dz \left[ \underbrace{\int_0^{2\pi} \cos \theta \, d\theta}_{=0} + \underbrace{\int_0^{2\pi} \sin \theta \, d\theta}_{=0} - \int_0^{2\pi} d\theta \right] = -2\pi \left. \frac{1}{2} z^2 \right|_0^1 = -\pi \end{aligned}$$

**Citation de M. Cibils:**

*"Moi j'ai une manie, j'aime bien intégrer entre 0 et  $2\pi$ . Encore une fois, celui qui tient le stylo décide !"*



- Calcul de  $\int_{\Sigma} F \cdot ds$

Bord du cône :  $\Sigma = \{\gamma(\theta) = (\cos \theta, \sin \theta, 1) \text{ avec } \theta : 0 \longrightarrow 2\pi\}$  est orienté **négativement**.

Alors

$$\gamma'(\theta) = (-\sin \theta, \cos \theta, 0)$$

$$\begin{aligned} \int_{\partial \Sigma} F \cdot dl &= - \int_0^{2\pi} F(\gamma(\theta)) \cdot \gamma'(\theta) d\theta = - \int_0^{2\pi} (1, \cos \theta, \sin \theta) \cdot (-\sin \theta, \cos \theta, 0) d\theta \\ &= - \int_0^{2\pi} (-\sin \theta + \cos^2 \theta) d\theta = \underbrace{\int_0^{2\pi} \sin \theta d\theta}_{=0} - \int_0^{2\pi} \cos^2 \theta d\theta \\ &= -\frac{1}{2} \int_0^{2\pi} (1 + \cos 2\theta) d\theta = -\frac{1}{2} \left[ 2\pi + \underbrace{\frac{1}{2} \sin 2\theta}_{=0} \right]_0^{2\pi} = -\pi \end{aligned}$$

**Citation de M. Cibils:**

*"Je ressort l'étendard de la réussite."*

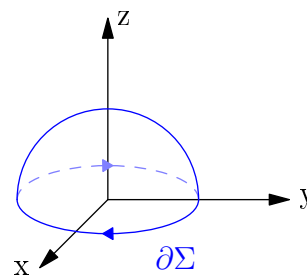
*Autres exemples série 8*

**Exemple 2:** Vérifier le Théorème de Stokes pour la demi sphère supérieure

$$\Sigma = \{(x, y, z) \in \mathbb{R}^3 : x^2 + y^2 + z^2 = 1 \text{ et } z \geq 1\} \quad \text{et} \quad F(x, y, z) = (z, x, y^2)$$

- Calcul de  $\int_{\partial \Sigma} F \cdot dl$

$$\partial \Sigma = \{\gamma(\theta) = (\cos \theta, \sin \theta, 0) \text{ avec } \theta : 2\pi \longrightarrow 0\}$$



Ce qui nous donne le bord de la demi-sphère supérieure orienté **négativement**.

$$\begin{aligned} \int_{\partial \Sigma} &\stackrel{\text{déf}}{=} - \int_0^{2\pi} F(\gamma(\theta)) \cdot \gamma'(\theta) d\theta = - \int_0^{2\pi} (0, \cos \theta, \sin^2 \theta) \cdot (-\sin \theta, \cos \theta, 0) d\theta \\ &= -\frac{1}{2} 2\pi - \frac{1}{2} \underbrace{\int_0^{2\pi} \cos 2\theta d\theta}_{=0} = -\pi \end{aligned}$$

**Citation de M. Cibils:**

*"Je mets ma main au feu que le résultat est le même. A moins que vous ne changiez la paramétrisation, auquel cas je me brûle."*

• Calcul de  $\iint_{\Sigma} \operatorname{rot} F \cdot ds$

$$\operatorname{rot} F = \begin{pmatrix} 2y \\ 1 \\ 1 \end{pmatrix}$$

Paramétrisation de  $\Sigma$  :  $\sigma(\theta, \phi) = (\cos \theta \sin \phi, \sin \theta \sin \phi, \cos \phi)$  et  $A = ]0, 2\pi[ \times ]0, \frac{\pi}{2}[$

Normale

$$\sigma_{\theta} \times \sigma_{\phi} = \begin{pmatrix} -\cos \theta \sin^2 \phi \\ -\sin^2 \phi \sin \theta \\ -\sin \phi \cos \phi \end{pmatrix}$$

$$\begin{aligned} \Rightarrow \iint_{\Sigma} \operatorname{rot} F \cdot ds &= \iint_A [\operatorname{rot} F(\sigma(\theta, \phi)) \cdot \sigma_{\theta} \times \sigma_{\phi}] \, d\theta d\phi \\ &= \int_0^{\pi/2} \int_0^{2\pi} (-2 \sin^3 \phi \sin \theta \cos \theta - \sin^2 \phi \sin \theta - \sin \phi \cos \phi) \, d\theta d\phi \\ &= \int_0^{\pi/2} \left[ \frac{1}{2} \sin^3 \phi \cos 2\theta + \sin^2 \phi \cos \theta - \sin \phi \cos \phi \theta \right]_0^{2\pi} d\phi \\ &= 2\pi \int_0^{\pi/2} (-\sin \phi \cos \phi) \, d\phi = \left[ \frac{1}{2} \pi \cos 2\phi \right]_0^{\pi/2} = -\pi \end{aligned}$$

Deuxième partie

Analyse Complexe



## Chapitre 4

# Fonctions holomorphe et équations de Cauchy-Riemann :

### 4.1 Introduction :

#### 4.1.1 Motivation :

**But**

Étendre l'étude des fonctions réelles *du type*  $f : \mathbb{R} \longrightarrow \mathbb{R}$  à des fonctions qui dépendent **d'une** variable complexe à valeur complexe *du type*  $f : \mathbb{C} \longrightarrow \mathbb{C}$ .

**Rôle**

Établir les notions de limites, continuité, dérivabilité et intégrabilité dans  $\mathbb{C}$ .

**Intérêt**

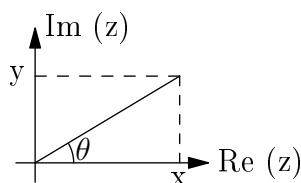
Fournir des méthodes pour calculer **facilement** des intégrales **réelles** compliquées.

**Citation de M. Cibils:**

*"La plus grande frustration des mathématiciens est de voir une fonction réelle continue et de savoir qu'il existe une primitive, qui les regarde, sans pour autant réussir à la calculer. C'est grâce à l'analyse complexe qu'on va pouvoir conquérir ce nouveau monde."*

#### 4.1.2 Rappels sur les nombres complexes :

- $\mathbb{C}$  désigne l'ensemble des nombres complexes.
- $z \in \mathbb{C} z = x + iy$  avec  $x = \operatorname{Re}(z) \in \mathbb{R}, y = \operatorname{Im}(z) \in \mathbb{R}$  et  $i^2 = -1$
- $\mathbb{C}^* = \mathbb{C} \setminus 0$  où  $0 = 0 + i0$
- Conjugué complexe :  $\bar{z} = x - iy$
- Module de  $z \in \mathbb{C} : |z| = \sqrt{x^2 + y^2} \in \mathbb{R}_+$
- Représentation polaire de  $z \in \mathbb{C}^* \quad z = |z|e^{i\theta} = |z|(\cos \theta + i \sin \theta).$



$\theta$  est appelé **l'argument** de  $z$  et noté  $\arg z$ .  
L'argument est défini à  $2k\pi$  près avec  $k \in \mathbb{Z}$ .

**Convention :** pour  $z \in \mathbb{C}^*$   $\arg z$  est l'unique angle  $\theta \in [0, 2\pi[$  tel que  $\frac{z}{|z|} = \cos \theta + i \sin \theta$

## 4.2 Fonctions complexes :

### 4.2.1 Définition :

Une fonction **d'une** variable complexe à valeur dans  $\mathbb{C}$  s'écrit

$$f : \mathbb{C} \longrightarrow \mathbb{C}$$

$$z = x + iy \mapsto f(z) = u(x, y) + iv(x, y)$$

où

$$u : \mathbb{R}^2 \longrightarrow \mathbb{R} \qquad v : \mathbb{R}^2 \longrightarrow \mathbb{R}$$

$$(x, y) \mapsto u(x, y) \qquad (x, y) \mapsto v(x, y)$$

sont deux fonctions à **valeur réelles** qui s'appellent respectivement la partie réelle de  $f$  *on note*  $u = \operatorname{Re}(f)$  et la partie imaginaire de  $f$  *on note*  $v = \operatorname{Im}(f)$ .

**Remarque :** Les variables  $x \in \mathbb{R}$  et  $y \in \mathbb{R}$  des fonctions  $u$  et  $v$  **sont** les parties réelles et imaginaires de la variable  $z \in \mathbb{C}$  de la fonction  $f$ .

### 4.2.2 Exemples :

**Exemple 1:**

$$f : \mathbb{C} \longrightarrow \mathbb{C}$$

$$z = x + iy \mapsto f(z) = \bar{z} = x - iy$$

On a  $u(x, y) = x$  et  $v(x, y) = -y$

**Exemple 2:**

$$f : \mathbb{C} \longrightarrow \mathbb{C}$$

$$z = x + iy \mapsto f(z) = z^2 = (x + iy)^2 = x^2 - y^2 + 2ixy$$

On a  $u(x, y) = x^2 - y^2$  et  $v(x, y) = 2xy$

**Exemple 3:**

$$f : \mathbb{C} \longrightarrow \mathbb{C}$$

$$z = x + iy \mapsto f(z) = \frac{1}{z} = \frac{1}{x+iy} = \frac{x-iy}{(x+iy)(x-iy)} = \frac{x-iy}{x^2+y^2}$$

On a  $u(x, y) = \frac{x}{x^2+y^2}$  et  $v(x, y) = -\frac{y}{x^2+y^2}$

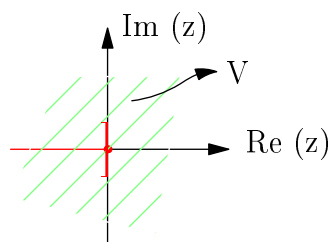
**Exemple 4:** Pour  $z = x + iy \in \mathbb{C}$  la **fonction exponentielle** est définie par :

$$e^z = e^{x+iy} = e^x e^{iy} = e^x (\cos y + i \sin y) \in \mathbb{C}^*$$

On a  $u(x, y) = e^x \cos y$  et  $v(x, y) = e^x \sin y$

**Remarque :** Contrairement au cas réel,  $e^z$  n'est pas bijective sur  $\mathbb{C}$  car  $e^{z+2ik\pi} = e^z \forall k \in \mathbb{Z}$  *exercice 1 série 9.*

**Exemple 5:** Soit  $V = \mathbb{C} \setminus ]-\infty, 0] = \mathbb{C} \setminus \{z \in \mathbb{C} : \operatorname{Im}(z) = 0 \text{ et } \operatorname{Re}(z) \leq 0\}$



Pour  $x \in V$  la **fonction logarithme** est définie par  $\log z = \ln|z| + i\arg(z)$  avec la convention de choisir  $\arg(z) \in ]-\pi, \pi[$ .

En écrivant  $z = x + iy$  on a  $u(x, y) = \ln|z| = \ln\sqrt{x^2 + y^2}$  et  $v(x, y) = \arg(z)$

**Remarque :** Les choix de l'ensemble  $V$  et de l'intervalle  $] -\pi, \pi[$  garantissent la continuité et la bijectivité de  $\log(z)$ . Cette fonction ainsi définie s'appelle "*la détermination principale du logarithme*".

#### Exemple 6:

Pour  $z \in \mathbb{C}$  les fonctions trigonométriques et hyperboliques sont définies par :

$$\begin{aligned}\cos z &= \frac{e^{iz} + e^{-iz}}{2} & \sin z &= \frac{e^{iz} - e^{-iz}}{2i} \\ \cosh z &= \frac{e^z + e^{-z}}{2} & \sinh z &= \frac{e^z - e^{-z}}{2}\end{aligned}$$

exercice 2 série 9

### 4.3 Limites, continuité et dérivabilité :

#### 4.3.1 Définitions :

- Les notions de topologie *ouvert, fermé etc...* de limite, de continuité et de dérivabilité sont analogue à celles de l'analyse réelle.
- En particulier  $f$  est dérivable en  $z_0 \in \mathbb{C}$  si  $\lim_{z \rightarrow z_0} \frac{f(z) - f(z_0)}{z - z_0}$  existe et est finie. La limite est appelée la dérivée de  $f$  en  $z_0$  et notée  $f'(z_0)$ . Les règles de dérivation établies dans  $\mathbb{R}$  sont valables dans  $\mathbb{C}$ .
- Étant donné un ouvert  $V \subset \mathbb{C}$  on dit que la fonction  $f : V \rightarrow \mathbb{C}$  est **holomorphe** ou **analogue complexe** dans  $V$  si  $f$  est **définie et dérivable**  $\forall z \in \mathbb{C}$ .

#### 4.3.2 Équations de Cauchy-Riemann :

**Remarque : abus de notation :**

Étant donné un ouvert  $V \subset \mathbb{C}$ , on l'identifie souvent au sous-ensemble correspondant de  $\mathbb{R}^2$ . C'est-à-dire qu'on écrira  $\underbrace{z}_{\in \mathbb{C}} = x + iy \in V$  où  $\underbrace{(x, y)}_{\in \mathbb{R}^2} \in V$  de façon équivalente.

Citation de M. Cibils:

"On peut se permettre de faire des bêtises à condition d'avoir conscience qu'on en fait."

**Théorème :** Soit  $V \subset \mathbb{C}$  un ouvert et soit une fonction

$$\begin{aligned}f : V &\rightarrow \mathbb{C} \\ z = x + iy &\mapsto f(z) = u(x, y) + iv(x, y)\end{aligned}$$

où

$$\begin{aligned}u : V &\rightarrow \mathbb{R} & v : V &\rightarrow \mathbb{R} \\ (x, y) &\mapsto u(x, y) = \operatorname{Re}(f(x + iy)) & (x, y) &\mapsto v(x, y) = \operatorname{Im}(f(x + iy))\end{aligned}$$

Sont respectivement les parties réelles et imaginaires de  $f$ . Alors les deux affirmations suivantes sont équivalentes :

1.  $f$  est holomorphe dans  $V$
2. les fonctions  $u, v \in C^1(V)$  et satisfont les équations de Cauchy-Riemann donnés par :

$$\frac{\partial u}{\partial x}(x, y) = \frac{\partial v}{\partial y}(x, y) \quad \text{et} \quad \frac{\partial u}{\partial y}(x, y) = -\frac{\partial v}{\partial x}(x, y)$$

pour tout  $(x, y) \in V$

En particulier, si  $f$  est holomorphe dans  $V$ , alors on a :

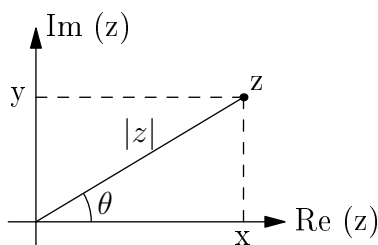
$$f'(z) = \frac{\partial u}{\partial x}(x, y) + i \frac{\partial v}{\partial x}(x, y) = \frac{\partial v}{\partial y}(x, y) - i \frac{\partial u}{\partial y}(x, y) \quad (4.1)$$

pour tout  $z = x + iy \in V$

**Remarque 1 : Utilité du Théorème :** donne une condition nécessaire et suffisante pour qu'une fonction soit holomorphe dans un ouvert  $V$ . Il faut et il suffit que les équations de Cauchy-Riemann pour  $u = \operatorname{Re}(f) \in C^1$  et  $v = \operatorname{Im}(f) \in C^1$  soient satisfaites dans  $V$ .

**Remarque 2 :** On écrit souvent  $u_x = \frac{\partial u}{\partial x}$  et  $u_y = \frac{\partial u}{\partial y}$ ;  $v_x = \frac{\partial v}{\partial x}$  et  $v_y = \frac{\partial v}{\partial y}$ .  
Les équations de Cauchy-Riemann sont :  $u_x = v_y$  et  $u_y = -v_x$ .

**Remarque 3 :** Les équations de Cauchy-Riemann et la formule 4.1 donnant  $f'(z)$  se démontrent avec l'hypothèse :



$$f \text{ holomorphe dans } V \implies f'(z_0) = \lim_{z \rightarrow z_0} \frac{f(z) - f(z_0)}{z - z_0}$$

existent pour tout  $z_0 \in V$

### 4.3.3 Exemples :

**Exemple 1 :**  $f(z) = z^2$  définie pour  $z = x + iy \in \mathbb{C}$

$$\begin{aligned} f(z) &= (x + iy)^2 = x^2 - y^2 + i2xy \implies u(x, y) = x^2 - y^2 \text{ et } v(x, y) = 2xy \\ u_x(x, y) &= 2x & u_y(x, y) &= -2y \\ v_x(x, y) &= 2y & v_y(x, y) &= 2x \implies u_x = v_y & u_y &= -v_x \end{aligned}$$

Cauchy-Riemann est satisfaite  $\implies f$  holomorphe dans  $\mathbb{C}$

$$f'(z) = u_x(x, y) + iv_x(x, y) = 2x + i2y = 2(x + iy) = 2z$$

**Exemple 2 :**  $f(z) = \bar{z}$  définie pour  $z = x + iy \in \mathbb{C}$

$$\begin{aligned} f(z) &= \overline{(x + iy)} = x - iy \implies u(x, y) = x \text{ et } v(x, y) = -y \\ u_x(x, y) &= 1 & u_y(x, y) &= 0 \\ v_x(x, y) &= 0 & v_y(x, y) &= -1 \implies u_x \neq v_y & u_y &= v_x \end{aligned}$$

Cauchy-Riemann n'est pas satisfaite  $\implies f$  n'est pas holomorphe dans  $\mathbb{C}$

**Exemple 3 :**  $f(z) = e^z$  définie pour  $z = x + iy \in \mathbb{C}$

$$\begin{aligned} f(z) &= e^{x+iy} = e^x \cos y + ie^x \sin y \implies u(x, y) = e^x \cos y \text{ et } v(x, y) = e^x \sin y \\ u_x(x, y) &= e^x \cos y & u_y(x, y) &= -e^x \sin y \\ v_x(x, y) &= e^x \sin y & v_y(x, y) &= e^x \cos y \implies u_x = v_y & u_y &= -v_x \end{aligned}$$



Cauchy-Riemann est satisfaite  $\implies e^z$  est holomorphe dans  $\mathbb{C}$

$$f'(z) = u_x(x + y) + iv(x, y) = e^x \cos y + ie^x \sin y = e^x(\cos y + i \sin y) = e^z$$

**Exemple 4:**  $f(z) = \log(z) = \ln|z| + i\arg(z)$  définie pour  $z = x + iy \in \mathbb{C}$

On montre que  $\log(z)$  est holomorphe dans

$$V = \mathbb{C} \setminus ]-\infty, 0] = \{z \in \mathbb{C} : \operatorname{Im}(z) = 0 \text{ et } \operatorname{Re}(z) \leq 0\}$$

De plus, on a :

$$f'(z) = \frac{1}{z} \quad \forall z \in V$$

*Autres exemples : ex 2 à 5 série 9*



## Chapitre 5

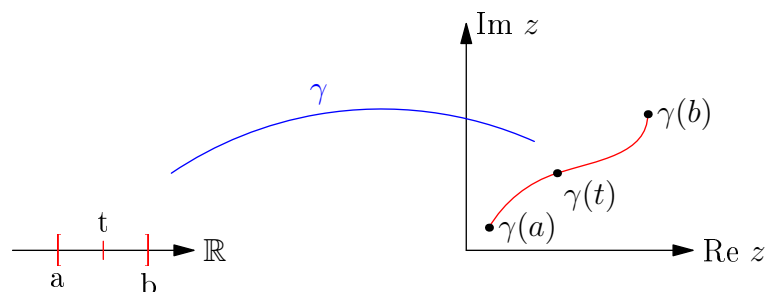
# Théorème et formule intégrale de Cauchy

### 5.1 Intégration complexe :

#### 5.1.1 Notations et définitions :

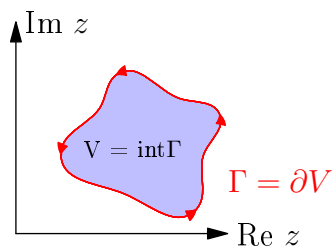
- On note  $\Gamma \subset \mathbb{C}$  une courbe simple régulière (par morceaux) du plan complexe et

$$\begin{aligned} \gamma : [a, b] &\longrightarrow \Gamma \subset \mathbb{C} \\ t \in \mathbb{R} &\mapsto \gamma(t) \in \mathbb{C} \end{aligned}$$



En analyse complexe, par abus de langage et de notation, on identifie souvent la courbe  $\Gamma$  et sa paramétrisation. On dit "soit  $\gamma$  une courbe ..." au lieu de dire "soit  $\Gamma$  une courbe...".

- Si  $\Gamma \subset \mathbb{C}$  est une courbe simple **fermée** régulière (par morceau) de paramétrisation  $\gamma$ , on note  $\text{int } \Gamma$  (ou aussi  $\text{int } \gamma$ ) l'ensemble ouvert borné  $V \subset \mathbb{C}$  dont le bord est  $\Gamma$  (c-à-d  $\partial V = \Gamma$ ).



$\gamma$  est orientée positivement si le sens de son parcours laisse  $\text{int } \gamma$  à gauche.

- Soit  $\Gamma \subset \mathbb{C}$  une courbe simple régulière de paramétrisation

$$\begin{aligned} \gamma : [a, b] &\longrightarrow \Gamma \\ t &\mapsto \gamma(t) \end{aligned}$$

et soit

$$\begin{aligned} f : \Gamma &\longrightarrow \mathbb{C} \\ z &\mapsto f(z) \end{aligned}$$

L'intégrale de  $f$  le long de  $\Gamma$  est définie par

**Intégrale de  $f$  le long de  $\Gamma$  :**

$$\int_{\Gamma} f(z) dz = \int_{\gamma} f(z) dz \stackrel{\text{déf}}{=} \int_a^b f(\gamma(t)) \gamma'(t) dt$$

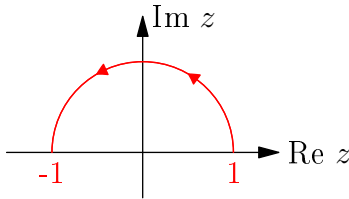
*où le fait de remplacer  $\Gamma$  par  $\gamma$  est un abus de notation.*

- Si  $\Gamma = \bigcup_{k=1}^n \Gamma_k$  est simple régulière (par morceaux), alors

$$\int_{\Gamma} f(z) dz = \sum_{k=1}^m \int_{\Gamma_k} f(z) dz$$

### 5.1.2 Exemples

**Exemple 1 :** Calculer  $\int_{\gamma} f(z) dz$  pour  $f(z) = z^2$  et  $\gamma$  : demi-cercle supérieur de rayon 1 centré à l'origine.



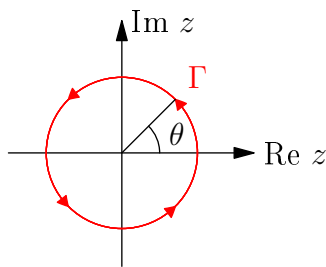
$$\gamma : [0, \pi] \longrightarrow \mathbb{C}$$

$$\theta \mapsto \gamma(\theta) = e^{i\theta} = \cos \theta + i \sin \theta$$

$$\gamma'(\theta) = -\sin \theta + i \cos \theta = i(\cos \theta + i \sin \theta) = ie^{\theta}$$

$$\begin{aligned} \int_{\gamma} f(z) dz &= \int_0^{\pi} f(\gamma(\theta)) \gamma'(\theta) d\theta = \int_0^{\pi} (e^{i\theta})^2 ie^{i\theta} d\theta \\ &= i \int_0^{\pi} e^{3i\theta} d\theta = \frac{1}{3} e^{3i\theta} \Big|_0^{\pi} = \frac{1}{3} [e^{3i\pi} - 1] = \frac{1}{3} (-1 - 1) = -\frac{2}{3} \end{aligned}$$

**Exemple 2 :** Calculer  $\int_{\gamma} f(z) dz$  pour  $f(z) = \frac{1}{z}$  et  $\gamma$  le cercle de rayon 1 centré à l'origine



$$\gamma : [0, 2\pi] \longrightarrow \mathbb{C}$$

$$\theta \mapsto \gamma(\theta) = e^{i\theta}$$

$$\gamma'(\theta) = ie^{i\theta}$$

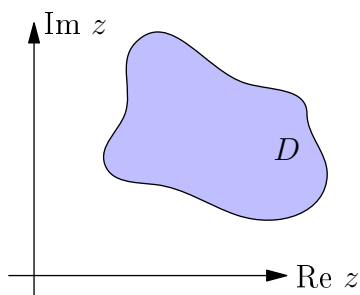
$$\int_{\gamma} f(z) dz = \int_0^{2\pi} f(\gamma(\theta)) \gamma'(\theta) d\theta = \int_0^{2\pi} \frac{1}{e^{i\theta}} ie^{i\theta} d\theta = 2\pi i$$

## 5.2 Théorème de Cauchy

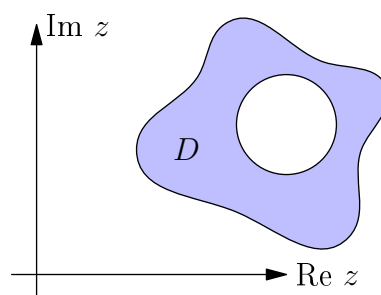
### 5.2.1 Énoncé du théorème de Cauchy :

- **Terminologie :**

On appelle **domaine simplement connexe** un ensemble ouvert  $D \subset \mathbb{C}$  qui "n'a pas de trous".



Simply connected



Not simply connected

**Théorème de Cauchy :** Soit  $D$  un domaine simplement connexe,

$$\begin{aligned} f: D &\longrightarrow \mathbb{C} \\ z &\mapsto f(z) \end{aligned}$$

une fonction **holomorphe** dans  $D$  et  $\gamma$  une courbe simple **fermée** régulière (par morceaux) telle que  $\gamma \subset D$  (c-à-d :  $\gamma$  contenue dans  $D$ ) alors :

$$\int_{\gamma} f(z) dz = 0$$

### 5.2.2 Exemples :

**Exemple 1 :**  $D = \mathbb{C}$ ,  $f(z) = z^2$  holomorphe dans  $\mathbb{C}$  et  $\gamma$  une courbe simple **fermée** régulière par morceaux quelconque dans  $\mathbb{C}$  donc

$$\text{Théorème de Cauchy} \implies \int_{\gamma} z^2 dz = 0$$

Par exemple, si  $\gamma(\theta) = e^{i\theta}$  avec  $\theta \in [0, 2\pi]$  (cercle unité centré à l'origine) on a bien

$$\begin{aligned} \int_{\gamma} z^2 dz &= \int_0^{2\pi} (e^{i\theta})^2 d\theta = i \int_0^{2\pi} e^{2i\theta} d\theta = \frac{1}{3} e^{3i\theta} \Big|_0^{2\pi} \\ &= \frac{1}{3} [e^{6i\pi} - 1] = \frac{1}{3} (1 - 1) = 0 \end{aligned}$$

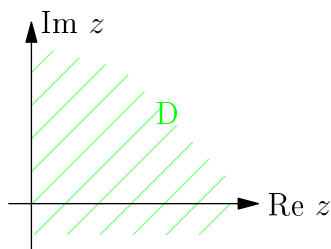
**Exemple 2:**

$$f(z) = \frac{1}{z}$$

a)  $D = \mathbb{C}$  Le théorème ne s'applique pas car  $f$  n'est pas holomorphe en  $z = 0$ .

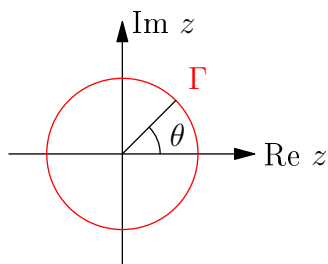
b)  $D = \mathbb{C}^*$  Le théorème ne s'applique pas car  $D$  n'est pas simplement connexe.

c)  $D = \{z \in \mathbb{C} : \operatorname{Re} z > 0\}$



Le théorème s'applique car  $D$  est simplement connexe et  $f(z) = \frac{1}{z}$  est holomorphe sur  $D$ .

Théorème de Cauchy  $\Rightarrow \int_{\gamma} \frac{1}{z} dz = 0$  où  $\gamma \subset D$  et (par exemple) le cercle unité centré en  $z = 2$



**Vérification**

$$\begin{aligned} \gamma(\theta) &= 2 + e^{i\theta} \\ \gamma'(\theta) &= ie^{i\theta} \quad \text{avec } \theta \in [0, 2\pi] \end{aligned}$$

$$\begin{aligned} \int_{\gamma} \frac{1}{z} dz &= \int_0^{2\pi} \frac{1}{2 + e^{i\theta}} ie^{i\theta} d\theta = \log(2 + e^{i\theta}) \Big|_0^{2\pi} \\ &= \log(2 + e^{2i\pi}) - \log(2 + e^{i0}) = \log 3 - \log 3 = 0 \end{aligned}$$

## 5.3 Formule intégrale de Cauchy

### 5.3.1 Énoncé

**Formule intégrale de Cauchy :** Soit  $D \subset \mathbb{C}$  simplement connexe,  $f : D \rightarrow \mathbb{C}$  une fonction holomorphe dans  $D$  et  $\gamma \subset D$  une courbe simple fermée régulière (par morceaux) orientée positivement. Alors

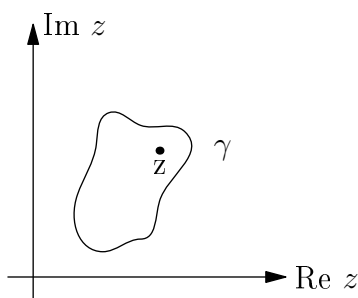
$$f(z) = \frac{1}{2\pi i} \int_{\gamma} \frac{f(\xi)}{\xi - z} d\xi \quad \forall z \in \operatorname{int} \gamma$$

**Citation de M. Cibils:**

*"Le xi grecque c'est un serpent qui se tortille. Voilà la formule de l'intégrale de Cauchy... Je vous laisse l'apprécier."*

**Illustration**

$D \subset \mathbb{C}$



Si  $f$  est holomorphe dans  $\mathbb{C}$ , la valeur de la fonction  $f$  en un point  $z \in \mathbb{C}$  s'obtient en intégrant  $\frac{f(\xi)}{\xi - z}$  le long de n'importe quelle courbe fermée *orientée positivement* telle que  $z \in \operatorname{int} \gamma$ .

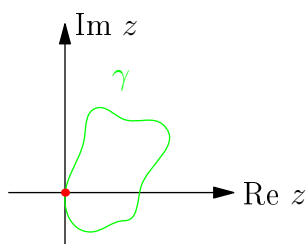
### 5.3.2 Exemples d'utilisations :

**Exemple 1:** Soit  $\gamma$  une courbe simple fermée régulière (par morceaux). Discuter en fonction de  $\gamma$  la valeur de l'intégrale

$$\int_{\gamma} \frac{\cos 2z}{z} dz$$

**Remarque :** la fonction  $g(z) = \frac{\cos 2z}{z}$  n'est pas définie en  $z = 0 \implies$  distinction de plusieurs cas.

1.  $0 \in \gamma$



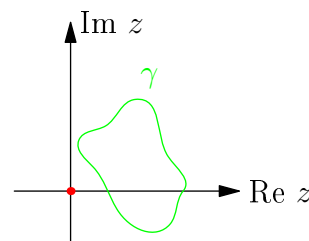
L'intégrale n'est pas définie puisque  $g(z) = \frac{\cos 2z}{z}$  possède une singularité en  $z = 0$ .

#### Citation de M. Cibils:

*"Quand je vois une singularité, je pose le stylo et je m'éloigne. Je ne touche pas à ça."*

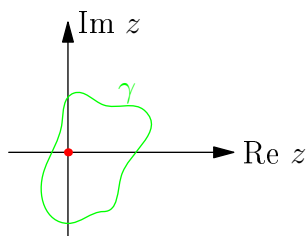
2.  $0 \notin \text{int}\gamma$

La fonction  $g(z) = \frac{\cos 2z}{z}$  est holomorphe dans un domaine simplement connexe  $\tilde{D}$  telle que  $\overline{\text{int}\gamma} \subset \tilde{D}$ .



Comme  $\gamma \subset \overline{\text{int}\gamma}$  alors le théorème de Cauchy s'applique à  $g$  (§5.2.1) et on obtient  $\int_{\gamma} \frac{\cos 2z}{z} dz = 0$  pour tous  $\gamma$  de ce type.

3.  $0 \in \text{int}\gamma$



La fonction  $f(\xi) = \cos 2\xi$  est holomorphe dans  $\mathbb{C}$ . Comme  $\gamma \subset \mathbb{C}$  en lui appliquant la formule de Cauchy (§5.3.1) pour  $z = 0$  (et  $D = \mathbb{C}$ ).

On trouve

$$\begin{aligned} f(0) &= \frac{1}{2\pi i} \int_{\gamma} \frac{\cos 2\xi}{\xi - 0} d\xi = \frac{1}{2\pi i} \int_{\gamma} \frac{\cos 2\xi}{\xi} d\xi \\ &\implies \int_{\gamma} \frac{\cos 2\xi}{\xi} d\xi = 2\pi i f(0) = 2\pi i \end{aligned}$$

pour toute courbe  $\gamma$  orientée positivement de ce type.

**Avantage :** Pour le cercle unité centré à l'origine  $\gamma(\theta) = e^{i\theta}$  avec  $\theta = [0, 2\pi]$  exemple de courbe du 3<sup>e</sup> cas le calcul direct de l'intégrale serait :

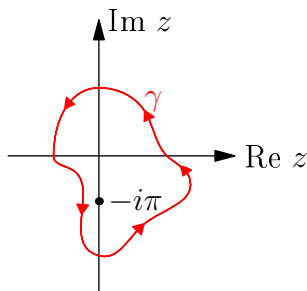
$$\int_{\gamma} \frac{\cos 2z}{2} dz = \int_0^{2\pi} \frac{\cos(2e^{i\theta})}{e^{i\theta}} d\theta = i \int_0^{2\pi} \cos(2e^{i\theta}) d\theta \quad \text{Laborieux, voir impossible à faire}$$

**Exemple 2 :** Soit  $\gamma$  une courbe simple fermée régulière (par morceaux). Calculer en fonction de  $\gamma$  l'intégrale

$$\int_{\gamma} \frac{e^{z^2}}{z + i\pi} dz$$

La fonction  $g(z) = \frac{e^{z^2}}{z + i\pi}$  n'est pas définie en  $z = -i\pi$

1.  $-i\pi \in \gamma$  : L'intégrale n'est pas définie car  $g(z) = \frac{e^{z^2}}{z + i\pi}$  possède une singularité en  $z = -i\pi \in \gamma$
2.  $-i\pi \notin \overline{\text{int}\gamma}$  La fonction  $g(z) = \frac{e^{z^2}}{z + i\pi}$  est holomorphe dans un domaine simplement connexe  $D$  tel que  $D \subset \overline{\text{int}\gamma}$ . Comme  $\gamma \subset \overline{\text{int}\gamma} \subset D$  alors le Théorème de Cauchy s'applique à  $g$  et on trouve  $\int_{\gamma} \frac{e^{z^2}}{z + i\pi} dz = 0$  pour tous  $\gamma$  de ce type.
3.  $-i\pi \in \text{int}\gamma$  La fonction  $f(\xi) = e^{\xi^2}$  est holomorphe dans  $\mathbb{C}$ . Comme  $\gamma \subset \mathbb{C}$  en lui appliquant la formule de Cauchy pour  $z = -i\pi$  et  $D = \mathbb{C}$ , on trouve :



$$\begin{aligned} f(-i\pi) &= \frac{1}{2i\pi} \int_{\gamma} \frac{e^{\xi^2}}{\xi + i\pi} d\xi \\ \Rightarrow \int_{\gamma} \frac{e^{\xi^2}}{\xi + i\pi} d\xi &= 2i\pi f(-i\pi) = 2i\pi e^{(i\pi)^2} = 2i\pi e^{-\pi^2} \end{aligned}$$

Conclusion

$$\int_{\gamma} \frac{e^{z^2}}{z + i\pi} dz = 2i\pi e^{-\pi^2}$$

Pour toute courbe  $\gamma$  orientée positivement de ce type.

Autres exemples exercices 2, 3 et 4 série 10

### 5.3.3 Corollaire de la formule intégrale de Cauchy :

**Énoncé :**

**Corollaire de la formule intégrale de Cauchy :** Avec les mêmes hypothèses :

Soit  $D \subset \mathbb{C}$  simplement connexe,  $f : D \rightarrow \mathbb{C}$  une fonction holomorphe dans  $D$  et  $\gamma \subset D$  une courbe simple fermée régulière (par morceaux) orientée positivement.

On a :

1.  $f$  est infiniment dérivable dans  $D$ .
- 2.

$$f^{(n)}(z) = \frac{n!}{2\pi i} \int_{\gamma} \frac{f(\xi)}{(\xi - z)^{n+1}} d\xi \quad \forall n \in \mathbb{N} \text{ et } \forall z \in \text{int}\gamma$$



**Remarque 1 :** Pour  $n = 0$  le corollaire redonne la formule intégrale de Cauchy.

$$f(z) = f^{(0)}(z) = \frac{0!}{2\pi i} \int_{\gamma} \frac{f(\xi)}{\xi - z} d\xi \quad (0! = 1)$$

**Citation de M. Cibils:**

*"C'est vraiment remarquable. Dans votre langage, je dirais : C'est un truc de ouf!"*

**Remarque 2 : Résultat remarquable :**

Le corollaire affirme qu'une fonction holomorphe sur  $D$  est en fait infiniment dérivable et que sa  $n$ -ième dérivée s'obtient en dérivant  $n$  fois par rapport à  $z$  sous l'intégrale de la formule de Cauchy.

En effet :

$$f^{(1)}(z) = \frac{1}{2\pi i} \int_{\gamma} f(\xi) \left[ \frac{f(\xi)}{\xi - z} \right]' d\xi = \frac{1}{2\pi i} \int_{\gamma} \frac{f(\xi)}{(\xi - z)^2} d\xi$$

$$f^{(2)}(z) = \frac{1}{2\pi i} \int_{\gamma} f(\xi) \left[ \frac{f(\xi)}{(\xi - z)^2} \right]' d\xi = \frac{2}{2\pi i} \int_{\gamma} \frac{f(\xi)}{(\xi - z)^3} d\xi$$

$$f^{(3)}(z) = \frac{2}{2\pi i} \int_{\gamma} f(\xi) \left[ \frac{f(\xi)}{(\xi - z)^3} \right]' d\xi = \frac{2 \cdot 3}{2\pi i} \int_{\gamma} \frac{f(\xi)}{(\xi - z)^4} d\xi$$

$$f^{(4)}(z) = \frac{2 \cdot 3}{2\pi i} \int_{\gamma} f(\xi) \left[ \frac{f(\xi)}{(\xi - z)^4} \right]' d\xi = \frac{2 \cdot 3 \cdot 4}{2\pi i} \int_{\gamma} \frac{f(\xi)}{(\xi - z)^5} d\xi$$

$\vdots$

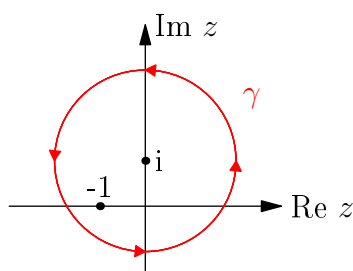
Récurrence : 
$$f^{(n)}(z) = \frac{n!}{2\pi i} \int_{\gamma} \frac{f(\xi)}{(\xi - z)^{n+1}} d\xi$$

### 5.3.4 Exemple d'utilisation :

**Exemple 1:** Calculer  $\int_{\gamma} \frac{ze^{3z+5}}{(z+1)^3} dz$  où  $\gamma = \{z \in \mathbb{C} : |z - i| = 2\}$

**Remarque 1 :** La fonction  $g(z) = \frac{ze^{3z+5}}{(z+1)^3}$  n'est pas définie en  $z = -1$

**Remarque 2 :**  $\gamma$  est le cercle de rayon 2 centré en  $z_0 = i$ .



On considère  $\gamma$  orienté positivement et la fonction  $f(\xi) = \xi e^{3\xi+5}$  qui est holomorphe dans  $\mathbb{C}$ .

*Une fonction est holomorphe lorsqu'elle est une combinaison linéaire, un produit ou une puissance de fonctions élémentaires holomorphes.*

En appliquant à  $f$  le corollaire de la formule de Cauchy pour  $z = -1$  et  $d = \mathbb{C}$ , on obtient

$$f''(-1) = \frac{2!}{2\pi i} \int_{\gamma} \frac{\xi e^{3\xi+5}}{(\xi + 1)^3} d\xi \implies \frac{\xi e^{3\xi+5}}{(\xi + 1)^3} d\xi = \pi i f''(-1)$$

Mais

$$\begin{aligned}f'(\xi) &= (\xi e^{3\xi+5})' = e^{3\xi+5} + 3\xi e^{3\xi+5} \\f''(\xi) &= 3e^{3\xi+5} + 3e^{3\xi+5} + 9\xi e^{3\xi+5} \implies f''(-1) = -3e^2\end{aligned}$$

Donc

$$\int_{\gamma} \frac{ze^{3z+5}}{(z+1)^3} dz = -3\pi ie^2$$

*Autres exemples exercices 1 à 4 série 11*

## Chapitre 6

# Série de Laurent, pôles et résidus

### 6.1 Polynôme et série de Taylor d'une fonction holomorphe :

#### 6.1.1 Définitions et résultats :

**Hypothèse :**

soit un ouvert  $D \subset \mathbb{C}$   $f : D \longrightarrow \mathbb{C}$  une fonction holomorphe dans  $D$  et  $z_0 \in D$ .  
 $z \mapsto f(z)$

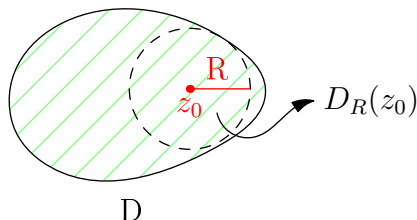
**Définition :** pour  $n \in \mathbb{N}$ , le polynôme de Taylor de  $f$  de degré  $N$  au voisinage de  $z_0$

**Polynôme de Taylor de  $f$  de degré  $N$  au voisinage  $z_0$  :**

$$T_N f(z) = \sum_{n=0}^N \frac{f^{(n)}(z_0)}{n!} (z - z_0)^n$$

**Résultat :** séries de Taylor

Soit  $R > 0$  et  $D_R(z_0) = \{z \in \mathbb{C} : |z - z_0| < R\}$  le plus grand disque de rayon  $R$  centré en  $z_0$  et contenu dans  $D$



**Convention**

Si  $D = \mathbb{C} \longrightarrow R = +\infty$  et  $D_R(z_0) = \mathbb{C}$

**Série de Taylor :**

$$Tf(z) = \lim_{N \rightarrow \infty} T_N f(z) = \sum_{n=0}^{\infty} \frac{f^{(n)}(z_0)}{n!} (z - z_0)^n$$

Existe et est finie pour tout  $z \in D_R(z_0)$ . L'expression  $Tf(z)$  s'appelle la **série de Taylor** de  $f$  au voisinage de  $z_0$

De plus, on a  $f(z) = Tf(z) \forall z \in D_R(z_0)$  et  $R$  s'appelle le **rayon de convergence** de la série de Taylor.

**Coefficients de la série de Taylor :** Les **coefficients** de la série de Taylor sont reliés à la formule de Cauchy par le corollaire.

$$\frac{f^{(n)}(z_0)}{n!} = \frac{1}{2\pi i} \int_{\gamma} \frac{f(\xi)}{(\xi - z_0)^{n+1}} d\xi$$

où  $\gamma \subset D_R(z_0)$  est une courbe simple fermée régulière (par morceaux) orientée positivement telle que  $z_0 \in \text{int } \gamma$

**Citation de M. Cibils:**

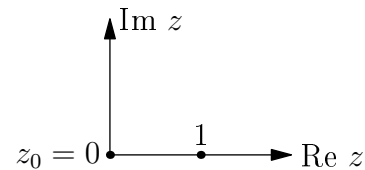
*"J'ai lu vos commentaires sur le cours et j'ai été touché, mais... je les dédie à l'Analyse, c'est elle qui est responsable de tous ça."*

### 6.1.2 Exemples :

**Exemple 1:**  $f(z) = e^z$  est holomorphe dans  $\mathbb{C}$ . On a  $f^{(n)}(z) = e^z$  et  $f^{(n)}(0) = 1 \ \forall n \in \mathbb{N}$ . Donc

$$e^z = \sum_{n=0}^{\infty} \frac{z^n}{n!} \quad \forall z \in \mathbb{C}$$

**Exemple 2:**  $f(z) = \frac{1}{1-z}$  est holomorphe dans  $\mathbb{C} \setminus \{1\}$ .



Le plus grand disque centré en  $z_0 = 0$  et contenu dans  $D$  est  $D_1(0) = \{z \in \mathbb{C} : |z| < 1\}$ . On a

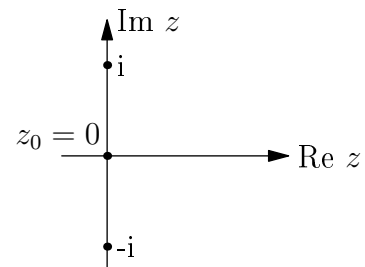
$$f^{(n)}(z) = \frac{n!}{(1-z)^{n+1}} \text{ et } f^{(n)}(0) = n! \quad \forall n \in \mathbb{N}$$

Donc

$$\frac{1}{1-z} = \sum_{n=0}^{\infty} z^n \quad \forall z \in \mathbb{C} \quad \text{avec } |z| < 1$$

C'est la série géométrique.

**Exemple 3:**  $f(z) = \frac{1}{1+z^2}$  est holomorphe dans  $D = \mathbb{C} \setminus \{-i, i\}$ .



Le plus grand disque centré en  $z_0 = 0$  et contenu dans  $D$  est  $D_1(0) = \{z \in \mathbb{C} : |z| < 1\}$ . Donc

$$f(z) = \frac{1}{1+z^2} = \frac{1}{1-(-z^2)} = \sum_{n=0}^{\infty} (-z^2)^n = \sum_{n=0}^{\infty} (-1)^n z^{2n} \quad \forall z \in \mathbb{C} \quad \text{avec } |z| < 1$$

La troisième égalité est possible grâce à l'exemple 2, la série géométrique telle que :

$$|-z^2| < 1 \iff |z| < 1$$

Autre exemple exercice 5 série 11

## 6.2 Développement et série de Laurent d'une fonction holomorphe

### 6.2.1 Motivations, définitions et résultats :

Le développement de Taylor d'une fonction  $f$  donne seulement une **série entière** en puissance positives de  $(z - z_0)$  au voisinage d'un point  $z_0$  où  $f$  est holomorphe.

**But :**

obtenir un développement en puissances **positives** et **négatives** de  $z - z_0$  où  $z_0$  peut être une **singularité** de  $f$ .

**Hypothèse :**

soit  $D \subset \mathbb{C}$  un domaine simplement connexe,  $z_0 \in D$  et  $f : D \setminus \{z_0\} \longrightarrow \mathbb{C}$  une fonction  
 $z \mapsto f(z)$

holomorphe dans  $D \setminus \{z_0\}$

**Définition :** pour  $n \in \mathbb{N}$ , le développement de degré  $N$  de Laurent de  $f$  du voisinage de  $z_0$  est :

**Développement de  $f$  de degré  $N$  de Laurent au voisinage de  $z_0$  :**

$$\begin{aligned} L_N f(z) &= \sum_{n=-N}^N c_n (z - z_0)^n \\ &= \frac{c_{-N}}{(z - z_0)^N} + \cdots + \frac{c_{-1}}{z - z_0} + c_0 + c_1(z - z_0) + \cdots + c_N(z - z_0)^N \end{aligned}$$

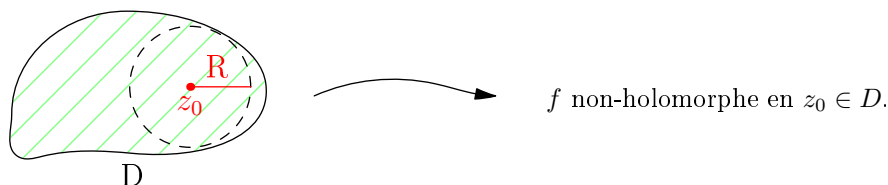
Avec

$$c_n = \frac{1}{2\pi i} \int_{\gamma} \frac{f(\xi)}{(\xi - z_0)^{n+1}} d\xi$$

où  $\gamma \subset D$  est une courbe simple fermée régulière (par morceaux) orientée positivement telle que  $z_0 \in \text{int} \gamma$ .

**Résultat :** Série de Laurent

Soit  $R > 0$  et  $D_R(z_0) = \{z \in \mathbb{C} : |z - z_0| < R\}$ , le plus grand disque de rayon  $R$  centré en  $z_0$  et contenu dans  $D$



**Série de Laurent :**

1.

$$Lf(z) = \lim_{N \rightarrow \infty} L_N f(z) = \sum_{n=-\infty}^{+\infty} c_n (z - z_0)^n$$

existe et est finie  $\forall D_R(z_0) \setminus \{z_0\}$

2. De plus, on a  $f(z) = Lf(z) \forall z \in D_R(z_0) \setminus \{z_0\}$  et  $R$  s'appelle le **rayon de convergence** de la série de Laurent.

**Remarque 1 :** La série de Laurent de  $f$  peut s'écrire sous la forme :

$$Lf(z) = \sum_{n=-\infty}^{-1} c_n(z-z_0)^n + \sum_{n=0}^{\infty} c_n(z-z_0)^n$$

On voit donc qu'on a deux séries différentes :

**La première série**

$$\begin{aligned} \sum_{n=-\infty}^{-1} c_n(z-z_0)^n &= \sum_{n=1}^{\infty} c_{-n}(z-z_0)^{-n} \\ &= \frac{c_{-1}}{z-z_0} + \frac{c_{-2}}{(z-z_0)^2} + \dots \end{aligned}$$

s'appelle la **partie singulière** de la série de Laurent.

**La deuxième série**

$$\sum_{n=0}^{\infty} c_n(z-z_0)^n = c_0 + c_1(z-z_0) + c_2(z-z_0)^2 + \dots$$

s'appelle la **partie régulière** de la série de Laurent.

**Remarque 2 :** Si  $f : D \rightarrow \mathbb{C}$  est holomorphe en  $z_0$  alors la série de Laurent coïncide avec la série de Taylor.

La partie singulière de la série de Laurent est nulle puisque par définition pour  $n = 1, 2, \dots$  on a

$$c_{-n} = \frac{1}{2\pi i} \int_{\gamma} \frac{f(\xi)}{(\xi-z_0)^{-n+1}} d\xi = \frac{1}{2\pi i} \int_{\gamma} f(\xi)(\xi-z_0)^{n-1} d\xi = 0 \quad \text{Théorème de Cauchy}$$

Car  $f(\xi)(\xi-z_0)^{n-1}$  est holomorphe dans  $D$  ( $n-1 > a$ ).

Les coefficients de la partie régulière donnent la série de Taylor puisque par définition pour  $n = 0, 1, 2, \dots$  on a

$$c_n = \frac{1}{2\pi i} \int_{\gamma} \frac{f(\xi)}{(\xi-z_0)^{n+1}} d\xi = \frac{f^{(n)}(z_0)}{n!} \quad \text{car } f(\xi) \text{ est holomorphe dans } D$$

Par le corollaire de la formule de Cauchy.

### 6.2.2 Définition issues de la série de Laurent :

**Définition 1:**  $z_0 \in \mathbb{C}$  est un **point régulier** de  $f \iff$  partie singulière de la série de Laurent de  $f$  au voisinage de  $z_0$  est **nulle**. C'est-à-dire

**Point régulier :**

$$Lf(z) = Tf(z) = \sum_{n=0}^{\infty} \frac{f^{(n)}(z_0)}{n!} (z-z_0)^n$$

**Définition 2:** Soit  $m \in \mathbb{N}^*$ ,  $z_0 \in \mathbb{C}$  est un **pôle d'ordre  $m$**  de  $f \iff c_{-m} \neq 0$  et  $c_{-k} = 0$  pour tout  $k \geq m + 1$ . C'est-à-dire

**Pôle d'ordre  $m$  :**

$$Lf(z) = \frac{c_{-m}}{(z - z_0)^m} + \cdots + \frac{c_{-1}}{z - z_0} + \sum_{n=0}^{\infty} c_n (z - z_0)^n$$

**Définition 3:**  $z_0 \in \mathbb{C}$  est une **singularité essentielle (isolée)** de  $f \iff c_{-k} \neq 0$  pour une infinité d'indices  $k$ . C'est-à-dire

**Singularité essentielle :**

$$\sum_{n=1}^{\infty} \frac{c_{-n}}{(z - z_0)^n} + \sum_{n=0}^{\infty} c_n (z - z_0)^n$$

**Définition 4:** Le **résidu de  $f$  en  $z_0$** , noté  $\text{Rés}_{z_0}(f)$ , est la valeur du coefficient  $c_{-1}$  de la série de Laurent de  $f$  au voisinage de  $z_0$ . C'est-à-dire

**Résidu de  $f$  :**

$$\text{Rés}_{z_0}(f) \stackrel{\text{déf}}{=} c_{-1} = \frac{1}{2\pi i} \int_{\gamma} f(\xi) d\xi \quad \text{où } \gamma \subset D \text{ avec } z_0 \in \text{int} \gamma$$

### 6.2.3 Exemples :

**Exemple 1:** Soit  $f(z) = \frac{1}{z}$  définie dans  $\mathbb{C} \setminus \{0\}$

a) Au voisinage de  $z_0 = 0$

$$Lf(z) = \frac{1}{z} + 0$$

Partie singulière ———— Partie régulière

$\implies c_{-1} = 1$  et  $c_{-n} = 0$  pour tout  $n \geq 2 \implies z_0 = 0$  est un pôle d'ordre 1 de  $f$  et  $\text{Rés}_0(f) = c_{-1} = 1$

**Rappel : série géométrique**

$$\frac{1}{1 - w} = \sum_{n=0}^{\infty} w^n \quad \text{pour } w \in \mathbb{C} \text{ tel que } |w| < 1$$

b) Au voisinage de  $z_0 = 1$  on a

$$\frac{1}{z} = \frac{1}{1 - (1 - z)} = \sum_{n=0}^{\infty} (1 - z)^n = \underbrace{\sum_{n=0}^{\infty} (-1)^n (1 - z)^n}_{\text{partie régulière}} = Tf(z) = Lf(z)$$

La série de Laurent coïncide avec la série de Taylor. La partie singulière est nulle  $\implies z_0 = 1$  est un **point régulier** de  $f$  et  $\text{Rés}_1(f) = 0$

**Exemple 2:** Soit  $f(z) = \frac{1}{z^3} + \frac{2}{z}$  définie sur  $\mathbb{C} \setminus \{0\}$

Au voisinage de  $z_0$  on a

$$Lf(z) = \underbrace{\frac{1}{z^3} + \frac{2}{z}}_{\text{Partie singulière}} + \underbrace{0}_{\text{Partie régulière}}$$

On a  $c_{-1} = 2, c_{-2} = 0, c_{-3} = 1$  et  $c_n = 0$  pour  $n \geq 4 \implies z_0 = 0$  est un pôle d'ordre 3 de  $f$  et  $\text{Rés}_0(f) = c_{-1} = 2$

**Exemple 3:** Soit  $f(z) = \frac{1}{z^2+z}$  définie sur  $\mathbb{C} \setminus \{-1, 0\}$

Au voisinage de  $z_0 = 0$  on a

$$\begin{aligned} \frac{1}{z^2+z} &= \frac{1}{z(z+1)} = \frac{1}{z} - \frac{1}{z+1} = \frac{1}{z} + \frac{1}{1-(-z)} \\ \frac{1}{z} - \sum_{n=0}^{\infty} (-z)^n &= \frac{1}{z} - \sum_{n=0}^{\infty} (-1)^n z^n = \underbrace{\frac{1}{z}}_{\text{Partie singulière}} + \underbrace{\sum_{n=0}^{\infty} (-1)^{n+1} z^n}_{\text{Partie régulière}} = Lf(z) \end{aligned}$$

$\implies c_{-1} = 1$  et  $c_{-n} = 0$  pour tout  $n \geq 2 \implies z_0$  est un pôle d'ordre 1 de  $f$  et  $\text{Rés}_0(f) = c_{-1} = 1$

**Exemple 4:** Soient  $f(z) = \frac{\sin z}{z}$  et  $g(z) = \frac{\cos z}{z}$  définie sur  $\mathbb{C} \setminus \{0\}$

a)

$$\begin{aligned} \frac{\sin z}{z} &= \frac{1}{z} \sin z = \frac{1}{z} \sum_{n=0}^{\infty} (-1)^n \frac{z^{2n+1}}{(2n+1)!} = \sum_{n=0}^{\infty} (-1)^n \frac{z^{2n}}{(2n+1)!} \\ &= \underbrace{0}_{\text{Partie singulière}} + \underbrace{1 - \frac{z^2}{3!} + \frac{z^4}{5!} - \dots}_{\text{Partie Régulière}} = Lf(z) \end{aligned}$$

La partie singulière est nulle  $\implies z_0 = 0$  est un **point régulier** de  $f$  et  $\text{Rés}_0(f) = c_{-1} = 0$  ( $z_0 = 0$  est une singularité éliminable).

b)

$$\begin{aligned} \frac{\cos z}{z} &= \frac{1}{z} \cos z = \frac{1}{z} \sum_{n=0}^{\infty} (-1)^n \frac{z^{2n}}{(2n)!} = \sum_{n=0}^{\infty} (-1)^n \frac{z^{2n-1}}{(2n)!} \\ &= \frac{1}{z} + \sum_{n=1}^{\infty} (-1)^n \frac{z^{2n-1}}{(2n)!} = \underbrace{\frac{1}{z}}_{\text{Partie singulière}} - \underbrace{\frac{z^2}{2!} + \frac{z^4}{4!} + \dots}_{\text{Partie régulière}} = Lg(z) \end{aligned}$$

On a  $c_{-1} = 1$  et  $c_{-n} = 0$  pour tout  $n \geq 2 \implies z_0 = 0$  est un pôle d'ordre 1 de  $g$  et  $\text{Rés}_0(g) = c_{-1} = 1$

**Exemple 5:** Soit  $f = e^{\frac{1}{z}}$  définie sur  $\mathbb{C} \setminus \{0\}$

$$e^{\frac{1}{z}} = \sum_{n=0}^{\infty} \frac{1}{n!} \left(\frac{1}{z}\right)^n = \underbrace{1}_{\text{Partie régulière}} + \underbrace{\sum_{n=1}^{\infty} \frac{1}{n!} z^{-n}}_{\text{Partie singulière}} = Lf(z)$$

On a  $c_{-n} = \frac{1}{n!}$  pour tout  $n \geq 1 \implies z_0 = 0$  **singularité essentielle** de  $f$  et  $\text{Rés}_0(f) = \frac{1}{1!} = 1$



**Remarque :** On ne l'a pas fait pour les exemples précédents, dans le but de les alléger, mais on doit toujours définir le rayon de convergence pour les séries de Laurent.

*Autres exemples : exercices 1, 2 et 3 série 13*

### 6.2.4 Détection des pôles, détermination de l'ordre et formules de calcul du résidu

**Définition :** Soit  $n \in \mathbb{N}^*$ ,  $z_0 \in \mathbb{C}$  est un zéro d'ordre  $n$  d'une fonction  $f$  lorsque

$$f(z_0) = f^{(1)}(z_0) = \dots = f^{(n-1)}(z_0) = 0 \text{ mais } f^{(n)}(z_0) \neq 0$$

**Méthodes d'études :**

- a) Soit  $f(z) = \frac{p(z)}{q(z)}$  où  $p$  et  $q$  sont des fonctions holomorphes au voisinage de  $z_0 \in \mathbb{C}$  qui est un zéro d'ordre  $k$  de  $p$  et un zéro d'ordre  $l$  de  $q$ . Deux cas possibles :

**Cas 1.** si  $l > k$  alors  $z_0$  est un **pôle d'ordre  $l - k$  de  $f$** .

**Cas 2.** si  $l \leq k$  alors  $z_0$  est un **point régulier de  $f$** .

On dit que  $z_0$  est une **singularité éliminable** de  $f$  en posant  $f(z_0) = \lim_{z \rightarrow z_0} \frac{p(z)}{q(z)}$

- b) Soit  $f$  une fonction holomorphe dans  $D \setminus \{z_0\}$ ,  $m \in \mathbb{N}^*$  et

$$Lf(z) = \lim_{z \rightarrow z_0} [(z - z_0)^m f(z)]$$

Si  $L$  est fini et  $L \neq 0 \implies L \in \mathbb{R}^*$  alors  $z_0$  est un pôle d'ordre  $m$  de  $f$ .

**Exemple 1:**  $f(z) = \frac{\sin z}{z}$  et  $z_0 = 0$ . Avec  $p(z) = \sin z$  et  $q(z) = z$ .

On a

$$p(0) = \sin 0 = 0, \quad p'(0) = \cos 0 = 1, \quad q(0) = 0, \quad q'(0) = 1$$

Alors  $k = l = 1$  et donc  $z_0 = 0$  est un point régulier de  $f$ .  $z_0 = 0$  est une singularité éliminable en posant :

$$f(x) = \begin{cases} \frac{\sin z}{z} & \text{si } z \neq 0 \\ \lim_{z \rightarrow 0} \frac{\sin z}{z} = 1 & \text{si } z = 0 \end{cases}$$

**Exemple 2:**  $f(z) = \frac{z}{\sin^2 z}$  et  $z_0 = 0$ . Avec  $p(z) = z$  et  $q(z) = \sin^2 z$ .

On a

$$p(0) = 0, \quad p'(0) = 1, \quad q(0) = 0, \quad q'(0)|_{z=0} = 2 \sin z \cos z|_{z=0} = 0, \quad q''(0) = 2 \cos(2 \cdot 0) = 2$$

$k = 1$  et  $l = 2$   $l > k \implies z_0 = 0$  est un pôle d'ordre  $l - k = 2 - 1 = 1$ .

**Exemple 3:**  $f(z) = \frac{\sin(\pi - z)}{(z - \pi)^3}$   $z_0 = \pi$  est un pôle d'ordre 2 de  $f$  car pour  $m \in \mathbb{N}^*$  :

$$\begin{aligned} L &= \lim_{z \rightarrow \pi} [(z - \pi)^m f(z)] = \lim_{z \rightarrow \pi} \left[ (z - \pi)^m \frac{\sin(z - \pi)}{(z - \pi)^3} \right] \\ &= \lim_{z \rightarrow \pi} [(z - \pi)^{m-3} \sin(z - \pi)] = \begin{cases} \lim_{z \rightarrow \pi} \frac{1}{z - \pi} \lim_{z \rightarrow \pi} \frac{\sin(z - \pi)}{z - \pi} = \infty & \text{si } m = 1 \\ \lim_{z \rightarrow \pi} \frac{\sin(z - \pi)}{z - \pi} = 1 & \text{si } m = 2 \\ \lim_{z \rightarrow \pi} (z - \pi)^{m-3} \lim_{z \rightarrow \pi} \sin(z - \pi) = 0 & \text{si } m \leq 3 \end{cases} \end{aligned}$$

**Formules de calcul du résidu d'une fonction :**

- a) Soit  $f$  une fonction holomorphe dans  $D \setminus \{z_0\}$  et soit  $m \in \mathbb{N}^*$ . Si  $z_0$  est un pôle d'ordre  $m$  de  $f$  alors

$$\text{Rés}_{z_0}(f) = \frac{1}{(m-1)!} \lim_{z \rightarrow z_0} \frac{d^{m-1}}{dz^{m-1}} [(z - z_0)^m f(z)]$$

- b) Soit  $f(z) = \frac{p(z)}{q(z)}$  où  $p$  et  $q$  sont deux fonctions holomorphes au voisinage de  $z_0 \in \mathbb{C}$  telles que  $z_0$  est un zéro d'ordre 1 de  $q$  et  $p(z_0) \neq 0$ . Alors

$$\text{Rés}_{z_0}(f) = \frac{p(z_0)}{q'(z_0)}$$

**Exemple 1:**  $f(z) = \frac{3z^2}{z+2}$  alors  $z_0 = -2$  est un pôle d'ordre 1 de  $f$ .

$$\Rightarrow \text{Rés}_{-2}(f) = \lim_{z \rightarrow -2} \left[ (z+2) \frac{3z^2}{z+2} \right] = \lim_{z \rightarrow -2} [3z^2] = 12$$

**Exemple 2:**  $f(z) = \frac{e^z}{(z-5)^3}$  alors  $z_0 = 5$  est un pôle d'ordre 3 de  $f$ .

$$\Rightarrow \text{Rés}_5(f) = \frac{1}{2!} \lim_{z \rightarrow 5} \frac{d^2}{dz^2} \left[ (z-5)^3 \frac{e^z}{(z-5)^3} \right] = \frac{1}{2} \lim_{z \rightarrow 5} e^z = \frac{e^5}{2}$$

**Citation de M. Cibils:**

*"La formule tue, de manière civilisée, la singularité"*

**Exemple 3:**  $f(z) = \frac{\sin z}{z^2+1}$  Comme  $z^2+1 = (z-i)(z+i)$  alors  $z_0 = i$  et  $z_0 = -i$  sont des pôles d'ordre 1 de  $f$ .

$$\begin{aligned} \Rightarrow \text{Rés}_i(f) &= \lim_{z \rightarrow i} \left[ (z-i) \frac{\sin z}{(z-i)(z+i)} \right] = \frac{\sin i}{2i} \\ \text{Rés}_{-i}(f) &= \lim_{z \rightarrow -i} \left[ (z+i) \frac{\sin z}{(z-i)(z+i)} \right] = \frac{\sin(-i)}{-2i} = \frac{\sin i}{2i} \end{aligned}$$

**Citation de M. Cibils:**

*"Évidemment, je prends des exemples pas trop longs car je n'ai pas le temps pendant les cours. Vous verrez pendant la séance d'exercices."*

**Exemple 4:**  $f(z) = \frac{3z^2}{z+2}$  Avec  $p(z) = 3z^2$  et  $q(z) = z+2$ . On a que  $z_0 = -2$  est un zéro d'ordre 1 de  $q$  avec  $p(-2) = 12 \neq 0$   $q'(z) = 1 \forall z$

$$\text{Rés}_{-2}(f) = \frac{p(-2)}{q'(-2)} = \frac{12}{1} = 12$$

## Chapitre 7

# Théorème des résidus et applications au calcul d'intégrales réelles

### 7.1 Théorème des résidus :

#### 7.1.1 Énoncé du Théorème des résidus :

**Théorème des résidus :**

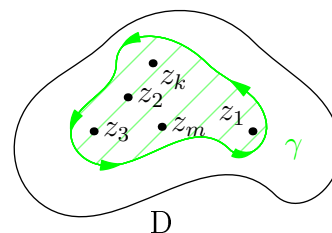
Soient  $D \subset \mathbb{C}$  un ouvert simplement connexe,  $\gamma \subset D$  une courbe simple fermée régulière (par morceaux) contenue dans  $D$  orientée positivement et  $z_1, z_2, \dots, z_m \in \text{int}\gamma$  tels que  $z_i \neq z_j$  pour  $i \neq j$ .

Si une fonction  $f : D \setminus \{z_1, z_2, \dots, z_m\} \rightarrow \mathbb{C}$  est holomorphe. Alors

$$\int_{\gamma} f(z) dz = 2\pi i \cdot \sum_{k=1}^m \text{Rés}_{z_k}(f)$$

**Remarque 1 :**

Si  $f$  est une fonction holomorphe sauf peut-être en un nombre fini de points  $z_1, z_2, \dots, z_m$  alors l'intégrale de  $f$  le long de n'importe quelle courbe simple fermée régulière  $\gamma$  contenue dans  $D$  et orientée positivement est donnée par la somme (multipliée par  $2\pi i$ ) des résidus de  $f$  aux points  $z_k$  (où  $f$  n'est pas holomorphe) qui sont enfermés à l'intérieur de  $\gamma$ .

**Citation de M. Cibils:**

*"Parfois, les mathématiciens appellent ce théorème, le théorème de la poubelle, entre nous. [...]  
Mais bon, officiellement, c'est le théorème des résidus."*

**Remarque 2 :** Si  $f$  est holomorphe dans  $D$ , alors pour toutes courbe simple  $\gamma$  fermée régulière dans  $D$ , il n'y a aucune singularité  $z_k \in \text{int}\gamma$ . Dans ce cas  $\sum_{k=1}^m \text{Rés}_{z_k}(f) = 0$  et le théorème des résidus redonne

$$\int_{\gamma} f(z) dz = 0 \quad \text{résultat du Théorème de Cauchy §5.2.1}$$

### 7.1.2 Exemples :

**Exemple 1:** Soit  $f(z) = \frac{2}{z} + \frac{3}{z-1} + \frac{1}{z^2}$  et  $\gamma \subset \mathbb{C}$  une courbe simple fermée régulière orientée positivement. Calculer en fonction de  $\gamma$  l'intégrale  $\int_{\gamma} f(z) dz$

On a

$$f(z) = \frac{2z(z-1) + 3z^2 + z - 1}{z^2(z-1)} = \frac{p(z)}{q(z)}$$

$z_1 = 0$  est un pôle d'ordre 2 de  $f$  ( $p(0) \neq 0, q(0) = 0, q'(0) = 0, q''(0) \neq 0$ )

$z_2 = 1$  est un pôle d'ordre 1 de  $f$  ( $p(1) \neq 0, q(1) = 0, q'(1) \neq 0$ )

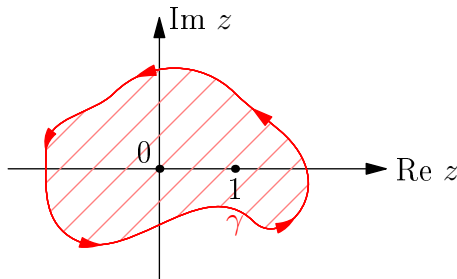
On a

$$\begin{aligned} \text{Rés}_{z_1}(f) &= \text{Rés}_0(f) = \lim_{z \rightarrow 0} \frac{d}{dz} [z^2 f(z)] \\ &= \lim_{z \rightarrow 0} \frac{d}{dz} \left[ 2z + \frac{3z^2}{z-1} + 1 \right] = \lim_{z \rightarrow 0} \left[ 2 + \frac{6z(z-1) - 3z^2}{(z-1)^2} \right] \\ &= \lim_{z \rightarrow 0} [2 + 0] = 2 \end{aligned}$$

$$\begin{aligned} \text{Rés}_{z_2}(f) &= \text{Rés}_1(f) = \lim_{z \rightarrow 1} [(z-1)f(z)] \\ &= \lim_{z \rightarrow 1} \left[ \frac{2(z-1)}{z} + \frac{3(z-1)}{z-1} + \frac{z-1}{z^2} \right] = 0 + 3 + 0 = 3 \end{aligned}$$

On se retrouve avec 5 cas possibles :

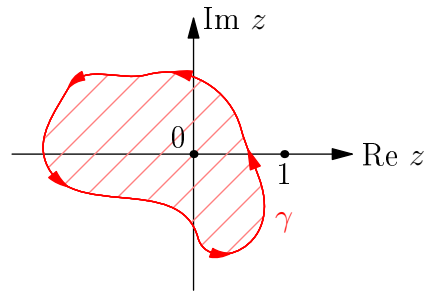
**Cas 1.**  $0 \text{ et } 1 \in \text{int} \gamma$



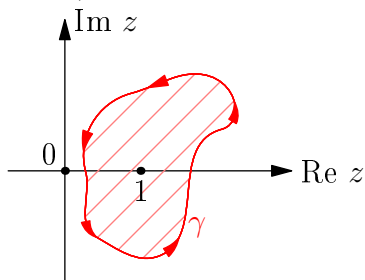
$$\begin{aligned} \int_{\gamma} f(z) dz &= 2\pi i [\text{Rés}_0(f) + \text{Rés}_1(f)] \\ &= 2\pi i [2 + 3] = 10\pi i \end{aligned}$$

**Cas 2.**  $0 \in \text{int} \gamma$  mais  $1 \notin \text{int} \gamma$

$$\int_{\gamma} f(z) dz = 2\pi i \text{Rés}_0(f) = 2\pi i \cdot 2 = 4\pi i$$



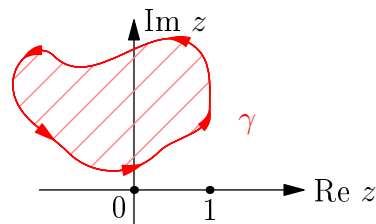
**Cas 3.**  $0 \notin \text{int} \gamma$  mais  $1 \in \text{int} \gamma$



$$\int_{\gamma} f(z) dz = 2\pi i \text{Rés}_1(f) = 2\pi i \cdot 3 = 6\pi i$$

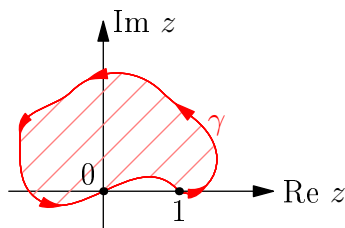
**Cas 4.**  $0 \notin \overline{\text{int} \gamma}$  et  $1 \notin \overline{\text{int} \gamma}$

$$\int_{\gamma} f(z) dz = 0 \quad \text{Théorème de Cauchy}$$

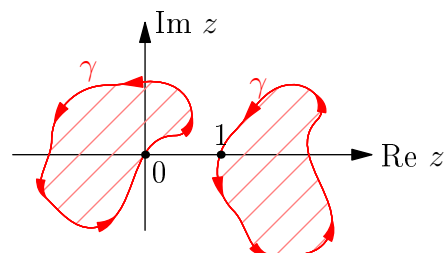


$f$  holomorphe dans un domaine  $D$  simplement connexe tel que  $\overline{\text{int} \gamma} \subset D$  et  $\gamma \subset \overline{\text{int} \gamma} \subset D$

**Cas 5.**  $0 \in \gamma$  ou  $1 \in \gamma$  (ou  $0$  et  $1 \in \gamma$ )



ou



Dans ce cas, l'intégrale n'est pas bien définie.

Autres exemples, exercices 1 et 2 série 13.

## 7.2 Applications du Théorème des résidus au calcul d'intégrales réelles

### 7.2.1 Calcul d'intégrales de fonctions périodiques :

**But**

Calculer des intégrales de la forme

$$\int_0^{2\pi} f(\cos \theta, \sin \theta) d\theta$$

avec  $f : \mathbb{R}^2 \longrightarrow \mathbb{R}$

où  $p$  et  $q$  sont des fonctions polynômiales avec

$$(x, y) \mapsto f(x, y) = \frac{p(x, y)}{q(x, y)}$$

$q(\cos \theta, \sin \theta) \neq 0$  pour tout  $\theta \in [0, 2\pi]$

#### Méthode

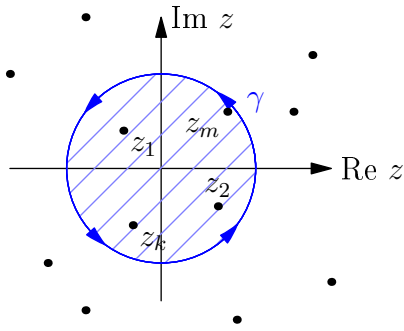
- On pose  $z = e^{i\theta}$  et on a :

$$\cos \theta = \frac{e^{i\theta} + e^{-i\theta}}{2} = \frac{1}{2} \left( z + \frac{1}{z} \right) \quad \sin \theta = \frac{e^{i\theta} - e^{-i\theta}}{2i} = \frac{1}{2i} \left( z - \frac{1}{z} \right)$$

- On définit  $\tilde{f} : \mathbb{C} \longrightarrow \mathbb{C}$  par

$$z \mapsto \tilde{f}(z) \stackrel{\text{déf}}{=} \frac{1}{iz} f \left( \frac{1}{2} \left( z + \frac{1}{z} \right), \frac{1}{2i} \left( z - \frac{1}{z} \right) \right)$$

Soit  $\gamma$  le cercle **unité** centré en  $z = 0$  orienté positivement. Soient  $z_k$  pour  $k = 1, \dots, m$  les singularités de  $\tilde{f}$  à l'intérieur de  $\gamma$ .



$z_k \notin \gamma$  car  $q(\cos \theta, \sin \theta) \neq 0$  pour  $\theta \in [0, 2\pi]$   
 $\implies$  pas de singularité de  $\tilde{f}$  sur  $\gamma$ .

- On applique le Théorème des résidus **à la fonction**  $\tilde{f}$  intégrée le long de  $\gamma$  :

$$\int_{\gamma} \tilde{f}(z) dz = 2\pi i \sum_{k=1}^m \text{Rés}_{z_k}(\tilde{f})$$

Citation de M. Cibils:

*"Et je pense que l'excitation est à son comble !"*

**Remarque :** On voit que :

$$\begin{aligned} \int_{\gamma} \tilde{f}(z) dz &= \int_{\gamma} \frac{1}{iz} f\left(\frac{1}{2}\left(z + \frac{1}{z}\right), \frac{1}{2i}\left(z - \frac{1}{z}\right)\right) dz \\ &= \int_0^{2\pi} \frac{1}{ie^{i\theta}} f(\cos \theta, \sin \theta) ie^{i\theta} d\theta \end{aligned}$$

En ayant posé  $z = \gamma(\theta) = e^{i\theta}$  : cercle de rayon unité centré en 0 orienté positivement. On a exactement l'intégrale qu'on veut calculer ! Le résultat est donc

$$\int_0^{2\pi} f(\cos \theta, \sin \theta) d\theta = 2\pi i \sum_{k=1}^m \text{Rés}_{z_k}(f)$$

où  $z_k$  pour  $k = 1, 2, \dots, m$  sont les singularités de  $\tilde{f}$  à l'intérieur du cercle unité  $\gamma$  centré en zéro.

Citation de M. Cibils:

*"Je ne sais pas si vous vous rendez compte de la performance."*

## Exemples

**Exemple 1:** Calculer

$$\int_0^{2\pi} \frac{d\theta}{\sqrt{5} - \sin \theta}$$

On a  $f(\cos \theta, \sin \theta) = \frac{1}{\sqrt{5} - \sin \theta}$  où  $\sqrt{5} - \sin \theta \neq 0$  pour  $\theta = [0, 2\pi]$  et

$$\begin{aligned} \tilde{f}(z) &\stackrel{\text{déf}}{=} \frac{1}{iz} f\left(\frac{1}{2}\left(z + \frac{1}{z}\right), \frac{1}{2i}\left(z - \frac{1}{z}\right)\right) = \frac{1}{iz} \left[ \frac{1}{\sqrt{5} - \frac{1}{2i}\left(z - \frac{1}{z}\right)} \right] \\ &= \frac{1}{iz} \left[ \frac{1}{\frac{2i\sqrt{5}z - z^2 + 1}{2iz}} \right] = \frac{2}{-z^2 + 2i\sqrt{5}z + 1} \end{aligned}$$

Les singularités de  $\tilde{f}$  sont les zéros de  $-z^2 + 2i\sqrt{5}z + 1$

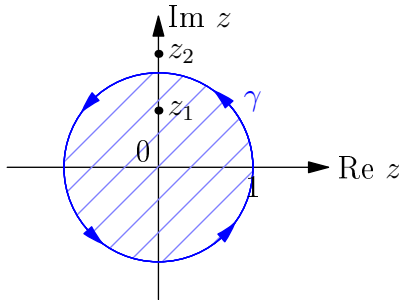
$$\begin{aligned} \Delta &= (2i\sqrt{5})^2 + 4 = -20 + 4 = -16 \\ \sqrt{\Delta} &= \sqrt{-16} = \pm 4i \end{aligned}$$

$$z_1 = \frac{-2i\sqrt{5} + 4i}{-2} = i(\sqrt{5} - 2) \quad z_2 = \frac{-2i\sqrt{5} - 4i}{-2} = i(\sqrt{5} + 2)$$

On a

$$\begin{aligned} z^2 + 2i\sqrt{5}z + 1 &= -(z - z_1)(z - z_2) = -[z - i(\sqrt{5} - 2)][z - i(\sqrt{5} + 2)] \\ \tilde{f}(z) &= \frac{-2}{[z - i(\sqrt{5} - 2)][z - i(\sqrt{5} + 2)]} \end{aligned}$$

Soit  $\gamma$  le cercle unité en  $z = 0$  et orienté positivement :



$$\begin{aligned} 0 < \text{Im} z_1 = \sqrt{5} - 2 < 1 &\implies z_1 \in \text{int} \gamma \\ \text{Im} z_2 = \sqrt{5} + 2 > 1 &\implies z_2 \notin \text{int} \gamma \end{aligned}$$

$z_1 = i(\sqrt{5} - 2)$  est un pôle d'ordre 1 de  $\tilde{f}$  et

$$\begin{aligned} \text{Rés}_{z_1}(\tilde{f}) &= \lim_{z \rightarrow i(\sqrt{5}-2)} \left( [z - i(\sqrt{5} - 2)] \frac{-2}{[z - i(\sqrt{5} - 2)][z - i(\sqrt{5} + 2)]} \right) \\ &= \lim_{z \rightarrow i(\sqrt{5}-2)} \left[ \frac{-2}{z - i(\sqrt{5} - 2)} \right] = \frac{-2}{-4i} = \frac{1}{2i} \end{aligned}$$

Le résultat est donc :

$$\int_0^{2\pi} \frac{d\theta}{\sqrt{5} - \sin \theta} = 2\pi i \cdot \frac{1}{2i} = \pi$$

**Exemple 2:** Calculer

$$\int_0^{2\pi} \frac{d\theta}{2 + \cos \theta}$$

On a  $f(\cos \theta, \sin \theta) = \frac{1}{2 + \cos \theta}$  où  $2 + \cos \theta \neq 0$  pour  $\theta = [0, 2\pi]$  et

$$\begin{aligned} \tilde{f}(z) &\stackrel{\text{d\'ef}}{=} \frac{1}{iz} f\left(\frac{1}{2}\left(z + \frac{1}{z}\right), \frac{1}{2i}\left(z - \frac{1}{z}\right)\right) = \frac{1}{iz} \frac{1}{2 + \frac{1}{z}\left(z + \frac{1}{z}\right)} \\ &= \frac{1}{iz} \frac{1}{\frac{4z + z^2 + 1}{2z}} = \frac{2}{i(z^2 + 4z + 1)} \end{aligned}$$

Les singularités de  $\tilde{f}$  sont les zéros de  $z^2 + 4z + 1$

$$\begin{aligned} \Delta &= 16 - 4 = 12 \\ \sqrt{\Delta} &= \sqrt{12} = 2\sqrt{3} \end{aligned}$$

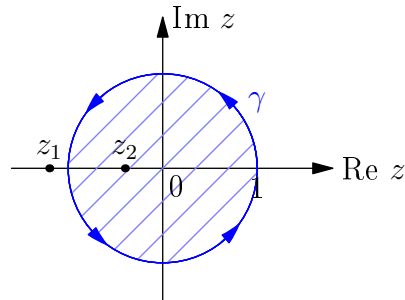
$$z_1 = \frac{-4 + 2\sqrt{3}}{2} = \sqrt{3} - 2 \quad z_2 = \frac{-4 - 2\sqrt{3}}{2} = -\sqrt{3} - 2$$

On a

$$\begin{aligned} z^2 + 4z + 1 &= (z - z_1)(z - z_2) = [z - (\sqrt{3} - 2)][z + (\sqrt{3} + 2)] \\ \tilde{f}(z) &= \frac{2}{i(z + 2 - \sqrt{3})(z + 2 + \sqrt{3})} \end{aligned}$$

Soit  $\gamma$  le cercle unité en  $z = 0$  et orienté positivement :

$$\begin{aligned} -1 < z_1 = \sqrt{3} - 2 < 0 &\implies z_1 \in \text{int} \gamma \\ z_2 = -(2 + \sqrt{3}) < -1 &\implies z_2 \notin \text{int} \gamma \end{aligned}$$



$z_1 = \sqrt{3} - 2$  est un pôle d'ordre 1 de  $\tilde{f}$  et

$$\text{Rés}_{z_1}(\tilde{f}) = \lim_{z \rightarrow z_1} (z - z_1) \tilde{f} = \lim_{z \rightarrow \sqrt{3} - 2} (z - \sqrt{3} + 2) \frac{2}{i(z + 2 - \sqrt{3})(z + 2 + \sqrt{3})} = \frac{1}{\sqrt{3}i}$$

Le résultat est donc :

$$\int_0^{2\pi} \frac{d\theta}{2 + \cos \theta} = 2\pi i \cdot \frac{1}{i\sqrt{3}} = \frac{2\pi}{\sqrt{3}}$$

*Autres exemples : exercices 3 et 4 série série 13 exercice 1 et 2 série 14.*

## 7.2.2 Calcul d'intégrales généralisées

**But**

Calculer des intégrales de la forme :

$$\int_{-\infty}^{\infty} f(x) e^{i\alpha x} dx \quad \text{avec} \quad \alpha \in \mathbb{R}_+ (\alpha \geq 0)$$

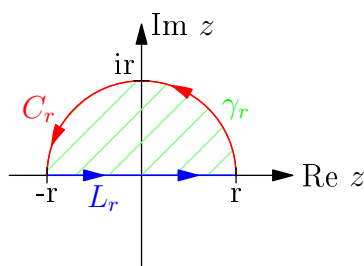


et  $f : \mathbb{R} \rightarrow \mathbb{R}$  définie par  $f(x) = \frac{p(x)}{q(x)}$  où  $p$  et  $q$  sont des fonctions polynômiales telles que

$$\begin{aligned} q(x) &\neq 0 \quad \forall x \in \mathbb{R} \\ \text{degré}(q) - \text{degré}(p) &\geq 2 \end{aligned}$$

### Méthode

On choisit un nombre réel  $r > 0$  et on considère la courbe  $\gamma_r \stackrel{\text{def}}{=} L_r \cup C_r$  orientée positivement où  $L_r$  est le **segment de droite**  $[-r, r]$  sur **l'axe réel**  $C_r$  est le **demi-cercle** de rayon  $r$  centré en  $z = 0$  situé **dans le demi-plan supérieur**



$\gamma_r = L_r \cup C_r$  est une courbe simple régulière orientée positivement.

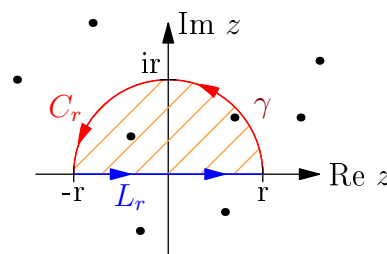
On définit la fonction  $g : \mathbb{C} \rightarrow \mathbb{C}$  par  $z \mapsto g(z) = f(z)e^{i\alpha z} = \frac{p(z)}{q(z)}e^{i\alpha z}$  variable  $x \in \mathbb{R}$  remplacée par  $z \in \mathbb{C}$  dans l'intégrant.

### Citation de M. Cibils:

*"Et là évidemment je suis en manque, en manque de fonction complexe."*

### Constataion

les seules singularités de  $g$  sont les zéros de  $q$ . Comme  $q$  est une fonction polynômiale et  $q(x) \neq 0$  pour tout  $x \in \mathbb{R}$ , alors  $q$  possède un nombre **fini** de zéros et **aucun** est situé **sur** l'axe réel.



• → nombre fini de zéros de  $q$

### Idée

On choisit  $r > 0$  suffisamment grand pour que **tout** les zéros de  $q$  situés dans le **demi-plan supérieur** soient à l'**intérieur** de  $\gamma_r$  possible car **nombre fini** de zéros. En appliquant le Théorème des résidus à  $g(z) = f(z)e^{i\alpha z}$  intégrée à la fonction le long de la courbe  $\gamma_r$

On a :

$$\int_{\gamma_r} \underbrace{f(z)e^{i\alpha z}}_{g(z)} dz = 2\pi i \sum_{k=1}^m \text{Rés}_{z_k}(g)$$

où  $z_k$  pour  $k = 1, \dots, m$  sont les singularités de  $f$  c'est à dire les zéros de  $q$  situés dans le demi-plan **supérieur**. D'autre part ; puisque  $\gamma_r = L_r \cup C_r$  on a

$$\begin{aligned} \int_{\gamma_r} f(z)e^{i\alpha z} dz &= \int_{L_r} f(z)e^{i\alpha z} dz + \int_{C_r} f(z)e^{i\alpha z} dz \\ \Rightarrow \lim_{r \rightarrow +\infty} \int_{\gamma_r} f(z)e^{i\alpha z} dz &= \lim_{r \rightarrow +\infty} \int_{L_r} f(z)e^{i\alpha z} dz + \lim_{r \rightarrow +\infty} \int_{C_r} f(z)e^{i\alpha z} dz \end{aligned}$$

Étude de chaque limites :

1.

$$\lim_{r \rightarrow +\infty} \int \gamma_r f(z) e^{i\alpha z} dz = \lim_{r \rightarrow +\infty} \underbrace{\left[ 2\pi i \sum_{k=1}^m \text{Rés}_{z_k}(g) \right]}_{\text{indépendantes de } r} = 2\pi i \sum_{k=1}^m \text{Rés}_{z_k}(g)$$

2.

$$\lim_{r \rightarrow +\infty} \int_{L_r} f(z) e^{i\alpha z} dz \stackrel{z=x \in [-r, r] \subset \mathbb{C}}{\downarrow} = \lim_{r \rightarrow +\infty} \int_r^r f(x) e^{i\alpha x} dx = \int_{-\infty}^{+\infty} f(x) e^{i\alpha x} dx$$

est l'intégrale que l'on veut calculer.

3. On montre que si  $\deg(q) - \deg(p) \geq 2$  alors

$$\lim_{r \rightarrow +\infty} \int_{C_r} f(z) e^{i\alpha z} dz = 0 \quad \text{on l'admet sans preuve.}$$

**Citation de M. Cibils:**

*"Je sors le drapeau vert de l'optimisme, car c'est pas fini mais c'est déjà ça."*

#### Résultat final

l'étude des trois limites donne la formule

$$\int_{-\infty}^{+\infty} f(x) e^{i\alpha x} dx = 2\pi i \sum_{k=1}^m \text{Rés}_{z_k}(g)$$

où  $g(z) \stackrel{\text{déf}}{=} f(z) = e^{i\alpha z}$  et  $z_k$  pour  $k = 1, \dots, m$  sont les singularités de  $f$  situées dans le demi-plan supérieur c'est-à-dire les zéros de  $q$  tels que  $\text{Im} z_k > 0$ .

**Citation de M. Cibils:**

*"On a les singularité de  $f$  situées dans le demi-plan supérieur. Pas celles sur le demi-plan inférieur, et permettez moi de vous le dire, vous vous en foutez... et moi aussi!"*

### 7.2.3 Exemples

**Exemple 1:** Calculer

$$\int_{-\infty}^{+\infty} \frac{x^2}{x^4 + 16} dx$$

Ici  $\alpha = 0$  et  $f(x) = \frac{x^2}{x^4 + 16}$ . On a donc  $p(x) = x^2$  et  $q(x) = x^4 + 16$   
Les conditions sont satisfaites :

$$\begin{aligned} q(x) &\neq 0 \quad \forall x \in \mathbb{R} \\ \deg(q) - \deg(p) &= 4 - 2 = 2 \geq 2 \end{aligned}$$

Calcul par la méthode des résidus avec  $g(z) \stackrel{\alpha=0}{=} f(z) = \frac{z^2}{z^4 + 16}$ .  
Recherche des singularités de  $f \iff$  recherche des zéros de  $q \iff q(z) = 0$

$$\begin{aligned} \implies z^4 + 16 &= 0 \iff z^4 = -16 \\ &\iff z^4 = 16e^{i\pi} \\ &\iff z = 2e^{i(\frac{\pi}{4} + \frac{2n\pi}{4})} \quad \text{avec } n = 0, 1, 2, 3 \end{aligned}$$

Les singularités sont :

**pour  $n = 0$  :**  $z_1 = 2e^{i\frac{\pi}{4}} = \sqrt{2}(1+i)$

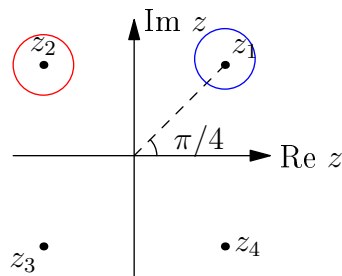
**pour  $n = 1$  :**  $z_2 = 2e^{i\frac{3\pi}{4}} = \sqrt{2}(-1+i)$

**pour  $n = 2$  :**  $z_3 = 2e^{i\frac{5\pi}{4}} = -\sqrt{2}(1+i)$

**pour  $n = 3$  :**  $z_4 = 2e^{i\frac{7\pi}{4}} = -\sqrt{2}(-1+i)$

Ce sont des pôles d'ordre 1 de  $f$  et on a

$$z^4 + 16 = (z - z_1)(z - z_2)(z - z_3)(z - z_4)$$



Les seuls résidus qui contribuent à l'intégrale sont  $z_1$  et  $z_2$

Calcul des résidus de  $f$  en  $z_1$  et  $z_2$

$$\begin{aligned} \text{Rés}_{z_1}(f) &= \frac{p(z_1)}{q'(z_1)} = \frac{z_1^2}{4z_1^3} = \frac{1}{4z_1} = \frac{1}{4\sqrt{2}(1+i)} \\ &= \frac{1-i}{4\sqrt{2}(1+i)(1-i)} = \frac{1-i}{\sqrt{2} \cdot 2} = \frac{1-i}{8\sqrt{2}} \\ \text{Rés}_{z_2}(f) &= \frac{p(z_2)}{q'(z_2)} = \frac{z_2^2}{4z_2^3} = \frac{1}{4z_2} = \frac{1}{4\sqrt{2}(-1+i)} \\ &= \frac{-1-i}{4\sqrt{2}(-1+i)(-1-i)} = \frac{-1-i}{\sqrt{2} \cdot 2} = -\frac{1+i}{8\sqrt{2}} \end{aligned}$$

Donc

$$\begin{aligned} I &= \int_{-\infty}^{+\infty} \frac{x^2}{x^4 + 16} dx = 2\pi i \left( \frac{1-i}{8\sqrt{2}} + \left( -\frac{1+i}{8\sqrt{2}} \right) \right) = 2\pi i \cdot \frac{-2}{8\sqrt{2}} \\ &= \frac{-4\pi}{8\sqrt{2}} i^2 = \frac{\pi}{2\sqrt{2}} \in \mathbb{R}^+ \end{aligned}$$

**Citation de M. Cibils:**

*"Une séance d'exercices sans étudiants c'est comme un réveillon sans champagne ! Mais attention, j'ai pas dit qu'il y aurait du champagne pendant la série."*

**Exemple 2:** Calculer

$$I = \int_{-\infty}^{+\infty} \frac{\cos(5x)}{x^2 + 1} dx$$

On se ramène à la forme adéquate avec la formule d'Euler :  $e^{i5x} = \cos(5x) + i \sin(5x)$

On peut écrire :

$$\int_{-\infty}^{+\infty} \frac{\cos(5x)}{x^2 + 1} dx = \text{Re} \left[ \int_{-\infty}^{+\infty} \frac{e^{i5x}}{x^2 + 1} dx \right]$$

On considère

$$\int_{-\infty}^{+\infty} f(x)e^{i\alpha x} dx$$

Avec  $\alpha = 5$  et  $f(x) = \frac{1}{x^2+1}$ . On a donc  $p(x) = 1$  et  $q(x) = x^2 + 1$  donc  $\deg(q) - \deg(p) = 2$  et  $q(x) \neq 0 \forall x \in \mathbb{R}$

$$g(x) = f(z)e^{i5z} = \frac{e^{i5z}}{z^2 + 1}$$

On veut  $z^2 + 1 = 0 \implies z^2 = -1 \implies z_1 = i$  ou  $z_2 = -i$   
Le seul pôle que l'on considère est  $z_1$  qui est un pôle d'ordre 1 (demi-plan supérieur).

$$\begin{aligned} \text{Rés}_{z_1}(g) &= \lim_{z \rightarrow z_1} g(z) = \lim_{z \rightarrow i} (z - i) \frac{e^{i5z}}{(z - i)(z + i)} \\ &= \frac{e^{i5z}}{2i} = \frac{e^{-5}}{2i} \end{aligned}$$

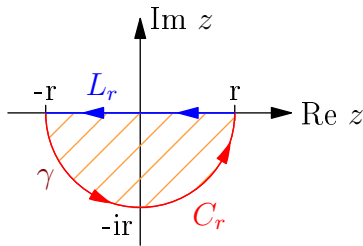
Alors

$$\begin{aligned} I &= \text{Re} \left[ \int_{-\infty}^{+\infty} \frac{e^{i5z}}{z^2 + 1} dz \right] = \text{Re} \left[ 2\pi i \sum_{k=1}^m \text{Rés}_{z_k}(g) \right] \\ &= \text{Re} \left( 2\pi i \frac{e^{-5}}{2i} \right) = \frac{\pi}{e^5} \end{aligned}$$

Donc

$$\int_{-\infty}^{+\infty} \frac{\cos(5x)}{x^2 + 1} dx = \frac{\pi}{e^5}$$

**Remarque :** Pour des intégrales généralisées  $\int_{-\infty}^{+\infty} f(z)e^{i\alpha z} dz$  avec  $\alpha \leq 0$ , on applique la même méthode en choisissant le demi-cercle  $C_r$  situé dans la partie **inférieure** et en considérant les singularités de  $f$  dans le **demi-plan** inférieur.



**Attention** aux signes venant de l'orientation positive du parcours de  $\gamma_r = L_r \cup C_r$

**Esquisse de preuve**

$$\lim_{r \rightarrow +\infty} \int_{C_r} f(z)e^{i\alpha z} dz \stackrel{z=in}{=} \int_{-\infty}^{+\infty} f(i^n) du \text{ Cours}$$

En posant :  $C_r = \gamma(u)$

## Annexe A

# Formules utiles :

### A.1 Séries de Taylor :

*Toutes les séries suivantes sont évaluées autour de  $x = 0$ .*

#### Exponentielle

$$e^x = \sum_{n=0}^{\infty} \frac{x^n}{n!}$$

#### Logarithme

$$\ln(1+x) = \sum_{n=0}^{\infty} \frac{(-1)^{n+1}}{n} x^n$$

#### Somme d'une série géométrique

$$\frac{1}{1-x} = \sum_{n=0}^{\infty} x^n$$

#### Fonctions trigonométriques

$$\textbf{sinus} \quad \sin x = \sum_{n=0}^{\infty} \frac{(-1)^n}{(2n+1)!} x^{2n+1}$$

$$\textbf{cosinus} \quad \cos x = \sum_{n=0}^{\infty} \frac{(-1)^n}{(2n)!} x^{2n}$$

## A.2 Identités Trigonométriques :

$$\cos^2 x + \sin^2 x = 1$$

$$\sin(2x) = 2 \sin x \cos x$$

$$\cos(2x) = \cos^2 x - \sin^2 x$$

$$\cos^2 x = \frac{1}{2} (1 + \cos(2x))$$

$$\sin^2 x = \frac{1}{2} (1 - \cos(2x))$$

$$\cos x + 1 = 2 \cos^2 \left( \frac{x}{2} \right)$$

$$\cosh^2 x - \sinh^2 x = 1$$